

創立20周年記念

第42回講演会

講演予稿集

昭和42年10月29～11月1日

於 大阪市立大学 工学部

日本地球電気磁気学会

目 次

第 1 日 10 月 29 日 (日)

磁 気 圈 (9.00~12.00) 於 大講義室

1. 岩井 章, 大津仁助, 早川正士 (名大空電研) 磁気擾乱時のホイッスラ伝播特性 (10分).....1
2. 山下享子 (名大空電研) 層状化異方性電離層模型による ELF 帯電磁波の遠距離伝搬特性 (15分).....1
3. 林 幹治, 国分 征, 小口 高 (東大理) 極地 VLF 放射 (Chorus) の特性 (15分).....2
4. 柳原一夫 (地磁気観) ELF のバースト状出現 (15分).....3
5. 木村磐根, 北一麻呂, 間宮 錦 (京大工) 仲野 薫 (京大理) 低緯度における VLF エミッションについて (15分).....4
6. 荒木 徹, 来山征士 (京大工電離層) VLF モード伝播に及ぼすイオンの効果 (10分).....5
7. 永田 武, 飯島 健 (東大理) 極めて静かな時の極磁場変動 (10分).....6
8. 飯島 健 (東大理) IQSY 極磁気擾乱 (15分).....7
9. 加藤愛雄, 森 洋介 (東北大理) Equatorial Jet Curret 近傍における日変化磁場に対する日食効果 (1966. Nov. 12.) についての解析 (15分).....8

磁 気 圈 (13.00~18.00) 於 大講義室

10. 渡辺富也 (Univ. B. C.) 北村泰一 (同志社大工) HM Modulation on VLF Emissions (15分)… 10
11. 北村泰一 (同志社大工) HM Ducts (Magnetosphere) は必要か (Pc 1 Waves の Ray Paths) (15分)… 11
12. 北村泰一 (同志社大工) Pc 1 Waves (Pearl) の周波数時間特性は何故 Discrete (Dots) か (10分)… 12
13. 北村泰一 (同志社大工) Pc 1 Waves (Pearl) の周波数時間特性の “Dots” の微細構造 (10分)… 13
14. 佐藤哲也 (京大理) プラズマ中における Brillouin 散乱：I 理論 (20分)… 14
15. 佐藤哲也 (京大理) プラズマ中における Brillouin 散乱：II 電離層への応用 (20分)… 15
16. 佐藤哲也 (京大理), 津田孝夫 (京大工) Structure of Plasma Turbulence due to Nonlinear Cross-Field Instability (20分)… 16
17. 加藤愛雄, 渋谷仙吉 (東北大理) Magnetic Tail における Magnetic Field Annihilation による加速 (20分)… 17
18. 玉尾 孝 (東大宇宙研) 非線形電磁流体波に伴う VLF Emission (10分)… 18
19. 佐藤佳郎 (東北大理) 磁気音波の不安定条件 (15分)… 19
20. 大家 寛 (京大工) 磁気圏域プラズマ中の不安定現象 [II] ——非一様プラズマ中の電気的プラズマ波 (15分)… 22
21. 武井恵雄 (東北大理) 磁気圏プラズマ中のドリフト共鳴過程 (15分)… 23

22. 加藤愛雄, 田中 穂 (東北大理) 磁気圏のドリフト不安定について [I]	(15分)… 24
23. 田中 穂 (東北大理) 磁気圏のドリフト不安定について [II] —拡散の問題	(15分)… 25
24. 武貞良人 (京都教育大) プラズマの不連続面での温度変化	(7分)… 26
25. 西田篤弘 (東大宇宙研) 磁気圏の電場	(15分)… 27
26. 村山 喬 (名大理), 小口 高 (東大理) Magnetotail 中の Electron Islands と地磁気 Pulsation との関連	(10分)… 28
27. 小口 高 (東大理), 村山 喬 (名大理) Island と磁気擾乱—[II]	(10分)… 29

第 2 日 10 月 30 日 (月)

磁 気 圈 (9.00~12.00) 於 大講義室

28. 恩藤忠典 (電波研), 佐野幸三 (地磁気観) 長周期地磁気脈動と降下荷電粒子	(15分)… 29
29. 岩崎 昇, 飯島 健 (東大理) 極地域における地磁気変動 [III] —短周期変動の解析	(15分)… 30
30. 国分 征, 小口 高 (東大理) 昭和基地における Pc 1 の解析	(15分)… 30
31. 斎藤尚生 (東北大理) 最近35年間における Solar M-Disturbance の性質	(15分)… 31
32. 佐野幸三 (地磁気観), 恩藤忠典 (電波研) 小規模地磁気 (DP), 電離層 ($f_{min} \cdot f_o E_s$) 摶乱の解析	(15分)… 32
33. 福西 浩, 国分 征, 小口 高 (東大理) 低緯度地磁気脈動の伝播特性	(10分)… 33
34. 斎藤尚生 (東北大理), W. H. CAMPBELL (ITSA, ESSA, USA) Pc 1 から Pc 5 に亘る地磁気脈動総合動スペクトラム	(15分)… 34
35. 斎藤尚生 (東北大理) Digital Dynamic Spectrum と地磁気脈動の微細構造	(10分)… 34
36. 大林辰蔵 (東大宇宙研) 科学衛星 REXS 計画	(10分)… 35
37. 宮崎友喜雄, 竹内 一, 今井 喬 (理研) 放射線帯下部の電子のエネルギー スペクトル	(15分)… 36

電 縮 圈 (13.00~18.00) 於 大講義室

38. 岩坂泰信 (東大理) 5577Åの強度変化と超高層の温度変化	(10分)… 37
39. 古畠正秋, 中村 強 (東京天文台), W. STEIGER (Hawaii Univ.) [OI] 5577A 輝線および 5300Å 連続スペクトルのロケット観測	(10分)… 37
40. 平尾邦雄 (東大宇宙研) 静穏時 F ₂ 層の形について	(15分)… 38
41. 米沢利之 (電波研) E 領域内における有効再結合係数の一考察	(15分)… 39
42. 広野求和 (電波研) 上層大気中の N ₂ First Positive Band によるレーザ光共鳴散乱の考察	(15分)… 40
43. 等松隆夫 (東大理) 昼間大気光源および地球コロナ放射光源としての太陽 EUV 放射の性質	(10分)… 41
44. 川喜多光子, 金田栄祐 (東大理) 1966年昭和基地における極光活動 [II] — H α 線の出現に関して	(15分)… 42
45. 安井 豊 (地磁気観) 松代群発地震に伴った発光現象について	(20分)… 43
46. 田尾一彦, 山岡 誠, 渡辺昭二 (電波研) VHF 帯電波の赤道横断伝搬と電離層・地磁気との関連性	(20分)… 44

47. 橋詰庄一郎, 徳田八郎衛(防衛庁技研) Back Scatter による電離層の観測〔I〕 (10分)… 44
 48. 前田 坦, 前川紘一郎(京大理) 極地電離層電流に対する数値実験〔I〕 (10分)… 45
 49. 前田 坦(京大理), 村田宏雄(岐大工) 電離層非周期風による電流系〔I〕 (20分)… 46
 50. 松浦延夫(電波研) 電離層におけるプラズマ拡散と上層大気の運動 (15分)… 47
 51. 上山 弘(東北大理), 磯 彰夫(通研) 外部電磁場による電子温度の変化について (15分)… 48
 52. 前田 坦, 鈴木 亮(京大理) 赤道地方のジェッ電流構造について (15分)… 49
 53. 鈴木 亮, 前田 坦(京大理) 地磁気日変化の一解析法とその結果について〔II〕 (10分)… 50
 54. 加藤愛雄, 田村和士(東北大理) Pc 1 Micropulsation の高緯度地方から低緯度
地方への伝播 (10分)… 51
 55. 太田恆次郎(京大教養) 地磁気 Sq の地域的差異 (10分)… 52
 56. 安原通博(京大理) 地磁気日変化磁場の解析 (10分)… 52
 57. 永井正男(地磁気観) 中・低緯度における DS の変動 (15分)… 53

第 3 日 10 月 31 日(火)

電離圏(9.00~12.00) 於 大講義室

58. 竹屋芳夫, 村川享男, 奥本隆昭, 堤 四郎, 福原敏行(大阪市大工), 松本治弥
(神大工) 人工電子雲法による風の観測 (15分)… 54
 59. 松本治弥(神大工) 電子雲のレーダ断面積 (10分)… 55
 60. 加藤愛雄, 青山 巍, 遠山文雄(東北大理) K-9M-18号機による磁場測定結果
およびGAシミュレーターについて (15分)… 56
 61. 宮崎 茂, 森 弘隆(電波研) 電離層観測プローブ〔II〕 (15分)… 57
 62. 土手敏彦(理研) R F プローブによるプラズマ空間電位の測定法 (20分)… 58
 63. 江尻全機(東大宇宙研), 大家 寛(京大工), 大林辰藏(東大宇宙研) ロケット観
測による電子密度測定の諸問題 (10分)… 59
 64. 大家 寛(京大工) ジャイロプラズマプローブによる電離層微細構造の解明〔II〕
—飛翔体による航跡効果について (15分)… 60
 65. 畠野信義, 相京和弘(電波研) 周期的静電磁界による質量分析器 (20分)… 61
 66. 松本治弥, 山口幸郎(神大工) ロケット塔載用低エネルギー電子スペクトル
観測装置 (10分)… 62
 67. 竹之下裕五郎, 木所常一(電波研) 低緯度における短波受信強度測定によるPCA
の検出 (10分)… 63
 68. 小川 徹(京大工) 電離層における再結合係数の測定 (10分)… 64

地球内部・磁気測量(9.00~12.00) 於 会議室

95. 水野浩雄(国土地理院) 新潟地震に伴う地磁気変化の可能性について〔III〕 (10分)… 92
 96. 今 実, 大和田真一(地磁気観) 松代地域における地磁気観測 (15分)… 92
 97. 小松 祐, 来栖喜久男, 永野哲郎(地磁気観) 桜島火山活動と地磁気変化 (15分)… 93
 98. 藤田尚美(国土地理院) 近畿地方南部における航空磁気測量 (10分)… 94
 99. 藤田尚美(国土地理院) 日本における磁気異常分布について (15分)… 95
 100. 笹井洋一(東大震研) 伊豆大島における地磁気短周期変化の異常〔IV〕 (5分)… 96

101. 笹井洋一（東大震研） 紀伊半島における地磁気短周期変化の異常〔I〕 (10分)… 97
 102. 荒木 健（地磁気観） 地磁気3成分の地点差について (10分)… 97
 103. 沢田宗久（東大震研） Dst場の地域差に関する解析〔III〕 (10分)… 98
 104. 行武 肇（東大震研） 地球磁場非双極子部分の永年変化 (20分)… 99
 105. 力武常次，萩原幸男（東大震研） 非定常 Bullard-Gellman ダイナモモデル〔I〕 (15分)… 100

第4日 11月1日(水)

中間圈・宇宙圈(9.00~12.00) 於 大講義室

69. 仲井猛敏，沢瀉 清，山口 隆（名大空電研） P H Aによる空電雑音振幅確率分布の測定 (15分)… 65
 70. 仲井猛敏，山口 隆，沢瀉 清（名大空電研）近距離空電の統計的性質について〔I〕 (15分)… 66
 71. 川野 実，池辺幸正，中島敬行，下道 国，鈴木茂彦（名大工），倉田昭三（鈴鹿工専） 自然環境における放射線々量の測定〔III〕——地表面付近における β 線によるイオン対生成率の測定 (10分)… 67
 72. 岩田 晃，石川晴治（名大空電研） 空電パルスの極性とその発生源としての雷放電の性質 (15分)… 68
 73. 石巒 剛（電波研） 高層大気中の内部重力波と乱流発生について (15分)… 69
 74. 藤原玄夫，前田 坦（京大理） 電離層における太陰大気潮汐振動の減衰 (20分)… 69
 75. 村田宏雄（岐阜大工） 大気振動の減衰〔III〕 (15分)… 70
 76. 高木 亨，堤 捨男（京都工織大工芸） 赤外領域における雲の空間分布の数学的モデル (15分)… 71
 77. 高木 亨，堤 捨男，松井松長（京都工織大工芸） 赤外分光測光における散乱太陽光の影響 (10分)… 74
 78. 中段和宏，鷹尾和昭（京大工） Explorer-30で観測された地球近傍の β 線源について (10分)… 75
 79. 前田力雄，荒木一則（電波研） エクスプローラ30号の1~8Å電離箱のレスポンス異常 (10分)… 75

宇宙圈(13.00~17.00) 於 大講義室

80. 鷹尾和昭（京大工） 1966年中のX線観測より見た太陽異常現象について (10分)… 76
 81. 桜井邦朋（京大工） 太陽電波バーストの特性からみた太陽フレアの発達と構造 (10分)… 77
 82. 郷 鉄夫（ミシガン大マクマス・ハルバート天文台） 回帰性磁気あらしに関連する太陽プラズマ流速度の確率過程論的経度分布モデル (20分)… 78
 83. 桜井邦朋（京大工） S I Dのタイプと太陽フレアの構造 (10分)… 80
 84. 早川幸男（名大理），西村浩之（新潟大理） 月面類似物質のルミネッセンス (15分)… 81
 85. 村上一昭，宮川忠良，宮崎忠国，浮ヶ谷文雄，宮崎友喜雄（理研），三島靖（愛媛大） 武山における地下宇宙線観測 (15分)… 82
 86. 高橋八郎（岩手大教育），矢作直弘（岩手大教養） 太陽自転周期の間の宇宙線 Rigidity Spectrum (15分)… 83

87. 石田喜雄, 菅野常吉 (福島大教育) 加藤静子 (福島医大物理) IGY-IQSY における宇宙線日変化の変動について〔II〕 (15分)… 84
88. 桜井邦朋, 小川忠彦 (京大工) ジャイロ, シンクロトロン放射特性〔I〕——加速電子の放射電力及び偏波両特性 (20分)… 85
89. 小川忠彦, 桜井邦朋 (京大工) ジャイロシンクロトロン放射特性〔II〕——太陽フレア領域及びコロナ中のプラズマの電波バースト放射に対する影響 (20分)… 86
90. 近藤一郎, 藤本和彦, 長島一男 (名大理) 太陽宇宙線の惑星間空間での Anisotropic diffusion 〔II〕 (10分)… 87
91. 関戸弥太郎, 長島一男, 近藤一郎, 村山喬, 奥田治之, 榊原志津子, 藤本和彦 (名大理) 高エネルギー宇宙線の恒星時非等方性 (10分)… 88
92. 奥谷晶子, 和田雅美 (理研宇宙線) Sunspot Minimum 附近の宇宙線日変化 (10分)… 89
93. 長島一男, 上野裕幸, 藤本和彦, 藤井善次郎 (名大理), 一の瀬匡興 (信大教), 近藤一郎 (名大理) 乗鞍に於ける高精度宇宙線中間子計の設計 (10分)… 90
94. 北村正並, 太田垣三和子 (気象研) 宇宙線日変化の緯度効果〔II〕 (15分)… 91

古地磁気・岩石磁気 (9.00~17.00) 於 会議室

106. 前中一晃, 笹嶋貞雄 (京大理) 近畿の鮮新・更新統の火山灰層の古地磁気 (10分)… 101
107. 百瀬寛一 (信大理) 信州ローム層パミス中の強磁性鉱物の磁性予報 (15分)… 102
108. 西田潤一, 増田康之, 笹嶋貞雄 (京大理) 京都府北部峰山の Boring Core の残留磁気について (10分)… 103
109. 浅海英三, 岸武保, 黒谷明嗣 (島根大文理) 島根県大山附近及び島根県浜田市附近の古地磁気 (5分)… 103
110. 村田宣雄 (長野高) 長野・群馬県境に分布する火山岩の磁気 (10分)… 103
111. 小嶋稔, 河野長, 兼岡一郎, 小林和男, 木下肇, 大中康誉, 永田武 (東大理), 倉沢一 (地質調), 荒牧重雄 (東大震研) Paleomagnetism and K-Ar Ages of Successive Lava Flows (15分)… 104
112. 兼岡一郎, 小嶋稔, 小嶋美都子, 鮎川勝, 国分征, 永田武 (東大理) 南極昭和基地附近の K-Ar 年代と古地磁気 (15分)… 104
113. 小林和男 (東大洋研), 河野長 (東大理) 深海底堆積物の残留磁化 (10分)… 105
114. 河野長 (東大理) 北九州玄武岩による古地磁場強度 (15分)… 106
115. 木下肇 (東大理) 深海底泥層の磁性 (10分)… 107
116. 小嶋稔, 上田望, 鮎川勝 (東大理), 田溶元 (東大工) 朝鮮半島の Geochronology 〔II〕 (10分)… 107
117. 上野直子, 小嶋稔, 久野久 (東大理) 阿武隈地方花崗岩・変成岩の Geochronology II (10分)… 108
118. 北沢一宏, 福田豪太郎 (学習院大理) 繩文土器による過去の地球磁場強度の推定 (10分)… 109
119. P.J. WASILEWSKI, A. J. NALWALK, B. J. CARLETON (Dept. Earth, Planet. Sci., Univ. Pitts.) A Study on the Magnetization of the Oceanic Crust : [I]-Puerto Rico Trench Basalts and Samples from the Mid Atlantic Ridge and Caryn Seamount (10分)… 110
120. P. J. WASILEWSKI, B. J. CARLETON (Dept. Earth, Planet. Sct., Univ. Pitts.) An Explanation for the Anomalous J_s-T Curves from Fresh Oceanic Basalts (10分)… 111

121. T. NAGATA, B. J. CARLETON (Dept. Earth, Planet. Sci., Univ. Pitts.)
Piezo-remanent Magnetization of Basalts (10分)…112
122. 大中康裕, 木下 肇, 永田 武(東大理) 溶岩の磁化の圧力依存性 (10分)…113
123. 小嶋美都子(東大理) 海山の玄武岩の磁気的性質について—熱残留磁気の反転現象 (10分)…114
124. 木下 肇(東大理) 静水圧下の磁性 (10分)…115
125. 野村 哲(群馬大教養) 群馬県本宿層の地質構造と岩石磁気 (15分)…116
126. 上野宏共, 根建心具(東北大理) 岩石磁気の鉱床学への応用〔Ⅲ〕—沼尻硫黄鉱床周辺の変質 (15分)…117
127. 島田昌彦, 久米昭一(阪大教養), 小泉光恵(阪大産研) 高圧力消磁の岩石磁気への応用 (20分)…118

1

磁気擾乱時のホイッスラ伝播特性

岩井 章 大津仁助 早川正士

名古屋大学 空電研究所

磁気的に静穏時と擾乱時とでは、ホイッスラの発生頻度や、その分散値にはかなりの差が現われる。つまり低緯度では擾乱時になると、ホイッスラ発生頻度は増加し、高緯度ではその逆である。又分散は中・低緯度では減少する。これは超高层の物理状態に変化が起きたためであると考えられる。ところで最近 Meldrew⁽¹⁾ は Alouette 衛星によって磁気圏には地球磁場にそって irregularity が存在することを発見し、又その field-aligned irregularity が磁気活動と密接な関係があると述べた。つまり K-指數とともにその位置が移動する。従つてこれを超高层の物理状態の変化の主原因と予想し、これがホイッスラの伝播特性に影響を及ぼすものと考えられる。そこでこのような field-aligned duct のホイッスラ伝播に及ぼす影響について考察する。特にダクトによるホイッスラモードの捕捉に重点をおいて考察する。

2

層状化異方性電離層模型による ELF 帯電磁波 の遠距離伝搬特性

山下 寛子
名古屋大学 空電研究所

ELF 帯(195 から 3kHz まで)空電は、波長が極めて長いため、電離層下端で反射するだけではなく一部は更に侵入して再びある高さで反射すると考えられる。換言すれば ELF 帯に比べて反射点が高くなるから、地球磁場の影響を導入した方が望ましいのは当然である。そこで電離層を二層化して、下層は屈折率の表式で電子の衝突回数のみを考慮する。上層には一様な強さをもつ動磁方向の地球磁場を重畠させ、電子のギヤイロ周波数の項のみを考慮した。まず、ELF 帯での遠距離伝搬における波の減衰係数を求めるために固有値を求めた。そのあと伝搬、減衰係数を求める、更に太陽フレマー中の ELF 帯の SEA 現象に対しては電離層のパラメータを種々の値にとった時、一定距離の空電源から A とした場合の SEA 周波数スペクトルがどの様に変化するかを計算し、簡単に実験結果と比較して、電離層の下層の厚さが割合重要な役割を演じていることを示した。

3 極地 VLF 放射 (Chorus) の特性

林 幹治・国分 征・小口 高
東大 理

昭和基地での 1966 年 4 月～12 月迄のデータによる VLF 関係 (Chorus) の基本的な解説結果と 2, 3 の顕著な事実につけて述べる。

- (1) 昭和基地で観測される Chorus の大部分はいわゆる Polar Chorus と呼ばれるもので、Kiss type であるが、Magnetic Bay の終り頃に現われる Auroral chorus と呼ばれるものもしばしば観測される。
- (2) 現象の発生時間は 1 ヶ月の平均で 13:00~14:00 LMT となる。Polar Chorus の発生時間の平均値としては妥当なものである。月平均の値の季節変化はあるようであるが、1 年目の観測では即断すべきではなかろう。現象の発生率は秋から冬にかけて少なりようである。
- (3) 他の現象との関連は、 ΣK_p との相関がかなり良いことは従来言られて来た事実 (Local ΣK_p との相関が負などと云う) と反する様であるが Solar activity が果すことは、 ΣK_p を使ったことなど条件が違うので一概に評価は下せない。
次に発現現象するうち S_c, S_i などとの関連は positive S_c, S_i のときは Chorus がもじ出でていればその peak frequency が higher frequency に移り intensity も増加すること、negative S_i (1311) のときは peak intensity frequency が lower frequency に移り intensity も減少するといふ興味深い事実が見付かった。これは emission の mechanism を考える際に重要なことがある。

その他現在解析中のいくつかの事を発表する。

ELF のバースト状出現

柳原一夫
地磁気観測所

1. Schumann resonance ELF の波形（振幅）記録は連続した波の形を示すが本質的なものはバースト状の出現である。ソナグラムの上でみると 8, 14 …… cps という所に明らかに Schumann resonance を示すが、各バーストは散在する点々となつて現られる。この点であらわされる周波数は短時間内（例えば 10 秒）でも決して一定でなく土 2 cps 位の間に分布する。ある時間間隔で積分したパワーではこの分布が Q の値をきめる。この周波数のバラツキは偶然の擾動によるものとしこは大きすぎ、又 cavity の特性の変化によるとして余りにも短時間に変りすぎる。原因のあここの場所の違いによるとするより平均周波数の日変化が同じ程度にあつてもよい筈であるが、それは土 0.2 cps にすぎない（Madden & Thompson）。従つここれは原因となる雷放電の特性の違いによると考えねばならない。

均一電離層下の cavity 内の周波数レスポンスは

$$E(i\omega) = A \{ i\omega + \alpha(i\omega)^{1/2} \} (i\omega) \sum_{n=0}^{\infty} P_n(\cos \theta) (2n+1) / \{ \omega_n^2 - \omega^2 + \alpha(i\omega)^{3/2} \}$$

とあらわされる（Wait 他）がこれによれば resonance 周波数を実測に一致させると Q は実測の半分位となる。Galejs は伝導度が exponential に増大する電離層を仮定して実測の resonance 周波数と Q との両方を満足させる式を導いた。いずれにしても resonance 周波数の近傍では Q を与えればレスポンス函数は

$$A(\omega) \propto 1 / \{ 1 + 4Q^2(1 - \omega/\omega_0)^2 \}$$

で近似できる。これに励振函数 $x(t)$ がかかると実測される周波数レスポンスがえられるが peak 周波数が 8 cps に対し ± 2 cps も変化する時は $x(t)$ に原因があると考えられる。Median lightning flash の $x(t)$ の周波数スペクトラムと $\beta(i\omega) = 1.69 \times \exp(-9.1 \times 10^{-3} \omega)$ が与えられ（Galejs），これを用いて積分パワーのスペクトラムが求まるが個々のバーストに対する $x(t)$ のスペクトラムが大いに違う。

雷放電は单一ばかりではなく 100 msec の程度で繰り返す多重放電となることが多い。そのため励振函数 $x(t)$ の周波数スペクトラムは Schumann resonance の周波数近傍で max. をもち、その位置次第で個々のバーストの peak 周波数が変つてくる。今簡単な個々の放電の励振が $\exp(-\beta t)$ であると t の間隔で 2 回あつたとすると総合レスポンスは

$$B(\omega) \propto (1 + \cos \omega t_1) / (\beta^2 + \omega^2) [\{ 1 + \frac{1}{4Q^2} - (\frac{\omega}{\omega_0})^2 \}^2 + \frac{1}{Q^2} (\frac{\omega}{\omega_0})^2]$$

で与えられる。 $\beta \gg \omega_0$, $Q = 4$ とすると $B(\omega)$ の実効的 max. は $t_1 = 0 \sim 4\pi/\omega_0$ の間に $\omega/\omega_0 = 0.8 \sim 1.2$ の間に分布する。従つ ± 2 cps の変化は多重放電によつて引き起こすことができる。なお Schumann resonance は多重放電の繰り返し周期が resonance 周波数の逆数に大体一致するときあるともいえる。

2. Schumann resonance のオーモード周波数以下の ELF

この周波数領域にもバースト状の ELF が決山あり、女満別と柿岡で約半数が同時に出現している。従つ単なる雑音ではないが、騒動、Kインデックス等ルート直接関連がない原因について検討中である。

5 低緯度における V.L.F エミッショ n について.

木村磐根・北一麻呂・間宮馨・仲野賛
京大(工) 京大(理)

観測： 1967年4月24日～5月8日

P090-C (高度 1200 km ~ 1500 km, 極軌道)

観測範囲 地磁気緯度 $\sim 0^\circ \leftrightarrow \sim 50^\circ$

この期間中 15回の観測で 11回まで VLF エミッショ n が観測された。

特性： エミッショ n はヒス性で周波数は 1 kc ~ 2 kc, 約んど緯度変化していな
い。あらわれはじめる緯度は多くの場合地磁気緯度 $40^\circ \sim 50^\circ$ であるが。
5月4日は 40° からあらわれている。この日は高緯度ではコラス性の
エミッショ n を起つていい。

この低緯度での VLF エミッショ n について、周波数の緯度変化がないことから、衛星
近くで発生しているとは考えられない。従って発生源は磁気圏の比較的限られた所に
あつて、それが低緯度を含む広範囲の緯度の衛星の高さまで伝播してきたものと考えられる。

この期間中のショート・ホイツラーの分散を調べると、低緯度までエミッショ n が
観測されたときは、赤道近くでも $D \approx 50 \sim 70$ である。これは磁力線に沿つた伝播を考
えると、ほぼ地磁気緯度 40° の経路である。従つてこれらのホイツラーはこの経路の
途中で Q-T モード伝播に變つたと考えると説明できる。

Thorne-Kennel (1967) によれば、磁気圏内で赤道面上に電波源がある場合、初期の
伝播ベクトルのとり方によつては ray path は低緯度側へ入り得ることが示されていい
が、計算の結果、これだけでは地上 1000 km 程度で観測にかかる程低緯度までは入つ
てこられないことが明らかになつた。

従つて結論的には、これらのエミッショ n、分散の大きなホイツラーは Q-L モード
伝播の途中、適当な所から Q-T モード伝播で低緯度にまで伝播していいと考えられる。

尚、この期間の太陽活動は、29日から3日までやや活発で1日には Sc を伴う磁気嵐が
起つていい。この期間だけでは観測されたエミッショ n と活動度との関係ははつきりしな
い。また、4日に低緯度までエミッショ n が観測されたことと磁気嵐との関係につりても、
磁気圏や電離層上部の乱れが Q-T モードへの変換を容易にしていいことが考えられる
けれども、これらは今後の問題である。

VLF モード伝播に及ぼすイオンの効果

荒木 徹, 木山 征士
(京大工)

地球電離層間導波管を伝わる VLF 電波は、東から西へよりも西から東へ伝わりやすいうべき性質をもつてゐる (Grombie 1958)。

Barber and Grombie (1959) は、水平磁場をもつ電離層に、磁場に直角に電波が入射する場合の反射係数が、磁場の向きによつて変るとして Magnetoionic theory を使って証明し、これで上記東西伝播の差異を説明しようとした。

僕等は ion は静止してゐるとしたが、アースマント中の磁場に直角で伝播に対しては lower hybrid resonance によるエネルギー吸収という形で ion の効果が表わされることが予想される。VLF 電波が反射せらる下部電離層では、衝突が lower hybrid resonance をつかずむきに働くが、衝突回数の直比によって ion の効果がどのように変るかを調べるために有意義だと思われる所以ミニでその計算を行ふ。

7 極めて静かな時の極磁場変動

永田 武 飯島 健
東京大学 理学部

永田一国分、永田一国分-飯島は極地方の地球磁場変化は S_g^D 場の上に D_p 場が重なって居り、その D_p 場は極域全体に拡る SP 場と極光帯嵐場即ち AEJ 場とより成立していることを示した。すなわち

$$(D_p) = (SP) + (AEJ)$$

きわめて静かな時の極地方には AEJ はないので SP 場だけが残り、これがいわゆる S_g^D 場である。すなわち

$$(SP)_0 = S_g^D$$

以上の結論は主として IGY 期間の観測材料についての解析から導き出された。SP 場の全電流量と K_p との間に美しい直線関係があつて、全電流 I は

$$I = (5 \times 10^4) + (9 \times 10^4) K_p \text{ アンペア}$$

という実験式で表現出来た。従って $K_p = 0$ の時も 5×10^4 アンペアの SP 場が残存する。SP 場の発生機構は磁気圏内のプラズマ対流によると考えると半定量的に説明することが出来る。この際重要な点は $K_p = 0$ の時も SP 場が存在することである。静かな太陽風の時も SP 場が存在するという理由で、我々は AXFORD - HINES 流の磁気圏対流模型が好らしいと考えていた。

IGY 期間の静かな時では、 $K_p = 1.1$ であつて、絶対に静かな時はなかった。IQSY 期間は静かな時があるので、IQSY 期間の最も静かな時を選んで DP 場を詳しく調べた。静かな日の平均 DP 場と、特別に静かな個々の日の DP 場と両方の場合を調べた。平均の場合は $K_p = 0.23$ であり、個々の場合では $K_p = 0$ 又は $K_p = 0_+$ 等の場合を調べた。その結果、 $K_p < 1$ では SP 場が急激に減少し

$$\lim_{K_p \rightarrow 0} (SP) = 0$$

であることが判った。但しほんの僅かでも地磁気活動が起るとたちまち極地方には SP 場が現れる。以上の結果から、SP 場は DUNGEY 流の模型に従つて、太陽風内の磁場と地球磁場とが結合する時に生じる磁気圏プラズマ対流によつて起されると考える方が至当であると考えるに至つた。この結論は、CAHILL - FAIRFIELD 及び FAIRFIELD による太陽風磁場と K_p との関係の調査結果によつても支持される。

飯島 健

東京大学理学部地球物理研究施設

I Q S Y (1964) 中で A E T 場かほとんど発見されない極静穏時にありて S_p^p , S_p^d 場の存在性, 孤立性を調べ、又, event 特性—静穏時に孤立して発生する polar elementary storm の微細構造を追求した結果 次の結論を得た。

[I] 極静穏時 ($\Sigma k_p = 26$, $\bar{k}_p = 0.32$, 5 days) の平均的変動場の特性

- ・ 調査和分析。主成分 vector ($m=1, 2$) は振幅一位相図にありて極地域と中低緯度で特性が全く異る。
- ・ 且変動場に対する極地—1回分の思想と同一の分析方法を用いた結果, $\bar{k}_p = 0.23$ にて半極地域 ($\bar{\theta}_m \geq 60^\circ$) には 3×10^4 amp. の強度を有する S_p^p 場が存在す。
- ・ $k_p = S_p$ 場の強度を比較して $\lim_{k_p \rightarrow 0} (S_p) \approx 0$ と考えらる。

[II] 極静穏時 (1964, Jan. 14^d, $\Sigma k_p = 20$, March 28^d, $\Sigma k_p = 1$) の日平均変動場の特性

- ・ 種々の geomagnetic meridian 位置で位置する観測所群で電流 vector の方向変化より完全には S_p^p 場は構成されていないと考えられる。
- ・ $k_p = 0$ 時では変動の長周期成分 ($T_0 \gtrsim 6$ hours) は ($S_p + S_d^p$) で構成されてる。
- ・ 変動の短周期成分 ($T_0 < 6$ hours) は主として (S_p) で構成されてる。
- ・ 短周期成分の event 的 S_p の長周期成分の S_p に対する elementary S_p を考えらる。

[III] 最擾乱時 (9 events, $\bar{k}_p = 4.6$, $\bar{D}_{\text{lat}} = -14^\circ$) の average D_p 場の解析より D_p 場の構成に対する概念 $D_p = (S_p) + (AE)$ を再確認した。

[IV] 静穏時に孤立して発生する geomagnetic bay。A E T 場 ($T_0 \gtrsim 10$ min) の動スケルトンを矢役対, Thule-Vostok ($\bar{\theta}_m \approx 88^\circ$), Heiss-Mirny ($\bar{\theta}_m \approx 75^\circ$), Reykjavik-Syowa Base ($\bar{\theta}_m \approx 67^\circ$) で比較した結果, A E T 場は 1/4 にては地磁気共役性を制御する時間およそ energy の parameter は 1/4 にて微細構造がかなり異なることが確認された。

9 Equatorial jet Current 近傍に於ける日変化磁場に対する日食効果 (Nov. 12, 1966) についての解説

加藤愛雄、森洋介。

東北大學 理學部、地球物理教室。

1966, Nov. 12, ペルーに於ける皆既日食に際し、磁気赤道附近の Huancayo に於て地磁気日変化の観測を行なつたが、このほかペルー 地球物理研究所と協同して Ancón, Santa Inés, Tellile, Puno, Arequipa の合計 6 個所で同時記録を取り附圖に示す様に Huancayo から Arequipa にかけて次第に半導体性を増大すると言う現象が日食に伴う地磁気の変化が得られた。この変化は勿論日食の部分食帯外の同経度上の他の観測所の記録と併せて明らかに日食効果を示すものである。

附圖の変化は水平分力の変化であるが、偏角の方には変化はほとんど現われて居ない。この事はこの観測所が磁気赤道近くにあり水平成分が卓越して居る事は当然である。従つて、では東西電流 i_y について δi_y , δ_{xx} , δ_{yy} を考慮に入れて日食効果を計算した。

即ち $\int \delta y dh = \int \delta y dh + \frac{[\int \delta y dh]^2}{\int \delta_{xx} dh}$ の値が日食の影響でどうなるかを計算した。

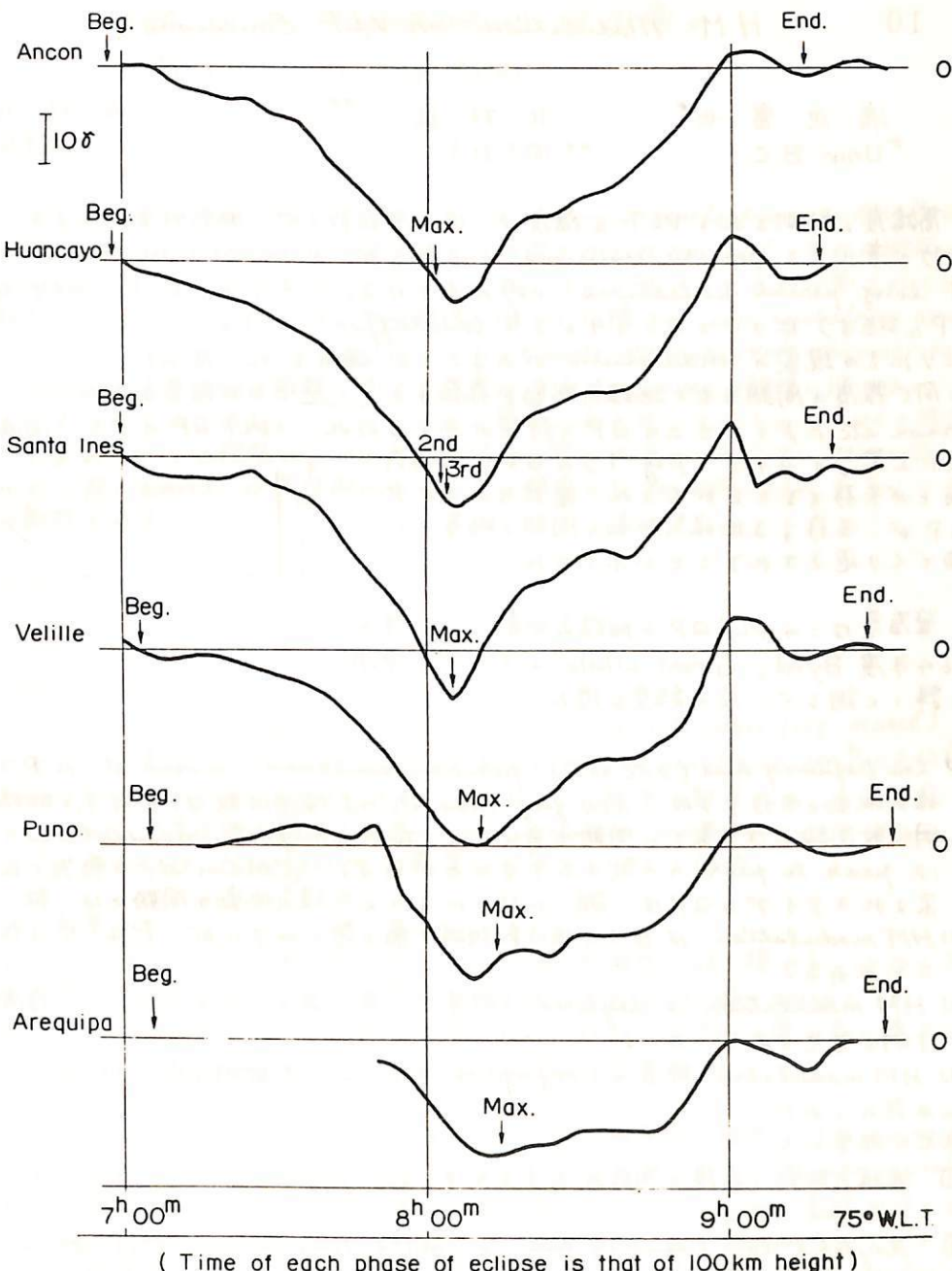
ここで“磁気赤道をはさんで”ある地磁気緯度土工まで、範囲内に流れる全電流 $j = \int i_y dI$ は Conserved されて居り、且つ任意の local time では equator から土工まで範囲内わたる E_y が Constants となる假定を用いて、日食の間の任意の時間に equator 近くの任意の場所に流れる電流の日食による変化量 Δi_y は

$$\Delta i_y = \left\{ 1 - \frac{\sum [\int \delta y dh]_i}{\sum [\int \delta y dh]_i - \Delta \sum [\int \delta y dh]_i} \right\} \times \frac{\int \delta y dh - \Delta \int \delta y dh}{\int \delta y dh} i_y$$

である。

ここで $\sum_i [\int \delta y dh]_i$ は任意の時間に於ける $\int \delta y dh$ と土工の範囲で積分した量で、 $\Delta \sum_i [\int \delta y dh]_i$ はその量の日食による変化量を表す。計算の結果は附圖のとおり計算結果を特徴づけます。

即ち日食化磁場に対する日食の影響は local な Conductivity の変化だけでなく、少くとも日食の度々この範囲に沿つての Conductivity の変化を調べ、と conductivity distribution に従つて電流分布を考慮して日食効果を求めた。



10 HM Modulation on VLF Emissions

渡辺 富也*

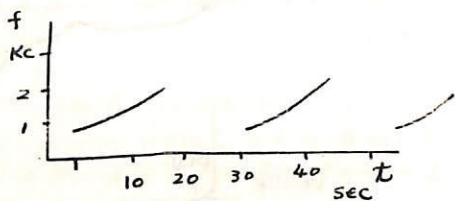
* Univ. B.C.

北林 泰一**

** 同志社大工

高緯度で観測される VLF の強度は、時々周期数十秒の脈動的変化をする。これは周期数秒で変化する periodic emissions と区別され quasi-periodic emissions 又は VLF long period pulsations と呼ばれてる。この quasi-periodic emissions (Q.P. と略す) については、1965年 Gustafsson et al. によると、大体 700cps あたりにこの現象の maximum があることが確かめられ、且つ P.A. の存在するときは、同時に同じ強度の周期をもつ地磁気脈動が存在するらしいことが報告された。同年 1965 年 Carson etc. によると、この Q.P. の研究があなたわれ、VLF AP のうち、周波数が約 100 cps と共に上昇するタイプ (Fig. 1) の Q.P. と地磁気脈動とが共存することが示され、且つそのタイプの Q.P. が、共存する地磁気脈動の周期と略等しい周期でくり返えされることが示された。

筆者等はこの VLF Q.P. と地磁気脈動との関係を、
1964 年度 Byrd, Great Whale のデータを復用し、
より詳しく調べ、次の結果を得た。



- (1) low frequency hiss (2Kc 以下), periodic emissions, chorus etc. or P. 3~5 の地磁気脈動と共存する。low freq. hiss etc の上昇周波数は、共存する地磁気脈動の周波数周期と同じで、周期で変化する (hydromagnetic modulation)。この変化は peak to peak の一致を示すことがある。Carson etc の報告から Fig. 1 で示されるタイプの Q.P. は、調べた限りにおいて地磁気脈動の周期とは一致しなかった。
 - (2) HM modulation は P. 3 の周波数領域で最も起きやすいが、P. 4, 5 の領域で最も起きやすい。
 - (3) HM modulation は daytime の現象で、月に数回の頻度で起きるが、夜間 (midnight) は 1 回も発見されていない。
 - (4) HM modulation 現象の conjugacy は要る。十数例中内 1 例のみ conjugacy が認められた。
- 以上の結果から
- ① 地磁気脈動に直接の関係があるものは、low frequency hiss, periodic emissions, chorus である。
 - ② daytime low frequency hiss と night time auroral hiss (8Kc 以上) とは区別すべきではない。
 - ④ HM modulation は 夜間のある場所は、地表附近つまり電離層はその上部であり、magnetosphere, 深部部ではない。

筆者のことが推察される。筆者の研究は UBC と Stanford 大学との共同研究である。

11

H M ducts (Magnetosphere) は必要か
(Pc 1 Waves o Ray Paths)

北村泰一
同志社大工

Pc 1 class (period 0.2~5 sec) に含まれる pearl micropulsations の周波数時間特性は、一般に rising frequency の線直線として特徴づけられることが多い。それは現在、rising frequency の度合が時間的に一定のものと、さうでないものとに分類されることが多い。この内、後者は、magnetosphere 中の地球磁場に沿って伝播する ion cyclotron waves の dispersion によって説明されてきた。(Jacobs-Watanabe 1964, Obayashi 1965)。以来、Pc 1 領域の地磁気脈動の伝播に関する研究は、すべて waves は磁場に沿うものとの仮定のもとにすこしられてきた。しかしながら厳密にいえば、これらの waves も場合によつては、必ずながらも磁場からはずれて伝播する場合がある。そこで "Magnetosphere 伝播に付し、Pc 1 waves は具体的にどのくらい磁場から deviate するか?" これがこの研究の軸である。

計算の基礎となる諸量。

- (1) Cold Plasma を仮定
- (2) 磁場は dipole field
- (3) Plasma Density Distribution は $N = N_0 B$ (Gyro-freq. model)
をとり、赤道面 5.6 earth radii における plasma density は 100/cm³ を仮定
- (4) Wave frequency ω 0.9 Ω_i , 0.5 Ω_i , 0.1 Ω_i の場合を計算する。但し Ω_i は ray paths が赤道面を横切る地表の ion cyclotron frequency。
- (5) ray trace は Haselgrave の方法 $1/t^2 = -k^2$ を使用。

求められた結果は

- (1) $f = 0.2 \sim 0.3 \Omega_i$ オリ周波数の高い waves は 舟特定の磁力線から かなりずれて伝播し、一般的に 1/2 高緯度側の磁力線にされる。(Polar Creep)
- (2) 赤道面又は南半球の電離帯上部を伝播した waves は、北半球の電離帯に達するが、その wave normal が 90° に達し 伝播などする。

以上の結果のうち、特に(2)は座大である。この(2)の結果と、現実の Pc 1 waves を地上で観測されてくる事実との矛盾は、ray paths の計算における仮定 (plasma density は距離に沿って滑らかに変化する) からきていると考えられる。つまり矛盾をなくすには、magnetosphere の plasma density は 距離に沿って單調に減少するのではなく、whistler 研究から要求される ducts の如きの、つまり field align proton ducts とか、又は plasma fence の如く密度が急激に変化するところの属する $L = 4 \sim 6$ の領域に仮定せねばならない。

12 $Pc\ 1$ Waves (Pearl) の周波数時間特性は 何故 discrete (dots) か

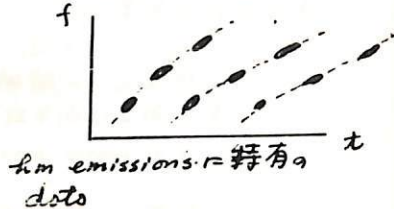
北村泰一
同志社大工

hydromagnetic emissions と呼ばれる $Pc\ 1$ class ($0.2\text{--}5\text{ sec}$) に属する地磁気脈動の振舞は、VLF それと酷似してあまり多くの共通点があることから、両者は鏡の両面の現象と考えられる。fm emissions の周波数時間特性は、一般に rising freq の線通りで waves の dispersion curve は酷似していいが、詳細にみるとそれだけではなく、上下 = 位相又は数値の dots (「ツブツブ」) で形成されており、今迄これらの dots を結んで dispersion curve とみなしてまである。この特長は VLF にはない現象であり、数少ない VLF との相違点の一つと考えられていい。

これらの dots の構造による人工的仮定ではなく、自然現象としていってはあり前から推量されていいが、1966年 Fraser-Smith はこれらの dots は magnetosphere の一種の filter の作用によつて出来たものであるとの説を提唱した。筆者はこの説に疑問を持ち、fm whistler の数例によつて Amplitogram を利用し Fraser-Smith の説を実験的に検討した。結果は

「つくとも抜かれた数例によつて、dispersion curve は一連の dots は互に独立であり、各 dot は同一連の frequency band の一部ではない」。

つまり Fraser-Smith の説、各 dot は magnetosphere の filter 作用によつて出来るものではなく、何れかによって trigger された互に独立なものであると考えられる。しかしながら、では trigger するものは何ものか? 何故 trigger するものが見えないか(観測されないか)? 様々な疑問が浮かぶが、これらは未だ明らかではない。



13

Pc 1 Waves (Pearl) の 周波数時間特性の "dots" の
微細構造

北村泰一
同志社大工

別稿 (Pc 1 waves の 周波数時間特性は何故 discrete か?) に記述し, fm emission
におけるもっとも明るい部分での trigger 現象が見つけられたことから報告する。

fm emissions に特有な dots は一般に「不鮮明」であるが(拡大すると雲の如く
モヤモヤしたもの). この不鮮明さに疑問をもつた筆者は Sonagraph のヒリオモ工夫す
ることにより resolution をあげ、"モヤモヤ"の解離に一部成功した。得られた結果は。

- (1) 1つめの dot は、実はいくつもの dot の集合である(不鮮明さの原因)
- (2) 壁面の dot は互に因果関係がある。(或 dot が dot を trigger する)
- (3) 示された例(周波数が全体と一緒にゆっくり時間と共に下降する)では、trigger
されたものは、trigger したものより若干周波数が低く

以上のことから、示された例は、物理像は。

- (1) 最初 非常に狭い freq. band で fm emission が excite される (D_1)
- (2) D_1 は 3~4 回壁面に沿って bounce する中に消滅するが、2~3 回目で子供 D_2 が生む
- (3) D_2 は energy を供給されながら 3~4 回 bounce し、孫 D_3 を産む消滅。
- (4) 以下同様の現象のうけたてで全体と一緒に時間的現象とつなげられる。
- (5) 新しい trigger された wave は必ず trigger したものより周波数が低く、
これが全体と一緒に周波数が下げる原因である。

以上の話は現象論のみで、其物理的な解析については述べない。

フ^oラズマ中にあける Brillouin 散乱

I. 理 諭

佐藤哲也
(京大・理)

固体物理の分野にあけては 光(電磁波)と acoustic phonon(音波)との相互作用についてのブリュアン散乱が物質を調べる有用な診断法として確立されており また理論的研究もこころでいる。フ^oラズマ物理の分野にあけても フ^oラズマ乱流の診断法として発達することが希望される。電離層フ^oラズマにあけては 現にこの方法が独自に開発されたり 本道地域に現われた irregularities の診断に非常に成功を収めている。¹⁾しかし方の観測結果の解析においては 定量的議論の基礎となるべき理論的開拓ために全く定性的議論にとどまっている。

本報告は フ^oラズマ中にあけるブリュアン散乱についての光と電磁波との波(モード)不安定性による起きた山(イオン音波やドリフト波など)により間の非線形相互作用により起きた combination 散乱波を理論的に取扱うことを目的とする。その詳細は学会で報告することとし 予稿には理論、出発点と後方散乱の場合の結果について簡単に紹介することにとどめる。

フ^oラズマ中に起きた二つの波の周波数を ω_d 入射電磁波の周波数を ω_0 とする。二者の相互作用の結果 $\omega_0 \pm \omega_d$ 乃是周波数の電磁波が励起されることを予想できる。もし一方の散乱波(今後リバーブと呼ぶことにする)の周波数を $\omega_0 + \omega_d$ とする)とを二波。入射波の三つの波の間に運動量保存則が満たされることはとこり散乱は強く $\omega_0 \pm \omega_d$ (これが共鳴散乱と呼ぶことにする)。一方のリバーブ他の散乱波($\omega_0 - \omega_d$)に対するものは運動量保存則が満たされ難い。この散乱強度は前者にくらべて弱く小さくなる(非共鳴散乱と呼ぶことにする)。従って散乱エフェクトルは ω_0 を中心と非対称に分布すると予想される。更に一次散乱波と二波とが結合し、二次、三次と高次の高調波も励起され得る ($\omega_0 \pm n\omega_d$)

解析結果によると一次共鳴散乱波の強度は次式で与えられる

$$\frac{P_{IR}}{P_0} \cong \frac{\pi^2 r_e^2 \delta n^2 L^2}{k_0^2} \quad (1)$$

非共鳴散乱波の強度は

$$\frac{P_{NR}}{P_0} \cong \frac{\pi^2 r_e^2 \delta n^2 L^2}{k_0^2} \left\{ \frac{\sin(\Delta L/2)}{\Delta L/2} \right\}^2 \quad (2)$$

である。ここに r_e は電子の古典半径 k_0 は入射波の波数 δn は二波の振幅 L は二波の平均干涉距離 ΔL は位相のずれの度合を示す

n 次共鳴散乱強度は次式で与えられる。

$$\frac{P_{nR}}{P_0} \approx (\eta L)^{2n} / (n!)^2, \quad \eta^2 = 4\pi^2 r_e^2 \delta n^2 / k_0^2 \quad (3)$$

文献

- 1) 例え 13¹ K. L. Bowles, B. B. Balsley and R. Cohen, JGR 68, 2485, 1963.
R. Cohen and K. L. Bowles, JGR 72, 885, 1967.

II. 電離層への応用

佐藤哲也

(京大・理)

最近 Cohen and Bowles¹⁾ は赤道地域に於いて非常に興味ある散乱実験を行なつてゐる。この実験から少なくてとも三つの特徴(散乱波)を読みとることが出来る。それは既に Bowles らによつて數度にわたり報告された事実であるが、常に散乱パワースペクトルは理由から主電界との周波数の入射電波の周波数と一定にして、一方周波数一方にすむことの事実である(入射周波数が 50 MHz の場合そのすむのは 120 Hz 程度)。この散乱エコーの原因は Farley²⁾ により議論された流体不安定性にもとづくイオン音波によるものと確認される³⁾。ブリッジアン放乱の立場からすると、(1) 一方イオン音波と入射電磁波とに正一次共鳴散乱波と二三次散乱波とがある。第二の特徴は(2) 伝播も指摘されている(即ち)入射周波数に対し主電界と角度鏡像関係に存在する周波数が微弱ではあるが、はつきりと散乱エコーが認められることがある。(3) 実際に[理論]の確立へと非共鳴散乱は多くても考えられることはできぬ。もしもこの仮説が正しいとすると、主電界の強度と二重鏡像エコーの強度とを比較することにより散乱輝度中の E 波(=陽子イオン音波と考える)の生存時間と知ることできる。E 波の非線形的であることにに対する情報を得るには(1) 理論 + 項、(3) 式及(2)式参照。

第三の特徴は主電界よりもより低周波数領域にイオン音波と同割合に現れる。Dougherty and Farley⁴⁾ は、散乱エコーを引き出す原因はイオン音波の非線形波すなはち decay wave であると定性的説明を(2) してある。議論は全く定性的なものであり理論的根拠とほしくないが、この議論を含んである。従ってイオン音波の非線形波よりも少し他の不安定波動の流体不安定波動と共存する可能性がある。その有力な一つの候補として cross-field 不安定性と上げることはできる。既に述べたブリッジアン放乱理論の立場から、不安定性の可能性を考へた結果、(2) 第三のエコーの原因と(2) cross-field 不安定性を考えると十分可能であることが判明した。また、理論的根拠は必ず周波数特性の一致する二つと散乱強度も実験と矛盾しないことによる。もちろん二考え方のどちらすべしと結論結果を證明することは序文で述べた。恐らく複数の理論が入り込んでいるものと思われる。

文献

- 1) R. Cohen and K. L. Bowles, JGR 72, 885, 1967
- 2) D. T. Farley, JGR 68, 6083, 1963.
- 3) K. L. Bowles, B. B. Balsley and R. Cohen, JGR 68, 2485, 1963
- 4) Dougherty and D. T. Farley, JGR 72, 1967

Structure of Plasma Turbulence Due to
Nonlinear Cross-Field Instability

佐藤哲也・津田厚夫

(京大・理) (京大・工)

プラズマ物理学においては、線形理論時代は既に過ぎ去り、最大の関心事は非線形現象へと移りつつある。電離層・磁気圏プラズマとプラズマ物理の最大の漁場となり立場からすると、この応用分野においても非線形理論へと進むのが当然の流れであり、また実験的にも非線形現象をどうえらぶに充分に行はれ測定技術が進歩してくる。

電離層電子密度の irregularities のゆるみと、その原因である cross-field 不安定性¹⁾の有力な候補になり得ることを提唱し、更にその非線形的方程式²⁾を電子計算機を用いて解析した結果、irregularity の振幅が 30% に達する strong-turbulence に至ると見出³⁾され、学会にあわせて報告した。一方、最近の高精度のプローフによる観測結果でも振幅が 20~30% に達する波動状の irregularities の存在⁴⁾が確認された。また、観測による irregularities の原因⁵⁾が我々の提唱した cross-field 不安定波動によることは断定可能で、早急に可なり。少しくとも否定的根拠はなく、(3) 肯定的形勢⁶⁾である。これまで cross-field 不安定性の有力な候補と見てよろしく思える。現在までのところ他の理論にはこの現象を説明する二つに非常に困難である。

今回は、前に報告した cross-field 不安定性の非線形解析を更に詳しく述べて結果得られた結果と報告する。詳細な解析の結果、前回報告した非線形解が十分収束しない問題⁷⁾も、改めて確認した。更に、cross-field 不安定性は波-波相互作用のみによる定常的乱流、即ち定常エネルギー-スペクトルに達し得ることを示した。一方、この結果は流体力学的に非常に興味ある結果⁸⁾である。即ち、波数空間に於ける小さな波数側にエネルギー-源(不安定領域)の存在(大さな波数側にエネルギー-吸収領域)が示され、これが工エネルギー(平均的)の流出が"單方向的"であることを示す。大きな波数へと流れあると、3² 工エネルギー-平衡が成り立つ。定常乱流に達し得ることは示した。

以上の irregularities の定常スペクトルを見たところ、これは单に流体力学的興味だけではなく、irregularities の診断法として重要な情報である。電離層 irregularities の診断法として電波散乱を用いる方法⁹⁾が最も行なわれてゐるが、これはよく知られるところであり、一方、理論的には多くの人達により irregularities の散乱が研究され、散乱強度が散乱頻度、irregularities のエネルギー-スペクトルに比例する¹⁰⁾ことが知られる。¹¹⁾ また、 irregularities のスペクトルを知ると、理論と実験と比較する上に多くの重要な情報を得られる。

文献

- 1) T. Tsuda, T. Sato and K. Maeda, Radio Sci. 1, 212, 1966.
- 2) T. Sato and T. Tsuda, Physics. Fluids 10, 1262, 1967.
- 3) L.G. Smith, Radio Sci. 1, 178, 1966.
- 4) H. Oya and T. Obayashi, Contribution to COSPAR Symp. July, 1967.
- 5) 例えは F. Villars and V.F. Weisskopf, Phys. Rev. 94, 232, 1954.

17

Magnetic Tail における

Magnetic Field Annihilation による 加速

加藤愛雄 渋谷仙吉

東北大学理学部 地球物理学教室

81

1964年 IMP-I の観測にもとづき, NESS が Geomagnetic Tail の Neutral Sheet の存在を発見以来, 急速に観測, 研究が進み, 磁気嵐, オーロラのとき Tail の磁場が急激に減少するなどにより, Neutral Sheet が 磁気圏内での粒子加速, とくにオーロラ粒子の生成源として重要な役割をしていることがわかつてきた。

そこで Neutral Sheet を通じて 磁気エネルギーが プラズマエネルギーに変換される 機構や, それが行われる位置が Axford et. al. はじめいろいろ論じられている。

われわれはまずこれらの問題について吟味する。そして Model Investigation を行う。次に S.I. Syrovat-skii の "Dynamic dissipation of magnetic Field" の原理を Magnetic Tail に応用し, 粒子の加速される割合を計算する。

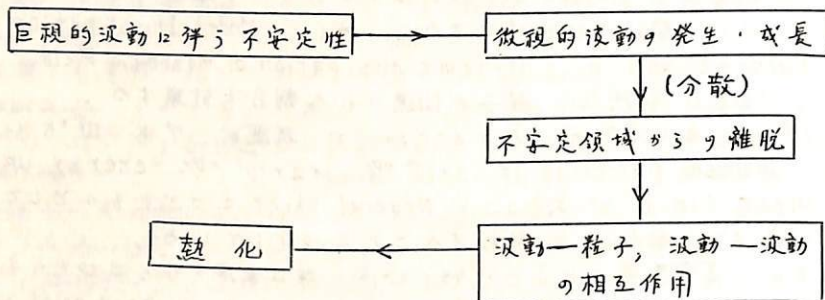
$H_0 = 50 \text{ f}, L = 10^9 \text{ cm}, n_0 = 50 \text{ cm}^{-3}, l_0 = 600 \text{ km}$ で 温度が $10^6 \text{ K} \sim 10^5 \text{ K}$ に 異なるにしたがい charged particle は $3 \times 10^4 \text{ eV} \sim 2 \times 10^5 \text{ eV}$ energy up される。(ただし upper limit で)、ここで Neutral sheet をつぶすものとして, 10 km/sec 以上で $\delta = 4R_E$ だけ medium が 移動することを仮定している。

Collision less にちかい 高電導度のところで, 短い時間に 強い電場を作る 真地からも jule disipation 等の 加速機構よりも, 反対方向から結合している Neutral point による 磁場の rapid dissipation (or annihilation) が 有効であることを強調する。

最後にこれらの粒子が オーロラ をはじめ, magnetosphere のいろいろな現象と 関連する可能性が大きいことを 諭ずる。

王 尾 強
(宇宙研)

先に我々は磁気圏内の有限振幅電磁流体波の発起、伝播と Neumann 粘性係数を導入する事に依り、 β 数値の求め、外部磁気圏では 100 eV 程度のプラズマを加熱し得ることの結果を得た。併し、無衡突プラズマ内の運動、熱化の機構内に、はるかに複雑な物理的取扱いが必要である。無衡突平衡波の形成は、内部の微細運動が本質的であると云ふことは現在良く知られる。より簡略化した物理的过程を模式的に示す。



磁気圏 ($\beta \leq m_e/m_i$) の考査 + 3 微細運動と 17 は Whistler 帯 ($Q \ll \omega \leq \Omega_{coul}$) の電磁波である。 $\beta > m_e/m_i$ のプラズマでは、斜め伝播の電磁流体波の成長は Cerenkov 型、粒子一波動相互作用の抑制される。Whistler 波は短波長側では弱く、長波長帯では正の分散を示すから、巨視的波動と共に動いて得た程度の位相速度領域、不安定性の問題である。非線型電磁流体波の伴う不安定性については、

(i) 電子の drift motion, (ii) pressure anisotropy, (iii) 密度、温度、磁場の変化による drift instability 等の考査 + 3 が、(ii), (iii) は low- β の下で平らに期待出来る。今回 (i) の不安定性は考査 + 3 である。

半統計的で、巨視的波動の物理量 (電子のドリフト速度等) は倍以上、微視的波動の成長率も著しく、準拠型近似を用いて粒子一波動相互作用を求めるには、局所的熱化の仮設を得て、これが巨視的方程式を導入する事に依り、磁気圏内の電磁流体運動の伝播、粒子の加熱を系統的に論ずる事が可能となる。

19 磁気音波の不安定条件。

佐藤佳朗

東北大 地球物理教室。

地磁気外圏内に於て、磁気音波と荷電粒子との相互作用により磁気音波の不安定が可能である。特に定常磁場に沿って 60° 以上の角度方向に伝播する磁気音波に対しては、inverse transit time damping か主な役割をはたしている事は前回述べた。しかし beam か Maxwellian type であるか複素変数の確率関数積分か含まざる数値解析困難である。今回、我々は、ambient plasma を Maxwell, beam plasma を定常磁場と直角方向には Delta function, 定常磁場と平行方向には shifted resonance function の分布を仮定し移動度テニソル、長波分散式を求めた。そして、Marginal state ($\omega_i=0$) に対する Normalized beam density \bar{U} と drift velocity V_d との関係式を求め、磁気音波が不安定となるための条件を求める。

$$\begin{aligned}
 \text{移動度テニソル : } M_{xx} &\sim -\varepsilon \Omega \int_{-\infty}^{+\infty} dV_{||} \left[-f_{||}^{(o)} W_T \left\{ \frac{i\pi}{\alpha_1} + \frac{i\pi}{\alpha_0} + \frac{1}{16} i\pi f^2 \right\} + \frac{\kappa_z}{\omega} W_T V_{||} f_{||}^{(o)} \left\{ \frac{i\pi}{\alpha_1} + \frac{i\pi}{\alpha_0} + \frac{1}{16} i\pi f^2 \right\} \right] \\
 M_{xy} &\sim -\varepsilon \Omega \int_{-\infty}^{+\infty} dV_{||} \left[-\frac{\kappa_x}{\omega} W_T^2 \varepsilon f_{||}^{(o)} \left\{ \frac{1}{\alpha_1} \left(\frac{\pi}{8} f - \frac{3\pi}{8} f^2 \right) + \frac{1}{\alpha_0} \left(\frac{\pi}{8} f + \frac{3\pi}{8} f^2 \right) \right\} - W_T f_{||}^{(o)} \frac{1}{4} \cdot \frac{i\pi \varepsilon}{4} f^2 + \frac{\kappa_z}{\omega} W_T V_{||} f_{||}^{(o)} \frac{1}{\alpha_0} \cdot \frac{i\pi \varepsilon}{4} f^2 \right. \\
 &\quad \left. + \frac{\kappa_z}{\omega} \varepsilon W_T^3 \frac{\partial f_{||}^{(o)}}{\partial V_{||}} \left\{ \frac{\pi/2}{\alpha_1} - \frac{\pi/2}{\alpha_0} + \frac{1}{16} i\pi f^2 \right\} \right] \\
 M_{xz} &\sim -\varepsilon \Omega \int_{-\infty}^{+\infty} dV_{||} \left[W_T^2 \frac{\partial f_{||}^{(o)}}{\partial V_{||}} \left\{ \frac{\pi f/2}{\alpha_1} + \frac{\pi f/2}{\alpha_0} \right\} - \frac{\kappa_x}{\omega} W_T V_{||} f_{||}^{(o)} \left\{ \frac{i\pi}{\alpha_1} - \frac{i\pi}{\alpha_0} + \frac{i\pi f^2}{16 \alpha_0} \right\} - \frac{\kappa_z}{\omega} W_T^3 \frac{\partial f_{||}^{(o)}}{\partial V_{||}} \left\{ \frac{\pi f/2}{\alpha_1} + \frac{\pi f/2}{\alpha_0} \right\} \right] \\
 M_{yx} &\sim -\varepsilon \Omega \int_{-\infty}^{+\infty} dV_{||} \left[\frac{\varepsilon \kappa_z}{\omega} W_T^3 \frac{\partial f_{||}^{(o)}}{\partial V_{||}} \left\{ \left(\frac{\pi/2}{\alpha_1} - \frac{\pi/2}{\alpha_0} - \frac{1}{16} i\pi f^2 \right) \right\} - W_T \varepsilon f_{||}^{(o)} \cdot \frac{i\pi f^2}{4 \alpha_0} + \frac{\varepsilon \kappa_z}{\omega} W_T V_{||} f_{||}^{(o)} \frac{i\pi f^2}{4 \alpha_0} \right] \\
 M_{yy} &\sim -\varepsilon \Omega \int_{-\infty}^{+\infty} dV_{||} \left[-W_T f_{||}^{(o)} \left\{ \frac{i\pi}{\alpha_1} + \frac{i\pi}{\alpha_0} + \frac{3i\pi f^2}{16 \alpha_0} \right\} - \frac{\kappa_x}{\omega} W_T^2 f_{||}^{(o)} \left\{ \frac{\pi f^3}{16 \alpha_0} + \left(\frac{i\pi f/8}{\alpha_1} - \frac{i\pi f/8}{\alpha_0} \right) + \left(\frac{3\pi f/8}{\alpha_1} + \frac{3\pi f/8}{\alpha_0} \right) + \left(\frac{5i\pi f/8}{\alpha_1} - \frac{5i\pi f/8}{\alpha_0} \right) \right\} \right. \\
 &\quad \left. + \frac{\kappa_z}{\omega} W_T V_{||} f_{||}^{(o)} \left\{ \frac{i\pi}{\alpha_1} + \frac{i\pi}{\alpha_0} + \frac{3i\pi f^2}{16 \alpha_0} \right\} + \frac{\kappa_z}{\omega} W_T^2 \frac{\partial f_{||}^{(o)}}{\partial V_{||}} \left(\frac{\pi/2}{\alpha_1} + \frac{\pi/2}{\alpha_0} \right) \right] \\
 M_{yz} &\sim -\varepsilon \Omega \int_{-\infty}^{+\infty} dV_{||} \left[\varepsilon W_T^2 \frac{\partial f_{||}^{(o)}}{\partial V_{||}} \left\{ -\frac{\pi f}{2 \alpha_0} + \frac{i\pi f/2}{\alpha_1} - \frac{i\pi f/2}{\alpha_0} \right\} - \frac{\varepsilon \kappa_x}{\omega} W_T^3 \frac{\partial f_{||}^{(o)}}{\partial V_{||}} \left(\frac{\pi/2}{\alpha_1} - \frac{\pi/2}{\alpha_0} - \frac{(i\pi \varepsilon f^2)}{8 \alpha_0} \right) - \frac{\kappa_z}{\omega} W_T V_{||} f_{||}^{(o)} \frac{i\pi \varepsilon f^2}{4 \alpha_0} \right] \\
 M_{zx} &\sim -\varepsilon \Omega \int_{-\infty}^{+\infty} dV_{||} \left[-V_{||} f_{||}^{(o)} \left(\frac{\pi f}{2 \alpha_0} + \frac{\pi f}{4 \alpha_2} - \frac{i\pi f}{4 \alpha_1} + \frac{i\pi f}{4 \alpha_2} + \frac{i\pi f}{4 \alpha_0} \right) + \frac{\kappa_z}{\omega} W_T^2 V_{||} f_{||}^{(o)} \left\{ \frac{\pi f}{2 \alpha_0} + \frac{1}{\alpha_2} \left(\frac{\pi f}{4} - \frac{i\pi f}{4} \right) + \frac{1}{\alpha_2} \left(\frac{\pi f}{4} + \frac{i\pi f}{4} \right) \right\} \right. \\
 &\quad \left. + \frac{\kappa_z}{\omega} W_T^2 V_{||} \frac{\partial f_{||}^{(o)}}{\partial V_{||}} \left\{ \frac{i\pi f}{4} \left(\frac{1}{\alpha_1} - \frac{1}{\alpha_1} \right) + \frac{\pi f}{2} \left(\frac{1}{\alpha_2} + \frac{1}{\alpha_2} \right) \right\} \right] \\
 M_{zy} &\sim -\varepsilon \Omega \int_{-\infty}^{+\infty} dV_{||} \left[-\varepsilon V_{||} f_{||}^{(o)} \left\{ \frac{\pi f}{2 \alpha_0} - \frac{3\pi f}{4} \left(\frac{1}{\alpha_1} + \frac{1}{\alpha_0} \right) + \frac{1}{\alpha_2} \left(\frac{\pi f}{4} - \frac{i\pi \varepsilon f}{4} \right) + \frac{1}{\alpha_2} \left(\frac{\pi f}{4} + \frac{i\pi \varepsilon f}{4} \right) \right\} \right. \\
 &\quad \left. - \frac{\varepsilon \kappa_x}{\omega} W_T V_{||} f_{||}^{(o)} \left\{ -\frac{i\pi f^2}{4 \alpha_0} + \frac{\pi}{\alpha_2} - \frac{\pi}{\alpha_2} \right\} + \frac{\varepsilon \kappa_z}{\omega} W_T^2 V_{||} f_{||}^{(o)} \left\{ \frac{\pi f}{2 \alpha_0} - \frac{3\pi f}{4} \left(\frac{1}{\alpha_1} + \frac{1}{\alpha_0} \right) + \frac{1}{\alpha_2} \left(\frac{\pi f}{4} - \frac{i\pi f}{4} \right) \right. \right. \\
 &\quad \left. \left. + \frac{1}{\alpha_2} \left(\frac{\pi f}{4} + \frac{i\pi f}{4} \right) \right\} + \frac{\varepsilon \kappa_z}{\omega} W_T^2 V_{||} \frac{\partial f_{||}^{(o)}}{\partial V_{||}} \left\{ \frac{-\pi f}{4} \left(\frac{1}{\alpha_1} + \frac{1}{\alpha_0} \right) + \frac{i\pi f}{2} \left(\frac{1}{\alpha_2} - \frac{1}{\alpha_2} \right) \right\} \right]
 \end{aligned}$$

$$M_{zz} \sim -\varepsilon \Omega \int_{-\infty}^{+\infty} dV_{||} \left[\frac{2\pi i W_T}{\alpha_0} V_{||} \frac{\partial f_{||}^{(o)}}{\partial V_{||}} - \frac{k_x}{\omega} V_{||}^2 f_{||}^{(o)} \left\{ \frac{\pi^2}{2\alpha_0} + \frac{1}{\alpha_{+2}} \left(\frac{\pi^2}{4} - \frac{i\pi^2}{4} \right) + \frac{1}{\alpha_{-2}} \left(\frac{\pi^2}{4} + \frac{i\pi^2}{4} \right) \right\} \right.$$

$$\left. - \frac{k_x}{\omega} V_T^2 V_{||} \frac{\partial f_{||}^{(o)}}{\partial V_{||}} \left\{ \frac{i\pi^2}{4} \left(\frac{1}{\alpha_{-1}} - \frac{1}{\alpha_{+1}} \right) + \frac{\pi^2}{2} \left(\frac{1}{\alpha_{+2}} + \frac{1}{\alpha_{-2}} \right) \right\} \right]$$

但し

$$\int_{-\infty}^{+\infty} \left(\frac{f_{||}^{(o)}}{\alpha_0} \right) dV_{||} = \frac{1}{2\pi W_T} \left[(\omega + i\Omega - k_z v_z - i|k_z| v_T) / [(\omega + i\Omega - k_z v_z)^2 + k_z^2 v_T^2] \right]$$

$$\int_{-\infty}^{+\infty} \left(V_{||} f_{||}^{(o)} / \alpha_0 \right) dV_{||} = \frac{1}{2\pi W_T} \left[(\omega + i\Omega) (v_z - \frac{i k_z}{k_{z1}} v_T) - k_z (v_z^2 + v_T^2) \right] / [(\omega + i\Omega - k_z v_z)^2 + k_z^2 v_T^2]$$

$$\int_{-\infty}^{+\infty} \left(V_{||}^2 f_{||}^{(o)} / \alpha_0 \right) dV_{||} = \frac{1}{2\pi W_T} \left[(\omega + i\Omega)^2 (v_z^2 - v_T^2) - k_z v_z (v_z^2 + v_T^2) - \frac{i k_z}{k_{z1}} (\omega + i\Omega)^2 \right] / [(\omega + i\Omega - k_z v_z)^2 + k_z^2 v_T^2]$$

$$\int_{-\infty}^{+\infty} \left(\frac{\partial f_{||}^{(o)}}{\partial V_{||}} \right) dV_{||} = \frac{|k_z|}{2\pi W_T} \left[4i k_z v_T (\omega + i\Omega - k_z v_z) - (\omega + i\Omega - k_z v_z + i|k_z| v_T)^2 \right] / [(\omega + i\Omega - k_z v_z)^2 + k_z^2 v_T^2]^2$$

$$\int_{-\infty}^{+\infty} \frac{V_{||} \partial f_{||}^{(o)}}{\alpha_0} dV_{||} = \frac{|k_z|(\omega + i\Omega)}{2\pi W_T} \left[4i V_T (\omega + i\Omega - k_z v_z) - \frac{1}{k_{z1}} (\omega + i\Omega - k_z v_z + i|k_z| v_T)^2 \right] / [(\omega + i\Omega - k_z v_z)^2 + k_z^2 v_T^2]^2$$

$$f^{(o)} = \frac{V_T}{2\pi^2 W_T} \cdot \int (V_{||} - W_T) \cdot \frac{1}{(V_{||} - v_z)^2 + v_T^2} \equiv \delta(V_{||} - W_T) \cdot f_{||}^{(o)}$$

$$\begin{cases} \alpha_0 \equiv \omega - k_z v_z + i\Omega \\ W_T : \text{thermal velocity } \perp B_0 \\ V_T : " " " \parallel B_0 \\ V_z : \text{drift velocity } \parallel B_0 \\ \mathbf{B}_0 = \mathbf{B}_0 : \text{定常磁場} \\ ik = k_x \hat{x} + k_z \hat{z} : \text{wave vector} \\ \beta \equiv W_T k_x / \Omega \ll 1 \end{cases}$$

分散式 (transit time effect のみ考慮した不連続音波の分散式) :

$$\frac{\Omega_i^2 c^2 k^2}{\Pi_{ic}^2} \sim \omega^2 + k_x^2 V_T^2 \left(\frac{i\sqrt{\pi} \omega \sqrt{\frac{m_e}{m_i}}}{ik_{z1}} - 1 \right) + U \left[-\frac{9}{16} k_x^2 v_T^{2ib} + \frac{i k_x^4 v_T^{4ib}}{16 \Omega_i} \left(\frac{1}{w_r' + i w_{i+}} + \frac{1}{w_r' + i w_i + i |k_z| v_T^{ib} \sqrt{\frac{m_e}{m_i}}} \right) \right. \\ \left. + (w_r' + i w_{i+}')^2 - k_z^2 v_T^{2ib} - i(w_r' + i w_{i+}') \left(\frac{3}{8} + \frac{4|k_z| v_T^{ib}}{\Omega_i} \frac{k_x^2}{k_x^2} \right) \frac{k_x^2 v_T^{2ib}}{\Omega_i} \right. \\ \left. - \frac{|k_z| k_z v_T^{2ib}}{\Omega_i^2} \left\{ \Omega_i^2 + 6ik_z v_T^{ib} (w_r' + i w_i) - 4(w_r' + i w_{i+}') (w_r' + i w_{i+}') \right\} \right]$$

但し

$$\begin{cases} W_T = V_T, \quad w_r' = w_r - k_z v_z, \quad w_{i+}' = w_i + |k_z| v_T, \quad |w_r' + i w_{i+}'| \ll \Omega \\ v_z^i = V_z^e, \quad |w_{kz}| / V_T^{ic} \gg 1, \quad |w_{kz}| / V_T^{ec} \ll 1, \quad U \equiv \Pi_b / \Pi_c \\ \Pi_c : \text{Plasma frequency of ambient plasma.} \quad V_T^{ib} : \text{thermal velocity of ion beam} \\ \Pi_b : " " " " \text{beam plasma.} \quad V_T^{ic} : " " " " \text{of ion cloud} \\ \Omega_i : \text{ion cyclotron frequency} \end{cases}$$

Marginal State ($w_i=0$) に対する条件 (U と V_z との関係) :

分散式の実数部と虚数部をゼロとおいて

実数部 = 0 より

$$\begin{aligned} U = & \left[\left(\frac{\epsilon k^2 \Omega_i^2}{\Omega_{ic}^2} + k_x^2 V_T^{ic} - \omega_r^2 \right) (\omega_r - k_z V_z)^2 + \sqrt{\pi} (1 + \sqrt{\frac{m_e}{m_i}}) K_z^2 V_T^{ib} V_T^{ic} \omega_r (\omega_r - k_z V_z) \right. \\ & \left. - \sqrt{\frac{m_i}{m_e}} K_z^2 V_T^{ib} \left(\frac{\epsilon^2 k^2 \Omega_i^2}{\Omega_{ic}^2} + k_x^2 V_T^{ic} - \omega_r^2 \right) \right] / \left[\left(1 + \frac{4 K_z |K_z| V_T^{ib}}{\Omega_i^2} \right) (\omega_r - k_z V_z)^4 \right. \\ & - \left\{ \frac{9}{16} K_x^2 V_T^{ib} + (4 + 3\sqrt{\frac{m_i}{m_e}}) K_z^2 V_T^{ib} - (2 + \sqrt{\frac{m_i}{m_e}}) \left(\frac{3}{8} + \frac{K_z^2}{K_x^2} \frac{4|K_z| V_T^{ib}}{\Omega_i^2} \right) \frac{|K_z| K_x^2 V_T^{ib}}{\Omega_i^2} \right. \\ & \left. + \left(\Omega_i^2 + 4 K_z^2 V_T^{ib} \sqrt{\frac{m_i}{m_e}} \right) \frac{|K_z| K_z V_T^{ib}}{\Omega_i^2} + (1 + \sqrt{\frac{m_i}{m_e}}) (4|K_z| - 6K_z) \frac{K_z^3 V_T^{ib}}{\Omega_i^2} \right\} (\omega_r - k_z V_z)^2 \\ & + \left(\frac{9}{16} K_x^2 + 2 K_z^2 \right) \sqrt{\frac{m_i}{m_e}} K_z^2 V_T^{ib} - (1 + \sqrt{\frac{m_i}{m_e}}) \frac{|K_z| K_x^4 V_T^{ib}}{16 \Omega_i^2} - \left(\frac{3}{8} + \frac{K_z^2}{K_x^2} \frac{4|K_z| V_T^{ib}}{\Omega_i^2} \right) \sqrt{\frac{m_i}{m_e}} \cdot \frac{K_x^2 K_z |K_z| V_T^{ib}}{\Omega_i^2} \\ & \left. + K_z^3 |K_z| \sqrt{\frac{m_i}{m_e}} V_T^{ib} \right] \end{aligned}$$

虚数部 = 0 より

$$\begin{aligned} U = & \left[\sqrt{\frac{m_e \pi}{m_i}} \frac{k_x^2 V_T^{ic} \omega_r}{k_z} (\omega_r - k_z V_z)^2 + (1 + \sqrt{\frac{m_i}{m_e}}) \left(\omega_r^2 - k_x^2 V_T^{ic} - \frac{\epsilon^2 k^2 \Omega_i^2}{\Omega_{ic}^2} \right) |K_z| V_T^{ib} (\omega_r - k_z V_z) - \sqrt{\pi} K_x^2 |K_z| \omega_r V_T^{ic} V_T^{ib} \right] / \left[\right. \\ & \left\{ \left(\frac{3}{8} + \frac{K_z^2}{K_x^2} \frac{4|K_z| V_T^{ib}}{\Omega_i^2} \right) \frac{K_x^2 V_T^{ib}}{\Omega_i^2} + \frac{|K_z| K_z (6K_z - 4|K_z|) V_T^{ib}}{\Omega_i^2} - (1 + \sqrt{\frac{m_i}{m_e}}) \frac{4K_z^3 V_T^{ib}}{\Omega_i^2} - (3 + \sqrt{\frac{m_i}{m_e}}) |K_z| V_T^{ib} \right\} (\omega_r - k_z V_z)^3 \\ & + \left\{ \left(\frac{9}{16} K_x^2 + 2 K_z^2 \right) (1 + \sqrt{\frac{m_i}{m_e}}) |K_z| V_T^{ib} + 2 K_z^2 |K_z| \sqrt{\frac{m_i}{m_e}} V_T^{ib} + (1 + \sqrt{\frac{m_i}{m_e}}) K_z^3 V_T^{ib} - \frac{K_x^4 V_T^{ib}}{8 \Omega_i^2} \right. \\ & \left. - (1 + 2\sqrt{\frac{m_i}{m_e}}) \left(\frac{3}{8} + \frac{K_z^2}{K_x^2} \frac{4|K_z| V_T^{ib}}{\Omega_i^2} \right) \frac{K_x^2 K_z^2 V_T^{ib}}{\Omega_i^2} - \sqrt{\frac{m_i}{m_e}} (6K_z - 4|K_z|) \frac{K_z^3 |K_z| V_T^{ib}}{\Omega_i^2} \right\} (\omega_r - k_z V_z) \right] \end{aligned}$$

この 2 つの曲線: $U = U(V_z)$ の交点 (U_c, V_{zc}) より U が大きくなれば、波は成長し始めることがわかる。

20 磁気圏域プラズマ中の不安定現象(Ⅱ)

—非一様プラズマ中の電気的プラズマ波—

大家 覧
(京大工)

◆ 今まで、磁気圏域あるいはBow Shock域プラズマは、主としてMHDの分野から追求されてきたが、電気的プラズマ波(Electro-Static Plasma Wave)がエネルギー伝播に重要な役割を果すことが最近明らかにされつつある。たとえば Bow Shockに対する理論もAxford⁽¹⁾ Kellogg⁽²⁾ 等のMHD的なものから、Tidman⁽³⁾ Kennel⁽⁴⁾ のように、熱的プラズマの運動に重疊をあいたものに変っている。

ここでは、プラズマのどうこめに因連して検討されてきた、プラズマの安定性の研究結果のうち、磁気圏外域でのプラズマ状態、特に熱輸送のメカニズムの説明に応用できる理論を調査し、人工的アラスマーのどうこめの分野と、自然のあたえられた磁気圏域モデルとの有機的な関連の上に問題解決を求めた。

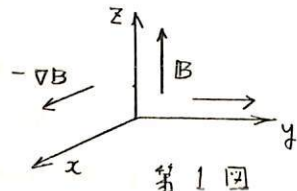
◆ 磁気圏域プラズマの熱エネルギー状態を解明するには、磁界の不均一を含む不均一プラズマ中の不安定現象を明らかにすることが重要で、これに因連して第1表に示すような研究成果がきっかけとなり、すでにプラズマ物理の分野では発展を示している。しかし 磁気圏域の熱エネルギー状態を支配する重要なもののとして、第1図に示すように磁力線に直角方向でかつ磁力の変化方向に伝播する Ion Acoustic Wave の寄与は大きいと考えられるが、その部分は従来検討されていない。この運動による Collisionless メカニズムで、磁力線に直交する、熱エネルギー伝播を明確にするため、理論的検討を進めてゆく事が必要である。

第1表

Instability	Authors
Universal drift instability without longitudinal current	L. I. Rudakov and R. Z. Sagdeev (1960) ⁽⁵⁾
Current-driven universal drift instability	B. B. Kadomtsev (1963) ⁽⁶⁾
Drift-cyclotron resonance instability	A. B. Mikhailovskii and A. V. Timofeev (1963) ⁽⁷⁾
Drift-dissipative instability	S. S. Moiseev and R. Z. Sagdeev (1963) ⁽⁸⁾ F. F. Chen (1964) ⁽⁹⁾ A. Simon (1963) ⁽¹⁰⁾

◆ 文献

- (1) Axford, W. I., J. Geophys. Res., 67, 3791 (1962)
- (2) Kellogg, P. J., J. Geophys. Res., 67, 3805 (1962)
- (3) Tidman, D. A., J. Geophys. Res., 72, 1799 (1967)
- (4) Kennel, C. F. and R. Z. Sagdeev, J. Geophys. Res., 72, 3303 (1967)
- (5) Rudakov, L. I. and A. Z. Sagdeev, Soviet Physics tech. Phys., 10, 952 (1960)
- (6) Kadomtsev, B. B., Soviet Phys. JETP, 16, 1191 (1963)
- (7) Mikhailovskii, A. B., and A. V. Timofeev, Soviet Phys. JETP, 17, 626 (1963)
- (8) Moiseev S. S. and Sagdeev R. Z., Soviet Phys. JETP, 17, 515 (1963)
- (9) Chen, F. F., Physics Fluid, 7, 949 (1964)
- (10) Simon, A., Phys. Fluids, 6, 382 (1963)



第1図

武井 恵雄

東北大学理学部地球物理学科

磁気圏物理学の一つ重要な課題は、磁気圏プラスマ中の準定常的な波動スペクトルを求める事である。変動する太陽風の中に置かれた磁気圏は必然的に非定常であるが、地上の波動観測及び空向に於ける粒子の観測が示すように、その中にあっては、磁気圏の刻々の状態に従て、準定常的なスペクトルが見出される。

波動、つまり場のゆらぎのエネルギーは、それと coherent にゆらぐプラスマ粒子群の、自律的な集団運動のエネルギーと同等であるから、ニウスペクトルは、その状況下においては磁気圏プラスマ中に存在が許され得る、乃至はゆらぎの一面向的表象である。局所的なプラスマ粒子群のエネルギーは、この自律的な集団運動のエネルギーに他に、(それよりは一般的にはもとゆく変動する他律的な集団運動のエネルギーもあるが) 各々の粒子の独立なエネルギーがある。二つ個々の粒子のエネルギーのうち、磁場方向の自由エネルギーはすでに良く知られてゐるよう、波動-粒子相互作用を通して、波動、つまり自律的な集団運動と、容易にエネルギーを交換するものである。従てある状況の下で、この過程を通して、粒子のスペクトル分布と波動のスペクトル分布を求める事が問題となるわけである。

だが、もとも基本的な過程は、高エネルギー粒子群と相互作用する magnetokinetic waves のそれではなく、いわゆる熱的粒子と呼ばれる(多分に非熱的であろうと思われる)低エネルギー粒子との相互作用が強い electro-kinetic waves の範囲に属する波動で記述されるものである。

この問題においては、結局個々の粒子の独立なエネルギーと自律的な集団運動のエネルギーとのやりとりが問題になるわけであるから、自由エネルギーの源とそれに関連する相互作用の型と効果を論ずる事になる。

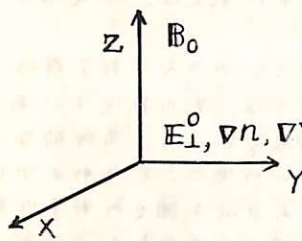
通常言う波動-粒子相互作用は、殆んどすべて前述の局所的な磁場に平行な方向の運動エネルギーを取り出すものであるが、エネルギー交換過程として最も重要なと思われるところの“共鳴”(ここでは $n \rightarrow \infty$ の意味) にある波動(従て殆んど説明であるが) に対してはこの他にもエネルギー源があり、やはり一種の波動-粒子相互作用を通してエネルギー交換が行われる。これは磁場に束縛されてゐるところの、磁場に対して直角方向のエネルギーであり、それが、ある種の波動に対しては自由化される事を示す。

22 磁気圏のドリフト不安定性について—part I—

加藤 翠雄 田中 梨

東北大 理 地球物理学教室

磁気圏の密度勾配及び温度勾配による各々のモードの波の成長率を地球のモデルにあわせて調べるのが目的であるが、今回は磁気圏を低密度プラズマの近似が成り立つ領域で Mobility tensor 及び dispersion の式が求められる。

BoltzmannのOperatorを \mathcal{Q} とすると

$$\mathcal{Q} = \frac{\partial}{\partial t} + \mathbf{v} \cdot \nabla + \frac{2e\epsilon}{M} \frac{1}{c} \mathbf{v} \times \mathbf{B}_0 \cdot \nabla \mathbf{v}$$

zero-order kinetic equationは staticの場合, $\mathcal{Q}f^0 = 0$ ドリフト速度 U としてドリフトのため分布がわざか偏位したと $v \rightarrow v - U$ とする

$$f(v) = f_0(v - U) + f' \Rightarrow f(v)$$

 U と f' は無限小とす。 U は

$$U = c \frac{E_0 \times B_0 + E_{\perp} \times B'}{B_0^2} + \left(\frac{c \omega_L}{e B_0^2} \right) \mathbf{B}_0 \times \nabla_r \mathbf{B}' + \left(\frac{mc^2}{e B_0^2} \right) \dot{E}_{\perp}$$

$\beta \ll 1$, curvature drift, ∇B_0 drift は無視する。 ∇B_0 により ring current plasma 付近で flute instability が生じたとき磁気圏を有限として切ったとき走る電場を E_{\perp} とした。上の諸式と Maxwell の式, Boltzmann の式より規動を用いて Stix 流に計算をする。

$$\mathcal{Q} f_i = - \frac{2e\epsilon}{M} (E^0 + \frac{1}{c} \mathbf{v} \times \mathbf{B}') \nabla_v f^0 + \left(c \frac{E \times B_0}{B_0^2} + \frac{mc^2}{e B_0^2} \dot{E} \right) \nabla_r f^0 + \frac{2e\epsilon}{MC} \left(c \frac{E \times B_0 + E_{\perp} \times B'}{B_0^2} \right) \mathbf{B}_0 \cdot \nabla_r f^0$$

第一項は Stix の教科書に詳しい計算されているのでこれを用ひることにする。第二項 第三、五項を計算する。第四項は第一項の E_{\perp} に含められること省く。 k_y -方向を与えた式は省く。以上 Mobility tensor が求められ

$$M_{xx}^{(1)} = \frac{1}{k_x} \left(\frac{m}{2kT_{ii}} \right)^{\frac{1}{2}} \left(\frac{kT}{m} \right) G_y (1-\lambda) F_{00}$$

$$M_{xy}^{(1)} = \frac{i k_x}{2 k_z} \frac{\omega}{\Omega^2} G_y \left(\frac{m}{2kT_{ii}} \right)^{\frac{1}{2}} \left(\frac{kT}{m} \right) (1-\lambda) (F_{01} - F_{-1})$$

$$M_{yx}^{(2)} = -i \frac{\epsilon G_y}{\Omega^2} \left(\frac{m}{2kT_{ii}} \right)^{\frac{1}{2}} \left(\frac{kT}{m} \right) \frac{1}{2} (1-\lambda) (F_{01} - F_{-1})$$

$$M_{yy}^{(2)} = \frac{k_x}{k_z} \frac{\omega}{\Omega^2} G_y \left(\frac{m}{2kT_{ii}} \right)^{\frac{1}{2}} \left(\frac{kT}{m} \right) (1-\frac{3}{2}\lambda) F_{00}$$

$$M_{zz}^{(2)} = -\frac{1}{k_z} G_y \left(\frac{m}{2kT_{ii}} \right)^{\frac{1}{2}} (1-\lambda) \left\{ -i \left(\frac{2kT_{ii}}{m} \right)^{\frac{1}{2}} + \frac{\omega}{k_z} F_{00} \right\}$$

$$M_{zy}^{(2)} = -\frac{i}{k_z} \frac{\omega}{\Omega^2} G_y \left(\frac{m}{2kT_{ii}} \right)^{\frac{1}{2}} \left\{ -\left(\frac{2kT_{ii}}{m} \right)^{\frac{1}{2}} (1-\frac{\lambda}{2}) + \frac{\omega}{k_z} (1-\lambda) F_{00} + \dots \right\}$$

$$M_{xy}^{(3)} = \frac{i 8e}{2M} E_0^0 \frac{k_x}{k_z} \left(\frac{m}{2kT_{ii}} \right)^{\frac{1}{2}} (1-\lambda) (F_{01} - F_{-1})$$

$$G_y = \left(\frac{\partial \ln n^0}{\partial y} + \frac{1}{2} \frac{kT}{m \Omega^2} \frac{\partial \ln T}{\partial y} - \frac{3}{2} \frac{\partial \ln T}{\partial y} \right)$$

$$M_{yy}^{(3)} = -\frac{8e\epsilon}{2M} \frac{k_x}{k_z} E_0^0 \left(\frac{m}{2kT_{ii}} \right)^{\frac{1}{2}} \left\{ (1-\lambda) (F_{01} - F_{-1}) - 4\lambda F_{00} \dots \right\}$$

$$F_{01} = -i \left(\frac{m}{2kT_{ii}} \right)^{\frac{1}{2}} + \left(\frac{\omega \pm \Omega}{k_z} \right) F_{0\pm}$$

$$M_{zy}^{(3)} = -i \frac{2e}{M} E_0^0 \frac{1}{2\Omega^2} \frac{k_x^2}{k_z} \left(\frac{m}{2kT_{ii}} \right)^{\frac{1}{2}} \left\{ (F_{01} - F_{-1}) - \lambda (F_{00} - F_{-1}) \dots \right\}$$

詳しくは Stix を見よ。

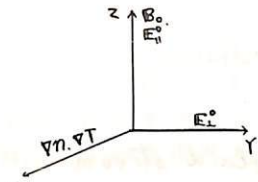
以上の式を用いて electro static mode 及び Magnetosonic (ion acoustic) mode の分散式と成長率が求められる。(今回は分散式のみ示す)。

23

磁気圏のドリフト不安定－拡散の問題－(II)

田 中 穣
東北大 理 地球物理

磁気圏の熱及び粒子の磁力線を横切る拡散の問題は、part I のドリフト不安定によつては伝播ケクトルが磁気圏の勾配に直角な方向なので、熱及び粒子は直接的には入ってこず、oblique 波として磁気圏に入つてくる。ミニマムは密度及び温度勾配に平行な伝播ケクトルを与え、拡散及び分散式が与えられてくる。



左図の如くモデルを置き、part I と同じ方法で計算されてくる。
尚 E^0 はオーディオの式で

$$E^0 + E' + v \times B_0 - \frac{J^1}{\sigma_0} = - \frac{J_0}{\sigma_0} \frac{d \ln \sigma_0}{d \ln T_0} \frac{T}{T_0} - \frac{CM_i}{e B_0^2} \left[\nabla P_e - \frac{2m_i}{M_i} \nabla P_i \right] \quad (1)$$

より $E^0 + v \times B_0 \approx 0$ と見ておき電場である。

R_x による Enhanced diffusion from ion wave insta. では $\frac{1}{\omega^2} \approx \frac{m_i}{k_e^2 2 k T_0} + \frac{1}{\pi l_i^2} + \frac{k_x^2}{k_e^2} \frac{1}{S l_i^2}$ で拡散係数は $\sim \frac{1}{B^2}$ 故 磁気圏では余り問題にならない。
 $\chi \approx z$ anomalous diffusion を考えとき E^0 による ドリフト不安定問題が考えられる。

運動を用いて $\partial f^0 = 0$ (2)

ドリフト速度は $u = C \frac{E^0 \times B^1}{B_0^2} + C \frac{E^0 \times B^1}{B_0^2} + \left(\frac{c \omega_L}{e B_0^2} \right) B_0 \times \nabla B^1 + \frac{m_i^2}{e B_0^2} \dot{E}$ (3)

R_x 一方向を与える式は

$$\partial f^1 = - \frac{Z e \epsilon}{M} (E^0 + \frac{1}{c} v \times B^1) \nabla_v f^0 + C \frac{E^0 \times B^1}{B_0^2} \nabla_v f^0 + \frac{Z e \epsilon}{MC} \left\{ \frac{m_i^2}{e B_0^2} \dot{E}_x + C \frac{E^0 \times B^1}{B_0^2} \right\} \times B_0 \nabla_v f^0 \quad (4)$$

第一項は Mobility tensor は S_{1111} にある z は $=$, $=$, $=$, 四項を求める

$$M_{xx}^1 = - \frac{C E_0}{B_0} \frac{k_x^2 G_x}{\omega S L} \left(\frac{k T_0}{m} \right) \left(\frac{2 k T_0}{m} \right)^{-\frac{1}{2}} \frac{1}{2} (1-\lambda) (F_{01} - F_{0-1})$$

$$M_{xx}^3 = \frac{Z \omega}{k_e} \left(\frac{m}{2 k T_0} \right)^{\frac{1}{2}} \left\{ \frac{1-\lambda}{2} (F_{01} - F_{0-1}) \dots \right\}$$

$$M_{yz}^2 = \frac{i e C}{k_e B_0} E^0 \frac{k_x G_x}{\omega S L} \left(\frac{k T_0}{m} \right)^{\frac{1}{2}} \left\{ (1-\lambda) F_{00} + \frac{\lambda}{2} (F_1 - F_{-1}) \dots \right\}$$

$$M_{yx}^3 = \frac{i \epsilon}{2} \frac{Z \omega}{k_e} \left(\frac{m}{2 k T_0} \right)^{\frac{1}{2}} (-2\lambda F_{00} \dots)$$

$$M_{zx}^2 = \frac{C E_0 G_x}{B_0 \omega k_e} k_x \left\{ -i (1-\lambda) + \frac{\omega}{k_e} \left(\frac{m}{2 k T_0} \right)^{\frac{1}{2}} (1-\lambda) F_{00} \right.$$

$$M_{zx}^3 = \frac{k_x}{k_e} \frac{Z \omega}{S L} \left\{ (1-\frac{3}{2}\lambda) (-i + \frac{\omega}{k_e} \left(\frac{m}{2 k T_0} \right)^{\frac{1}{2}} F_{00} \dots) \right\}$$

$$\left. + \left(\frac{\omega + S L}{k_e} F_{01} + \frac{\omega - S L}{k_e} F_{0-1} \right) \left(\frac{m}{2 k T_0} \right)^{\frac{1}{2}} \lambda \dots \right\}$$

$$M_{xy}^4 = \frac{i Z e}{2 M} E^0 \frac{k_x}{k_e} \left(\frac{m}{2 k T_0} \right)^{\frac{1}{2}} (1-\lambda) (F_{01} - F_{0-1})$$

$$M_{xx}^4 = \frac{C E_0 G_x}{B_0 \omega} \left(\frac{k T_0}{m} \right)^{\frac{1}{2}} \frac{k_x}{S L} \left\{ \frac{1-\lambda}{2} (F_{01} - F_{0-1}) \dots \right\}$$

$$M_{yy}^4 = - \frac{Z e \epsilon}{2 M} \frac{k_x}{k_e} E^0 \left(\frac{m}{2 k T_0} \right)^{\frac{1}{2}} \left\{ (1-\lambda) (F_{01} - F_{0-1}) - 4\lambda F_{00} \dots \right\}$$

$$M_{yx}^2 = - \frac{C E_0 G_x}{B_0 \omega} \left\{ -i (1-\lambda) + \frac{\omega}{k_e} \left(\frac{m}{2 k T_0} \right)^{\frac{1}{2}} (1-\lambda) F_{00} \right.$$

$$M_{zy}^4 = -i \frac{Z e}{M} E^0 \frac{1}{S L} \frac{k_x^2}{k_e} \left(\frac{m}{2 k T_0} \right)^{\frac{1}{2}} \left\{ (1-\lambda) (F_{01} - F_{0-1}) + \dots \right\}$$

$$\left. + \left(\frac{\omega + S L}{k_e} F_{01} + \frac{\omega - S L}{k_e} F_{0-1} \right) \left(\frac{m}{2 k T_0} \right)^{\frac{1}{2}} \lambda \dots \right\}$$

以上の Mobility tensor は electrostatic mode, magnetosonic (ion acoustic) mode, 等が計算される。

武 貞 良 人

京都教育大学

Superfluid stream と *steady state* な *normal fluid* との境界面で温度波の存在することは L.Tisza によつて述べられた。そこでの温度波の式は $\frac{\partial^2 T}{\partial t^2} - \frac{S^2}{C_p} T \frac{\partial^2 T}{\partial z^2} = 0 \dots \dots \dots (1)$

S は *shock wave* によつて *transport* されたエントロピー。

温度波の速度は $\sqrt{\frac{C_p}{\rho}}$, C_p は定圧比熱。

他方、熱が増加するときの式は

$$\frac{\partial T}{\partial t} = \frac{k_e}{\rho C} \frac{\partial^2 T}{\partial z^2} \dots \dots \dots (2)$$

但し、 k_e は heat conduction の degreee で $\frac{k_e}{\rho C} = K$ は thermal diffusivity.

$$(1) \text{ と } (2) \text{ より } \frac{\partial^2 T}{\partial t^2} - M T \frac{\partial T}{\partial t} = 0 \dots \dots \dots (3),$$

$$\text{但し } M = \frac{S^2}{K C_p}$$

(3) は不連続での thermal particles の相互作用を示す式であり、super fluid stream が normal な stationary stream に浸入したときの温度変化を示す。

$$(3) \text{ より } \frac{2}{M} \int \frac{dT}{T^2 + C_2(z)} = \int dt \dots \dots \dots (4)$$

但し $C_2(z) = \frac{2}{M} C_2(z)$, $C_2(z)$ は $t=0$ での $\frac{\partial T}{\partial t}$ の値。
 $C_2(z) > 0$ のとき(4)から

$$\frac{2}{M} \int \frac{dT}{T^2 + A^2} = \int dt \dots \dots \dots (5),$$

$$\text{但し } A = C_2(z).$$

$$(5) \text{ から } \frac{2}{M} \frac{1}{A} \tan^{-1} \frac{T}{A} = t + t_0,$$

但し t_0 は積分常数。

$$\text{それ故 } t = \frac{2}{MA} (\tan^{-1} \frac{T}{A} - \tan^{-1} \frac{T_0}{A}),$$

但し T_0 は $t=0$ での T の値。

$$\text{従つて } T = A \frac{\sin(\frac{MA}{2}t + \varepsilon_1)}{\sin(\frac{MA}{2}t + \varepsilon_2)} \dots \dots \dots (6),$$

$$\text{但し } \tan \varepsilon_1 = \frac{T_0}{A}, \quad \tan \varepsilon_2 = \frac{A}{T_0}$$

$$\text{又 } A = \sqrt{C_2(z)} = \sqrt{\frac{2}{M} C_2(z)} = \sqrt{\frac{2}{M} (\frac{\partial T}{\partial t})}.$$

$(\frac{\partial T}{\partial t})_0$ は $t=0$ での $\frac{\partial T}{\partial t}$ の値。

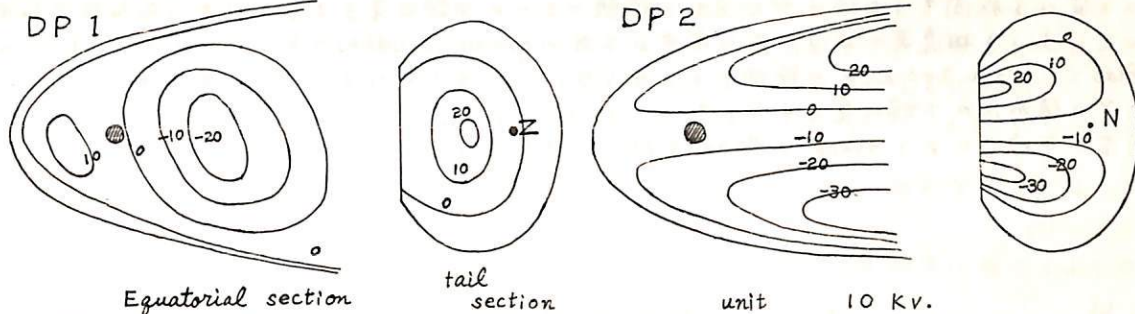
(6)式から初期の温度変化が緩やかである限り不連続での温度上昇は急激に起る。

25 磁気圏の電場

西田篤弘
東大宇宙航空研

磁気圏の大規模な電場を求めるための資料としては、極磁気変動(DP)の記録が現在のところ最も有用である。極磁気変動の形態から、電離層内の電場分布を求める。これを更に磁力線に沿って投影して磁気圏内の電場分布を求めるわけである。

さて、極磁気変動には、DP 1とDP 2の二種がある。DP 1はいわゆる bay, DS等で、auroral electrojet を中心とする。これに対し DP 2は S_p^p 等で、その電流系は二つの電流渦から(南北両半球で)成り立つ。また、極冠内での電流の方向は、DP 2では11時位などに対し、DP 1では9時またはそれより早くなっている。この二つの極磁気変動の差異は、単に電離層電気伝導度の差によるものとは考え難く、磁気圏内に生起される電場自体に、基本的に異なる二つの型があるものと思われる。DP 1, DP 2に応する磁気圏内のボテンシャル分布は、概略下図の如くである。



従来の電場形成の理論では、二種のDP の存在に注意が払われてこない。DP 1電場の成因としては、(1) 磁気圏境界面で太陽風の及ぼす摩擦力(Axford and Hines, Piddington)による電荷分離、(2) 惑星間空間の電場の侵入(Dungey)が唱えられていてこれらは auroral electrojet の形成を直ちに説明するものではなく、むしろ DP 2を導く機構である。更に(3) 磁気圏尾における磁力線の再結合(Atkinson, Axford), 又は不安定(Akasofu, Piddington)も、現在主張されている形では低緯度の DP 1 Return current の説明ができます。むしろ DP 2型の電場を作るものと考えられる。

従って DP 1電場を説明するためには、何らかの附加的な機構を導入する必要がある。現在提唱されているものの中では、磁気圏アラスマ対流と放射能帶の相互作用(Fejer)が使われるかも知れない。放射能帶の粒子数が小さい時には、この相互作用は小さいが、粒子数が高くなると、相互作用によって生ずる電場が強まり、DP 2型がDP 1型に変るというモデルが考えられる。対流の原因としては、自転だけではなく、DP 2型電場の下での対流そのもののが考えられる。

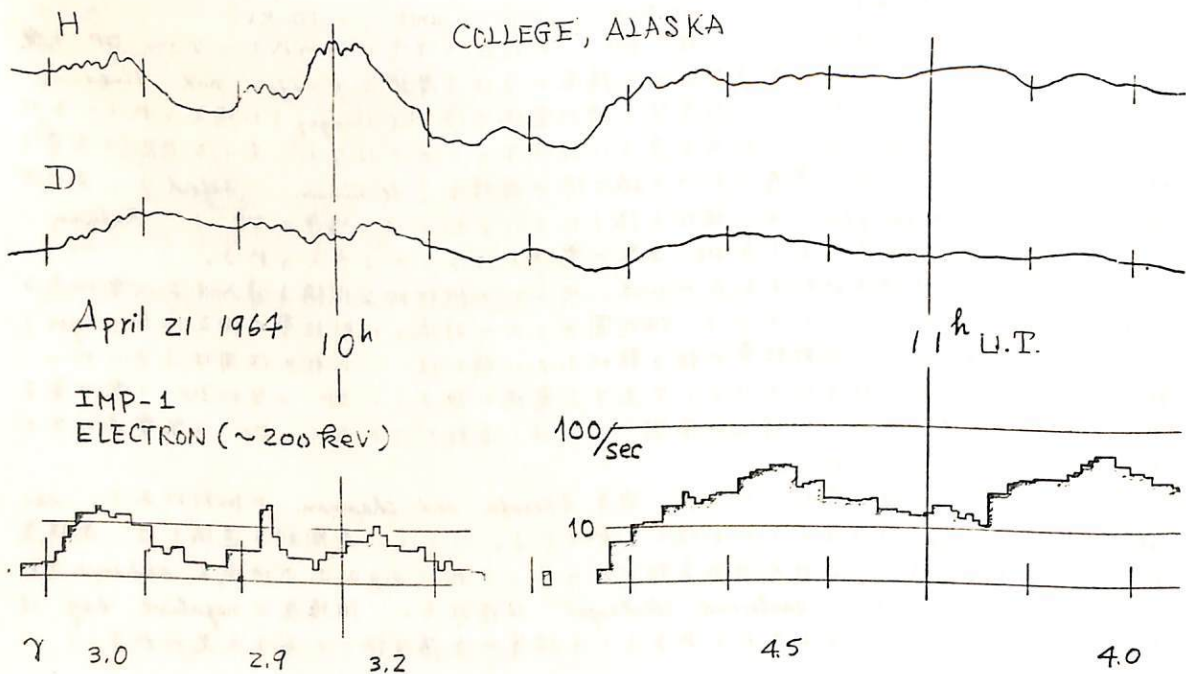
なお、DP 1の電流系については、近年 Akasofu and Chapman の批判があり、eastward electrojet は存在しないと唱えられている。しかし、亜間側赤道域では、高緯度の bay とほぼ同時に、 $\Delta H < 0$ の変動がみられ、これが dipole の地域で enhance されている。この事からみて、eastward electrojet は存在し、低緯度の negative bay は実は ring current によるものであるという彼等の主張は誤りであると思われる。

26 MAGNETOTAIL 中の ELECTRON ISLANDS と
地磁気 PULSATION との関連

村山 喬, 小口 高
(名大 理) (東大 理)

MAGNETOTAIL 中の ENERGETIC ELECTRONS の出現 (K.ANDERSON によつて ELECTRON ISLANDS と呼ばれた) と地磁気現象との関連については、今年春の号で KAKIOKA で観測された Pi 2 には常に対応して出現する二と報告したが、その後 College の RAPID RUN MAGNETOMETER の測定結果との比較を試みはじめている。

現在のところまだ数日間データを処理した程度であるが、先に KAKIOKA で得られたと同様な傾向が見えてくる。下図はその一例で、9:30 ~ 10:10 UT の ELECTRON ISLANDS の三つの PEAK は Pi 2 と思われる PULSATION によく対応している。両者は時向に殆ど一致しており、場合によつては Pi の方がやや早い傾向がある。一方、10:30 UT から始まる二つの大きな PEAK は Pi との明らかな対応がなく、結局 ISLANDS は異なった性質 (従つて異なる成因?) を持つ少くとも二種類のもつて分類出来るようである。ニッキは他にも Pi 1 と相違点があり、Pi に関連ある方の group は比較的エネルギー・スペクトルが flat で、50 ~ 200 KEV の範囲でインテグラル・スペクトルを $E^{-\gamma}$ の形で近似したときの γ の値が図の下端に見られるように 3.5 ± 0.5 である。一方他の group は $\gamma \geq 3.5$ で、前者が平均的により sharp な PEAK を持ち、後者は broad で FLUX が大きい。



27

Island と極磁気擾乱—II

小口 高 村山 喬
東大 理 名大 理

前回の報告に引きつづいて、磁気圏尾における高エネルギー粒子フラックスの増加と極磁気擾乱の関係を主として時間的な面で検討した。その結果

- (1) 高エネルギー粒子フラックスの増加は極光帯における顕著な湾型変化の後半に著しく発生すること。
- (2) 発生の時間的遅れは観測点の位置、主として中性面からのはずれの距離による様にみえるが必ずしも規則的ではないこと。
- (3) 統計的にフラックスの増加が見られる領域は activityとともに中性面の南北に拡がり
- (4) 且つ 或位置でみたフラックスの増加は KP ヒヒもに増加すること。
が半った。この結果を Bame et al (1967) Frank (1967) 等のプラズマシートの観測と比較することにより
 - (1) プラズマシート内の monoenergetic な電子フラックス増加（フラックスピーグのエネルギーは 数百 eV から数 KeV の間に存在する）と極光粒子との関係
 - (2) それぞれの粒子群のエネルギースペクトルの構造の間の関係などを推定することが出来る。これから
 - (1) プラズマシート内のフラック増加は見掛け一般に 地上の極光帯への粒子の入射より数十分程度遅れる。
 - (2) にもかかわらずそのスペクトル構造は入射粒子のスペクトル構造に極めてよく似ている。ことが知られる。

28

長周期地磁気脈動と降下荷電粒子

*恩藤忠典, **佐野幸三

*電波研究所

**地磁気調査所女満別出張所

1957 年 7 月から 1958 年 12 月までの間に Big Delta で観測された 54 例の PC5 について、Point Barrow (補正緯度 69.7°N), Fairbanks (64.9°N), Anchorage (60.8°N), Adak (46.9°N) における f_{min} の増加をしきべた。

その結果 f_{min} が Blackout になる発生率は、Point Barrow における 10 LT で最大になる。又 PC5 に伴う f_{min} の増加は Adak でも僅かながらも傾向が認められる。

この統計結果は、小口(1963)がまとめた PC5 の発生率の“緯度 - 地方時”分布とよく一致している。又金田等(1964)が発見した PC5 とオーラレーダー・エコーとの同時発生地域とも一致している。

PC5 は太陽風と磁気圏との境界における HYDROMAGNETIC KELVIN-HELMHOLTZ INSTABILITY によって発生された表面波のうち、その伝ばん速度が Alfvén 速度に等しいものが磁力線に沿って伝はんして来たものと考えられており。(Sen, 1962) こゝではこうして発生された長周期地磁気脈動によって外部磁気圏の捕獲粒子がより落されるという観点から上述の統計結果について議論する。

29 極地域における地磁気変動 (III) —短周期変動の解析—

岩崎 昇, 飯島 健,
東京大学 理学部 地球物理学教室

(i) 極地域では、周期 $T_0 \approx 3 \sim 10^{\text{min}}$ とみなされる不規則な脈動的な大きな変動が現われることがしばしばある。今回は, Thule の data を中心として、この変動を調べた。

1957年9月1日にかけ、この変動は特に著しく、極地域を重点として、汎世界的にいくつかの station からの data を周期分析してみた。

この変動が各時刻の瞬間に、汎世界的にはどのよろな形態をもつてゐるか、同時性が在るのか無いか、などについて調べた。

この種の変動は、その発生の様子(頻度)について調べてみると、Dst または K_p の増大直後の回復期に、その変動の振幅も大きくなる。極地域に現われるこの種の変動を、Magnetotail の Fluctuation と結びつけることはできないであろうか。また、Island と関係あるのではないか。

(ii) 同じく、極地域における脈動 (pc-3, -4) について、汎世界的に比較し、発生源について他の緯度地域との関連性をみた。そして、脈動の振幅を比べてみた。

30 脚和基地における PC-1 の解析

小口高, 國分征
東大理

1966年南極脚和基地において観測された地磁気脈動 PC-1 の解析結果を報告する。主な結果を次に示す。

1. 出現の日変化; 午後2時頃に最大になり、2小時で得られてる極光帯附近での結果と一致する。
2. 地磁気活動との相関; はっきりした1対1の相関は認められないが、磁気嵐開始日にPC-1活動が高くならず傾向は認められる。PC-1をスペクトル構造で分けてみると、周期的であるのは概して $K_p = 1, 2$ の比較的静かなときには現われ、地磁気活動の高いうちは現われるのはスペクトル構造のはっきりしたものが多い。
3. SSC時のPC-1 enhancement; PC-1出現日毎の最大時刻、午後2時附近にSSCが起った場合は殆んど PC-1 enhancement が認められる。特に SSC 前後時間以内に PC-1 が現わっている場合は例外なく enhancement があり、振巾は前のものにくらべて 2倍から大きくなるのは 10 倍以上に達する。SSC と PC-1 enhancement の時間差は 20 秒から 3 分程度であり PC-1 がよくれる。又、中心周波数は 1.5 倍程度増加し バンド巾も数倍になる。
4. Periodic type PC-1; Periodic Type の recurrence period と、中心周波数との関係は Campbell が College の観測結果をもとにいためた $t_{\text{rec.}} = 86 t_{\text{mid}}$ とはほぼ一致したものが得られた。

その他 CNA 12件の PC-1 等についても報告する。

31 最近 35 年間に於ける Solar M-Disturbance の性質

齊藤 尚生
(東北大・理)

地磁気擾乱指數の毎日の値を長期間に亘って調べると、太陽の平均回転周期(約 27 日)の他に約 29 日の周期性がある事が知られて居る。此の周期が朔望周期(29.53 日)に近い所から、moon wake に依る影響の有無が議論されて居る。

此の事を調べるために、Kp 劇談(1932 年)以来 1966 年迄 35 年間、約 3 solar cycles に亘つての ΣK_p を基に、次の様な解析を行つた。4 solar rotations の周期の ΣK_p の auto-correlation coefficients を 27 日づつ running にて求め、周期対年月(solar rotation)の座標の上に等 auto-correlation contours を引いた。
その結果

1. 29 日周期性は各 solar cycle の最初に出易い。
 2. solar cycle の位相が移るに従つて 29 日周期は概して次第に短くなり、太陽活動下降期の 27 日を全て最小期の 26 日周期にと移行する。
 3. auto-correlation の値は太陽活動最大期で最小、最小期直前で最大となる。
 4. auto-correlation の値は概して equinox に大きい。
- 之等の性質は、M-region の現れる緯度が太陽面上を solar cycle の phase に従つて移行すると仮定すれば説明出来よう。従つて moon wake よりも solar M-region の方が 29 日附近の周期性に大きく寄与して居るであろう。又此の様な仮説に基けば radial theory の多くと一面は否定される。

尚、上記の結果を裏付ける為に 1890 年以来 6 solar cycles の C-index の解析に就いて述べる。

32 小規模地磁気(DP)及び電離層(f_{min} , $f_0 Es$)擾乱の解析

佐野幸三

恩藤忠典

地磁気観測所女満別出張所

電波研究所

要旨

地磁気小規模SC嵐に伴なう地磁気、電離層(主に f_{min})擾乱パターンの比較及び地磁気DP擾乱の構成と形態について報告する。

1) 地磁気擾乱と電離層 f_{min} 増加のパターンの比較

前回までは極光帯で単独に出現した湾型変化について調査してきたが、今回は小規模SC嵐に伴なう同様の擾乱について調査してみた。結果はSC嵐に伴なう擾乱であろうとなからうと両者には、当然のこととして予想された如く、相違はなく前回の結果と同様の形態を示している。即ち、地磁気DP擾乱時変化の主なる構成は極光帯の Broad negative, positive bay に伴なう一つのパターンと Sharp negative bay に伴なうもう一つのパターンの二つであるが、 f_{min} 増加のパターンもこれら二つの地磁気DPパターンに対応して、前者の場合は西向きの極光帯電流の流れの領域の東側を中心にして、即ち朝方から日中側に発達して出現する。出現の時間的関係は一般に f_{min} 増加が遅れて出現し、消滅も遅れるような場合が多い。一方、Sharp negative bay に伴なう場合は西向きの electrojet の流れるほとんどの領域に、 f_{min} 増加領域が出現する。

2) 地磁気DP擾乱の形態について

地磁気擾乱の形態は古くから多くの人達によって研究されて、大体同じような結果が報告されているが、最近Akasofu 等はこれらの結果の内特にDP部分(DS)のパターンに疑問をなげかけて、新しいDPパターンを報告している。このパターンは特に午後側の領域で本質的な相違がある。しかし、今までに報告されてきたDPパターンが誤りであり、このAkasofu 等の新しいものがより真実に近い一般的なDPパターンであるといふことは大きな問題があるようと思われる。筆者等の調査結果によれば、前述した様にあくまでも DP擾乱時変化の主なる構成は Broad negative, positive bay に対応するもの(Chapman 等の DS-成分に近い)と、Sharp negative bay に対応するものとに分類するのが妥当であると思われる。両者が重なるにような場合にAkasofu 等の示したパターンに近いものになると考えられる。このことは中低緯度地方における湾型変化の出現分布を調べてみた結果からも明きらいであると考えられる。

33 低緯度地磁気脈動の伝播特性

福西 浩・国分 征・川口 高

東大理・地球物理

低緯度地磁気脈動の伝播機構を明らかにするため、国内における多点同時観測を行った。

1. 観測期間 1967年8月28日～9月3日
2. 観測点 宗谷、下北半島、柿園、八丈島のほぼ等経度上に並いた千点。
3. 観測装置 1°×2ロイロアとモッサイエラショントコイルヒ、DCアンプと用ひた方波、三角波 PWM 方式のデーターレコーダーおよびペレコーダーによつて、磁気テープとチャート紙に記録。DCアンプのノイズレベルは0.1 μV 以下

4. 解析結果

- (1) 観測された脈動の波形は、全観測点によつて非常によく似てゐる。
- (2) simultaneous 脈動の位相のずれは、宗谷・柿園間(1000 km)で約2秒、柿園・八丈間(350 km)で約0.5秒である。
- (3) $P_c 3 \cdot 4$, $P_i 2$ の振幅は低緯度ほど小さく、その減衰曲線は、周波数と距離に依存し、ほぼ $\exp(-\gamma \cdot d \cdot \sqrt{f})$ の形をしてゐる。但しこれは周波数(c/s), d は二点間の距離(m)。
- (4) 減衰率 γ の値は、local time に依存し、日中は、約4.0、夜間は約2.0である。
- (5) 夜間に観測された周期千秒程度の脈動の減衰率は、非常に小さく、 $\exp(-\gamma \cdot d \cdot \sqrt{f})$ の曲線上にあらね。

以上の二つから、 $P_c 3 \cdot 4$, $P_i 2$ は高緯度から、低緯度に向つて拡散型の電離層伝播をうながと思われる。また周期5秒程度の脈動(continuous emission)は、減衰率はほとんどなく、多くF層の重波管伝播をうなが思われる。

34 pc1からpc5に亘る地磁気脈動総合動スペクトラム

齋藤尚生 · W. H. Campbell
(東北大・理) (ITSA・ESSA · U.S.A.)

1958年頃 Sona-graph 法に依る地磁気脈動周期分析の論文が始めて以来、現在迄 Missilizer, Vibratizer を含む Sona-graph の脈動解析に果した功績は極めて大きい。然し、元来音波数分析用に設計された Sona-graph は、周期に対し強い歪みを持つて居る為に、解析し得る有効周波数帯域が狭い。この為、地磁気脈動の周期範囲全体 (0.2~600秒) の中、今迄は例えば pc1 級という様に、殆ど部分的な動スペクトラムしか得られなかつた。 Sonagraph 法、濃度に依る脈動振巾へ表示法も、直観的ではあるがその反面甚だ定性的で、厳密な定量的研究をする上には困難がある等々、 Sona-graph 法の限界が理解され始めて来た。

其迄 Sona-graph 法に代るものとして、電子計算機に依る地磁気脈動の総合動スペクトラムの開発が試みられた。 ITSA, ESSA の誘導磁力計で得られた地磁気脈動の磁気データを A-D 変換機で數値化し、又々時間に亘つて 1 分毎の移動 Fourier 解析を行つた。此の様にして得られた動スペクトラムは、0.3~600秒という広い周期範囲を、歪み無く cover して居る。

今回は Byrd Station の 1965 年 7 月 28 日の動スペクトラムを主に示し、1965 年 10 月 2 日に於ける Byrd—Great Whale, Baie St. Paul—Eights の 2 対の conjugate station の結果の一部を添える。

35 Digital Dynamic Spectrum と 地磁気脈動の微細構造

齋藤尚生
(東北大・理)

別掲(齋藤—Campbell, "pc1 から pc5 に亘る ……")。如く、地磁気脈動の周期解析に用いられる Sona-graph には、周期軸に對し強い歪みを持つといふ欠点がある。脈動解析に於ける 2 つ一つの大きな Sona-graph の短所として、分解能が限定され、特に長周期脈動の微細構造を調べる事が困難は其が挙げられるであろう。譬えば pc4 の周期分解能は、pc1 のそれの約 1/100 であり、若し周期分解能を pc1 程度に上げようとする時時間の分解能が 1/100 に落ちて、動スペクトラムの微細構造を調べる事が困難になる。此の様は分解能の悪さから、長周期脈動のスペクトラムに關して、時として誤った推論が導かれた事もあつた。

其迄、電子計算機を用いた動スペクトラム (Digital Dynamic Spectrum) を次の長周期脈動現象に適用した。

	1	2
脈動の種類	Giant Pulsation	pc3
日付	Oct. 4, 1963	Aug. 11, 1958
観測地	Fredericksburg	女川
移動解析単位	5 秒	1.7 秒
周期範囲	20 ~ 150 秒	7 ~ 50 秒

両者共、周期の近接した 2 種類の脈動の重畠現象が動スペクトラムに認められた。

36 科学衛星 REX S 計画

大林辰蔵

東京大学宇宙航空研究所

この計画は 1968 年以後に行なわれる東京大学宇宙航空研究所における科学衛星第 2 号として企画された電離層および磁気圏内のアラズマおよび電波現象を観測する電波探測衛星 (Radio Exploration Satellite) に関するものである。

目的：科学衛星 REX S は大気圏のアラズマ組成、電子密度、大気温度分布などの測定とアラズマ内に生起している自然界の電磁波、アラズマ波等の輻射についての、長時間、広範囲にわたる観測を行ない、宇宙空間の状態を電波探測によつて解明しようとするものである。これらの測定によって得られるデーターは、電離層および磁気圏内における地球大気の諸性質およびそこに発生している電磁波動現象を理解するうえに本質的な役割を果すものと見られる。また、ここで明らかにされる内容は宇宙科学の成果のみに止まらず、電離気体内での電波と粒子の相互作用その他のアラズマ物理学における重要な課題をも包含している。

衛星飛翔体および軌道：科学衛星を観測軌道にのせるために現在開発中であるミューロケット M-4 S 型を使用し、これによつて衛星を遠地点 3,000 Km 以上、近地点 500 Km 程度の橿円軌道にうちあげる。衛星本体は直径 250 mm のほど球型の多面体で構成され、その全重量は 60 Kg になる予定である。

観測項目：	電磁波測定	(電磁波雑音)
	アラズマ波測定	(イオン音波)
	高周波掃引型インピーダンスプローブ	(電子密度、温度)
	低周波掃引型インピーダンスプローブ	(イオン組成、其の他)
	静電型粒子ビームプローブ	(ビーム、粒子線)
	電磁波励起実験	(電波輻射機構)
	地磁計およびサン・センサー	(衛星姿勢)

1. 電磁波およびアラズマ波測定 0.1~30 KC/S の範囲の 15 の固定周波数において、球プローブおよびループアンテナを用いて電波雑音、アラズマ波雑音の電界、磁界ベクトルとそれらの周波数スペクトルを分離して測定する。15 周波数の内、1 周波数は地上の VLF 局の信号を受信する。受信機はヘテロダイイン式のステンレスルにより、これらの周波数域を不連続的に掃引する。全周波数の掃引時間は約 20 秒である。

2. インピーダンス・プローブ 高周波のインピーダンスプローブでは 200 KC/S から 16 MC/S の範囲を E band にかけて掃引し、この範囲で upper hybrid resonance, sheath resonance の周波数を測定し、電子密度、電子温度を測定すると共に、3 つの周波数におけるインピーダンスを測定する。一方低周波のインピーダンスプローブでは 0.1 KC/S から 15 KC/S の範囲を掃引し、lower hybrid resonance を測定することによりイオンの組成を知ると共に、6 つの周波数におけるインピーダンスを測定する。

3. 静電型粒子ビーム・プローブ 静電型エネルギー分析器と特殊二次電子増位管を組合せた粒子ビーム測定器で 0.1~20 kev のエネルギーの電子フラックス およびそのエネルギースペクトル分布、方向分布を測定する。

4. 電磁波励起実験 衛星より 100~200 KC/S の範囲のインパルス電波を放射し、衛星近傍のアラズマ、特に粒子ビームにあて、それからのサイクロトロン共鳴による電波の再放射を調べる。前記の粒子ビームの測定結果と比較してビームによる電磁波の励起の機構を調べる。

5 地球磁場変動の観測および衛星姿勢測定 感度 10^-8 G のフラックスゲート磁力搭載して地磁気変動を観測すると共に衛星の姿勢を測定する。

37

放射線帯下部の電子のエネルギースペクトル

宮崎友喜雄、竹内一、今井喬

理研宇宙線研

プロトスチック・シンチレータを用いて測定した結果を報告する。衆物は L-3H 型ロケット（2枚）である。

これらの trajectory の中上記の解析に使用できる場所を Fig.1 に示す。

3. 検出器。
薄い Al の窓。
広角のコリメータともプロトスチック・シンチレータを使用した。

入射窓厚は 5.4 mg/cm^2
である。検出しえる最高エネルギー

を変えるために、出力パルスについて波高弁別を行った。電子の薄膜透過では散乱の影響が大きく、重粒子のように飛程でエネルギーを示すことは難しいので

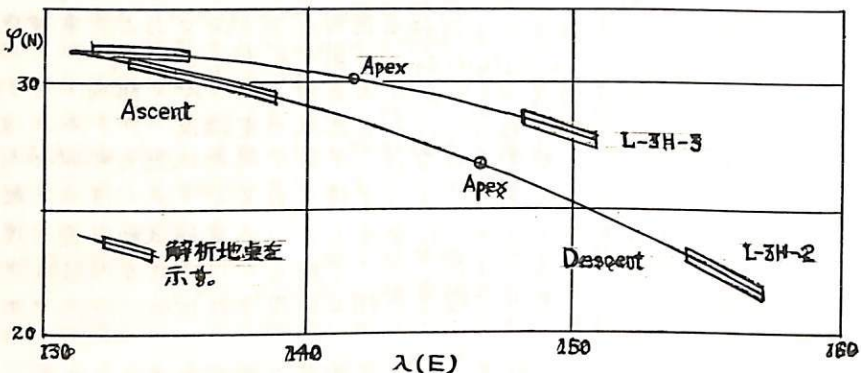


Fig. 1 Trajectory

となるよう E_c をきり、これを threshold energy といた。ここで $N(E)dE$ は微分スペクトル、 $T(E)$ は relative transmission で、入射エネルギー、波高弁別エネルギーの函数で、單色の電子線を用いて実験的にきめることができる。スペクトルは、ここでは Power law $E^{-\gamma}dE$ と仮定して、測定値を用いてみながら近似せらるることとした。

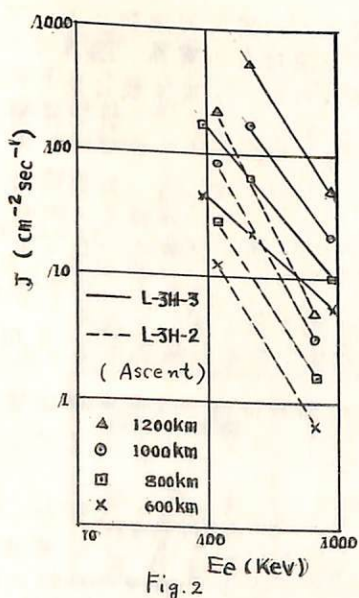


Fig. 2

3 測定結果。

前の学会で報告したように、同時に測定した Mica Window GM counter の結果 (L-3H-3)によれば、磁力線に対する Pitch Angle Distribution が著しいようであるが、ここでは $N(E)dE$ は相当部分が含まれるような方向についての平均的を値（生の値）を用いてスペクトルの形を手すと Fig. 2 のようになる。即ち Power law 近似では、積分スペクトルとして $\gamma = 1 \sim 2.5$ となる。磁力線に垂直な方向について云えば flux はもう少し大きくなるであろう。

L-3H-2 と L-3H-3 の測定では、略同じ條件で測定を行っているが顯著な差がある。測定は殆ど同じ場所で行われているので、この差は多分時間変化と思われる。

38

5577 Å の強度変化と超高層の温度変化

岩坂泰信
東京大学 理学部

高度 100 KM Region における力学的な研究が、近年さかんにロケット観測によって行われているが、特に 100 KM Region の乱れの成分については、Vertical scale として 10 KM 前後、Horizontal scale として数 100 KM という報告が多い。

一方 5577 Å は力学的な運動のトレーサーとして考えられるのだが、この線の強度変化をみるとどうに小さな乱れを考慮するかが都合が良いうように思われる。今回は、前回に引きつづき、この乱れ層を大きな化序反応系としてあつかった場合、系の温度変化と $n(0)$ の変化のむきかつきについて若めてみる。特に温度は系の化序反応熱と、その逆化序反応 ($n(0)$ の変化) とむすびつけてみるが、この領域の Viscosity が急速に増すことか、乱れを熱に又 Hines の言う Internal Gravity Wave のエネルギーが熱と交換するため、熱的にほきゆみて複雑なようすを示してみると考えうる。

39

[OI] 5577 Å 輝線 および 5300 Å 連続スペクトルの

ロケット観測

* 古畠正秋：中村強：^{*} W. STEIGER ^{**}
* 東京天文台 ** ハワイ大学

1966年12月10日夜の K-10-2 に光電測光機を載せて測定した結果である。このロケットでは 4500, 5300, 5577 Å の 3つの波長について上方および下方に向けて測定したものである。上方に向けたものは主として星跡光の輝度および色指標の測定を目的としたものであつて、この測定は現在進行中である。5577 および 5300 Å の測定から夜光の強度が測定できたので、その結果を報告する。5577 Å については従来のアメリカ (White Sands) 及び秋田にて測定した高さより數 km 低い値が得られた。これは今回の測定が最も低い緯度で行われたためであるかとも思われる。下方向けの測定には地表面におけるアルベドの影響が入っているが、アルベドの値として 0.30 を採用したものがよく一致した結果を得られている。

40 静穏時 F 2 層の形について

平尾 邦雄
東大宇宙研

I Q S Y期間中に2基のK-9Mロケットと3基のシロケットによって電離層の荷電粒子密度の観測が行われた。このうち3回の観測は12時から14時の間で、2回の観測が17時の夕方であった。この5回の観測結果を比較すると夕方のシロケットの結果を除いて他の4回の結果は200 Km以上で非常に似がよっている。例外的なシロケットの結果も絶対値はやゝ小さいが、その分布の形は非常に似ている。それでこの5回の観測値を使って平均的なF層を求めた。

一方この中に用いられたK-9M-20は略200 KmがXUVのShadow lineになるという特殊な時間をえらんで実験が行われた。K-9M-20による実験結果から見るとShadow lineは195 Kmであったと考えられる。更にこのShadow lineの極く近傍の電子密度の減少度から再結合係数を求めるとき 1×10^{-7} という大きな値が得られる。太田大林両氏によつて得られた同じ資料から得られた再結合係数は $3.4 \times 10^{-8} \text{ cm}^3/\text{sec}$ であるのでこれにくらべるとかなり大きな値であるが、両氏によつて求められた値は180 Km以下の電子密度が略一定の所のデータを用いて得られたものである。ここで求めた値はShadow lineのごく近くの電子密度のデータを用いて得たものであるから二つの値を直接に比較することは困難であるが、再結合係数を求める時には、再結合以外の諸条件を更にくわしく吟味する必要があることをSuggestしていると考えられる。

41

E領域内における有効再結合係数の一考察

電波研究所 矢 沢 利 之

E領域内の有効再結合係数の値は従来色々な方法により求められており、それらの間には大きな食違がある。E層電子密度の時間的変動を、即ちE層最大電子密度の変化における極大時刻の正午からおく丸(E層のSluggishness)、その日変化の形の正午のまわりの非対称性、日食の際のE層最大電子密度の時間的変化、日没後のE層電子密度の減少率の割合、太陽フレアの際のE層電子密度変化などから求めると、大体 $0.5 \sim 4 \times 10^{-8} \text{ cm}^3 \text{ sec}^{-1}$ の範囲の値が得られるが、普通は $1 \times 10^{-8} \text{ cm}^3 \text{ sec}^{-1}$ の近辺の値が多いようである。一方太陽輻射のロケットまた人工衛星観測結果に基づいて推定されるE領域内の電子生成率が等しい電子消滅率と釣合うためには、有効再結合係数は $1 \times 10^{-7} \text{ cm}^3 \text{ sec}^{-1}$ の程度になりねばならないことが見えてくる。またE領域内の主要なイオンと考えられる NO^+ や O_2^+ イオンの再結合係数は実験室での測定によればそれらが 5×10^{-7} より $2 \times 2 \times 10^{-7} \text{ cm}^3 \text{ sec}^{-1}$ の程度である。このような食違の正説明するためには、前回の報告では基底状態にあり3イオンと励起状態にあり3イオンとでは再結合の速度が著しく異なるものと考え、後者の方が遙かに大きい再結合係数を持つものと仮定した。その結果上記の食違いはどうやら説明できそうであったが、この仮定の下ではE層電子密度の日変化の形やその他の点で観測結果と合わなくなってしまう。今回も基底状態にあり3イオンの再結合は非常に速いが、励起状態にあり3イオンは極めてゆっくりと再結合を行なうものと仮定してみた。

基底状態から励起状態にあり3イオンの再結合係数を $\alpha_{\text{eff}, \text{bal}}$ とすれば、正午の電子密度が $1.5 \times 10^5 \text{ cm}^{-3}$ 、また全イオン生成率中の9.2%だけが励起状態にあり3イオンを生ずるとしておき、正午における全電子生成率 Q 、基底状態イオン生成率 q_0 、励起状態イオン生成率 q_1 、基底状態イオン密度 n_0 、励起状態イオン密度 n_1 、電子生成消滅のバランスから求められるとE層有効再結合係数 $\alpha_{\text{eff}, \text{bal}}$ 、E層のSluggishnessから求められるE層有効再結合係数 $\alpha_{\text{eff}, \text{slug}}$ は第1表に示す如くになる。また日没後の有効再結合係数(励起状態から基底状態へのイオンの遷移確率 A の色々の値に対して) $\alpha_{\text{eff}, \text{night}}$ は A および電子密度 N の色々の値に対して第2表に示す如くになる。第1表から遷移確率 A が 0.001 sec^{-1} の程度であれば $\alpha_{\text{eff}, \text{bal}}$ と $\alpha_{\text{eff}, \text{slug}}$ の計算値は観測値にかなり近いことがわかる。 A の二の程度の値は、2原子分子の振動励起のDeactivationの確率が1衝突当り 10^{-6} 程度であり得る=常温ではと、およびE領域

第2表 $\alpha_{\text{eff}, \text{night}}$

$A (\text{sec}^{-1})$	0.001	6×10^{-4}	5×10^{-4}	2×10^{-4}	1×10^{-4}	5×10^{-5}	
3×10^4	3.59	2.40	2.10	1.15	0.83	$0.66 \times 10^{-8} \text{ cm}^3 \text{ sec}^{-1}$	
2×10^4	5.00	3.30	2.86	1.47	0.99	0.75	" " "
1×10^4	8.75	5.80	5.00	2.40	1.47	0.99	" " "
5×10^3	14.64	10.08	8.75	4.17	2.40	1.47	" " "

第1表 $N = 1.5 \times 10^5 \text{ cm}^{-3}$, $\alpha_0 = 5 \times 10^{-7} \text{ cm}^3 \text{ sec}^{-1}$, $\alpha_1 = 5 \times 10^{-9} \text{ cm}^3 \text{ sec}^{-1}$

$A (\text{sec}^{-1})$	0.01	0.005	0.002	0.001	0.0005	0.0002	0.0001	
Q	6.88	5.14	3.23	2.30	1.74	1.37	$1.25 \times 10^3 \text{ elecs cm}^{-3} \text{ sec}^{-1}$	
q_0	6.25	4.67	2.93	2.08	1.58	1.25	1.13	" ions "
q_1	0.63	0.47	0.30	0.21	0.16	0.13	0.11	" " "
n_0	9.12	6.78	4.20	2.94	2.19	1.70	$1.53 \times 10^4 \text{ cm}^{-3}$	
n_1	5.88	8.22	10.80	12.06	12.81	13.30	13.47	" "
$\alpha_{\text{eff}, \text{bal}}$	3.06	2.29	1.44	1.02	0.77	0.61	$0.55 \times 10^{-7} \text{ cm}^3 \text{ sec}^{-1}$	
$\alpha_{\text{eff}, \text{slug}}$	7.80	3.51	1.51	0.99	0.76	0.63	0.59×10^{-8}	" "

内にあり3イオンの衝突回数が 10^3 sec^{-1} 以下の程度であることを考慮すると、無理なつもりではないよう思われる。夜間の α_{eff} の値は、(1) $A = 6 \times 10^{-3}$ と (2) $A = 6 \times 10^{-3}$ と (3) $A = 130 \text{ km}$ 以上(高さでなく距離)のロケット観測結果 (3.4×10^{-8}) とよく合っている。Aがやや小さいのは高さが高く衝突が少ないのである。

42 上層大気中の N_2 First Positive Band による
レーザ光共鳴散乱の考察

広野求和

郵政省 電波研

レーザ光の分子やダストによる非共鳴散乱を利用した上層大気成分の観測は各地で始められており、次の段階としてこれまでに遙に能率的な共鳴散乱を用いた大気微量成分の観測も次第に基礎研究やレーザ出力の強化が進められてある。さきに筆者により N_2^+ ($\lambda=9180\text{Å}$) や K ($\lambda=7665\text{Å}$) など共鳴が考察されたが、この外にも H_e^+ ($\lambda=6560.1\text{Å}$)、 N_2^+ ($\lambda=3582\text{Å}$)、 Li ($\lambda=6707.9\text{Å}$)、 O_2^+ ($\lambda=5973.4\text{Å}$)、 Na ($\lambda=5887.95\text{Å}$)、 K ($\lambda=7698.9\text{Å}$) の共鳴、 NO^* ($\lambda=8704\text{Å}$)³⁾ やここに述べる N_2 First Positive Band の検討がなされている。⁴⁾ 実験室では種々の異なるされた気体を用いた Gas Laser が繰り返し成功しているが、その中 N_2 は 1. P. と 2. P. Band とで強力なパルス駆動が成功し前者は 100W 後者は 200kW の出力が得られている。Young⁴⁾ は前者のパルス—尖頭値 100W、エネルギー 10^3erg/p. 、繰り返えし数 10^3p./sec. を用いてレーザ・レーダを作り高速電子の侵入によって生じる上層大気中の metastable state $A^3\Sigma$ における分子 [N_2^*] の存在を検出しうることを示した(以下④と略称する)。然し彼の計算には不充分な点があり又同様の観測は Raman Laser によつても行なうことができる(以下⑥と略称する)と考えられるので、これらの点を詳しく検討してみる。⑥で用いられる Raman laser はベンゼンを Ruby laser の Giant Pulse によりポンピングして得られるも $\lambda=8817\text{Å}$ (Ruby 常温)、Ruby の温度を変えることにより ±5A 位は波長可変であり、パルス幅 30ns、エネルギー 1j./p. 繰り返えし 1p./s が可能である。 N_2 分子は光電子の存在により⁵⁾ 又地球外部からの高速電子の侵入により励起されて $A^3\Sigma$ state を相当多数の分子が占有していることは予想されることで、このことは Gas laser の実験においても確かめられている⁶⁾。 $B^3\Pi_g(v'=1) \rightarrow A^3\Sigma_u(v'=0)$ の遷移によつて生じる First Positive (1, 0) Band は head が 8912.4Å であるが、今気体の温度を 2000K とすれば分子振動の外に回転、スピニ微細構造の準位等のために上記レーザの波長付近にも充分多くの ($v'=0$) 分子が存在し共鳴散乱をさせることができると Band を形成する各スペクトル線の間隔は 0.3Å の程度でレーザの線幅は約 1Å である。このようないくつかを考慮して数値計算によつて散乱の断面積を求めると $\sigma = 10^{-17}\text{cm}^2$ が得られる。⑥の場合には完全に共鳴するので $\sigma = 10^{-15}\text{cm}^2$ が得られている。 $R = 200\text{km}$ の高さ、 $\Delta h = 10\text{km}$ の分解能で 1000 秒間の連續観測によつて $S/N=10$ の条件下検出できる量は $n_t = \int_{R+\Delta h}^{R+\Delta h} [N_2^*] dh \sim 3.6 \times 10^2 / \text{cm}^2$ であり $[N_2^*] \sim 3.6 \times 10^6 / \text{cm}^3$ となる。ただし

レーザ面積は 40cm^2 、光電面量子効率は 1% とし又同時に入射する夜光は 4 photons/s とする。これは⑥に対して出した値であるが⑥に対するも略同じ値が得られる。然し⑥の場合 1 パルスによるエネルギー⑥よりも遙に多いのでパルス電力を増大すれば⑥と反対に入射光は夜光より遙に大となるので受光面積を S_R 、パルスエネルギーを $W_T/\text{p.}$ とするとき⑥では $n_t \propto S_R^{-\frac{1}{2}} W_T^{-1}$ に対して⑥では $n_t \propto S_R^{-1} W_T^{-1}$ となり n_t を増加したときは⑥が有利であり又 W_T の上限も⑥の方が遙に多いとみられるので多分⑥の方が有利であろう。このようにして観測された N_2^* の地球物理学的意義が論じられる。

文献

- 1) M. Hirano, J. Rad. Res. Lab. 11, 251 (1964), 2) G. Frerco et al. QPR No. 84 (1967)
- 3) L. J. Nugent, Nature 211, 1350 (1966), 4) R. A. Young, Disc. Farad. Soc. 32, 118 (1964)
- 5) A. E. S. Green et al. JGR 72, 3975 (1967), 6) L. E. S. Mathias et al. A.P. Letters 3, 16 (1964)

43 屋間大気光源および地球コロナ放射光源として の太陽EUV放射の性質

等 松 隆 夫
東大・理・地球物理研究施設

I 序論

水素ライマンアルファ(1216\AA)などEUV地球コロナ、および酸素 1300\AA など屋間大気光の生成機構と1つでは、太陽からの同種EUV輝線放射の地球超高层大気にすれ共鳴散乱が重要であることが知られていく。EUV地球放射の強度分布の予測等は逆にそつ高度分布から大気組成を求める場合、光源としての太陽放射について調べておく必要がある。各輝線の絶対強度については最近のロケット・人工衛星による測定で可成信頼すべきものが得られているが、スペクトル輪かく(線巾)については、水素のライマンアルファ・ベータを除いてはデータが無し。しかししながら超高层大気温度($\lesssim 3,000\text{K}$)が太陽コロナ($10,000 \sim 100,000\text{K}$)に比べて著しく低いことを考慮すると、大気放射として散乱される太陽EUV放射は線心の部分のみであり、したがって、光源(太陽)のスペクトル輪かくに依存する事になる。そのため太陽EUV輝線生成機構にたちもどって、その輪かく生成に関する推察をすることにいた。

II 太陽大気モデル

各輝線の絶対強度およびスペクトル輪かくは大気モデル、特に励起温度と光学的深さによつてきまる。ここではPottasch(Ap.J. 137, 945, 1963)の方法にしたがつて、輝線強度の既知と1つ、太陽定数(Solarabundance)および温度分布はすべての輝線についてself-consistentにするようモデルを設定した。

III 輪かくの推定

各輝線の輪かくについては、(A) 約一太気 (B) 不約一太気の兩者につき検討した。吸光係数はDoppler broadeningと仮定し、表層の乱流速度(20km/s)を使用した。この場合の吸光係数は、太陽大気モデルに適用した場合、輝線、線巾を求める目安となる。又別法としてMultiplet linesの強度比から光学的深さを推定する方法もとった。

IV 計算結果

計算はEUV大気放射研究上重要な次の輝線についておこなった。

H:	$\text{Ly}-\alpha(1216\text{\AA})$, $\text{Ly}-\beta(1026\text{\AA})$
He:	584\AA , 304\AA (He II)
O:	1300\AA , 1027\AA , 833\AA (O II)
N:	1200\AA , 1085\AA (N II)

結論としては、H Ly- α , H Ly- β , He I 584 \AA , O I 1300 \AA , 1つめではOptically thickを取扱う必要があるが、其他についてはOptically thinであり、線巾として、乱流巾とされることは多いことが分った。

44 1966年昭和基地に於ける極光活動—II
(H_α線の出現に関するて)

川喜多光子 金田葉瓶
東京大学理学部

前回の学会に於いては 1966年昭和基地に於いて行ったマイネル型分光器、及び目視に依る観測の記録から強度的には sub-visual, 形態的には non-discrete のオーロラの出現及びスペクトルの特性について述べた。
今回は更に、極光のスペクトルの中に発見される水素原子の発光に依る H_α 線 (6563 Å) の出現について、全天カメラの記録を解析に加へて得られた結果について述べる。

磁気圏から超高層大気へ突入するプロトンに依るオーロラの H_α 線はプロトンの磁気圏外部分及び極地域擾乱現象に対する重要な役割を有する時にその出現の相を知る事に依って極地域擾乱現象の種々の点が明るる若干である。近年 Montalbetti, Montbriand, Vallance Jones, Yerlashin, Galperin 等に依って極々小側面からの問題が追求されて居るが、こゝでは出現するオーロラの形態、位置、明るさ、運動等との関連に主として注目して述べる。

安井豊

地磁気観測所

松代群発地震に際しては3.4例の地震に伴う発光現象が報告され、14例のスケッチその他に黑白写真が世界で始めて撮影された2例の普通空気と8例の色彩空気が寄せられた。筆者はこれらの観測例を詳細に吟味してそのうち薄明・萬空・林紅・黄道光・流星・光華・月光・人工発光及び灯火などの誤認の可能性のあるものとすべく除き、ならしくとも18例は錯覚乃至他現象の誤認の可能性を無くものと認めた。もちろん残りの16例はこれらを含めれば他現象の誤認と断定するものとはなく、たゞ其の可能性があるところである。總括すれば次の如くなる。

- (i) 発光現象は冬期に多く、時刻的には午前4時前后と午後8時前后に多い。
- (ii) 継続時間は数十分のものが多い。発現の最初よりより急激に増加し、最盛期以後徐々に減光する。
- (iii) もっとも明るいものは発光個所より始まり而後流れ出で立てんユルリクスの開度がある。
- (iv) 発光は震前・震中・震後のどれにもあつた。これに地震の無い時に発光が無い。
- (v) 地震の後の時に発光が遅れてようやく現れる。
- (vi) 発光個所と震央は無關係があり、奇妙山一帯、大嵐山一帯、地蔵峠一帯の山腹に多い。
- (vii) 発光現象はおおむね10~20KCの空気で付随している。
- (viii) 発光現象は不連続線状の前後に周連5%以下の時に多い。
- (ix) 発光現象の形や色は色々あるが、大体は晴天の日は白色半球状のものが多く、曇天の日は帶赤色の煙光、朝靄光、帶光のものが多い。地上高度は低く、山地上せりせり數十cm程度のものがある。
- (x) 磁力計には発光現象に該当するうな短期変動が現われてゐる。
- (xi) 地震観測所場内に設置した回轉電流器による地震の電位低下が現われてゐる。

筆者の次の二点を推論した。

- (i) 発光現象の本体は直徑数十cmの端面を接地面半球光のものである。これが周囲の雪に反映すれば帶赤色、帶黄色、ピンク色の夕煙光、朝靄光、帶光に見え、雪にちぢまれる部分から光部分からの光が柱状に見え、半球光本体の位置が位わら、近くの山々と重つて観測点から見えた時に時はその上方の夕映色のみ夕煙光などに見えるのである。
- (ii) 発光個所が電位極度の大きい山腹で、特に地震時にドンドンさき出でる酸性岩露頭と凸岩の存在個所であるから、おこなふ空地電流は大きくなる。これが、(i)の発光現象の当否を接続の電離現象の現象ともなく、清水教授の地熱の理現象ともなく、但し空気中の電気現象である。
- (iii) しかし空地電流は強くないのも、それが40~50°Cの空気内で発光が生ずるとは思えない。地震に伴う大地と空気の振動や共鳴が何いかと作用して巨大な point discharge が生ずるのではないかといふが、その空気今后の地震時の電位変化を実験する二つにまつて、この探求を続けられ。

筆者によると同時に地震に伴う発光現象は存在するが、これが本当に構造不明の事も球電の生えと同じである。

46 VHF 帯電波の赤道横断伝搬と電離層および地磁気との関連性

田尾一彦 山岡誠 渡辺昭二
電波研究所

VHF 帯（主として 50 MHz）の電波が磁気赤道を超えて 5000 ~ 10000 km にも及ぶ遠距離まで日没から真夜中にかけて異常伝搬することが古くからアマチュアによって報告されてきた。その後太陽黒点極大期の 1961 年期間中には各国で実験が行われ、赤道横断遠距離伝搬（Trans-equatorial propagation: TEP）と呼称されるようになつた。1961 年の実験計画の一環として日本とオーストラリアとの間で TEP の実験が実施され本報告では 1965 ~ 1966 年の二年間にわたる受信結果について、その特性と電離層及び地磁気との関連性について述べる。送信はオーストラリア北部ケーリングウインから 32, 48, 72 MHz の三周波数が連続送信され、受信は山川電波観測所で行われている。

受信電波のフェージングは昼間と夜間とでは異なり、昼間は干涉性で夜間は散乱性である。日変化については 32 MHz では夏季は 16 ~ 18 時ごろ受信率が極大となり、春、秋の季節は 14 ~ 16 時および 20 ~ 23 時頃に極大がある。48 MHz と 72 MHz については昼間は殆んど受信されず、日没から夜間にかけて受信される。季節変化については各周波数とも equinox の頃に極大となる。これらの受信特性は赤道地域の電離層の諸特性と非常に関連があり、両者の関係を調べるために伝搬路中央に近いフィリップ島のマニラで観測される電離層の資料を解析してみると 32 MHz の受信率と $f_0F_2 > 8 \text{ MHz}$ の回数との相関は 14 時から 19 時にかけては極めてよく、更にマニラから南北 15° 位の所には所謂赤道異常として知られる高電子密度領域があり、電波はこれらの赤道異常に支配され F モードによつて伝搬するようと考えられる。夜間の受信信号は赤道地域の F 層の上昇、スプロード F などと関連がある。地磁気擾乱日には電離層の要素も複雑に変化しそれがまた TEP の受信率にも著しい影響を与える。これらについての議論を述べる。

47 Back scatterによる電離層の観測（1）

橋詰庄一郎 徳田八郎衛
防衛省技術本部 オン研究所 飯岡支所

尖頭電力約 40 kW、周波数 25.54 MHz の back scatter を製作し、これによる電離層の観測を 9 月より、千葉県海上郡飯岡町において実施している。空中線は 5 素子 4 段並設のハムアンテナを回転駆動させ、完全同期信号処理方式（ideal coherent detection system）を使って S/N 比を改善し、40% までのドップラー成分を有する信号を抽出できる。現在までに観測された結果について報告する。

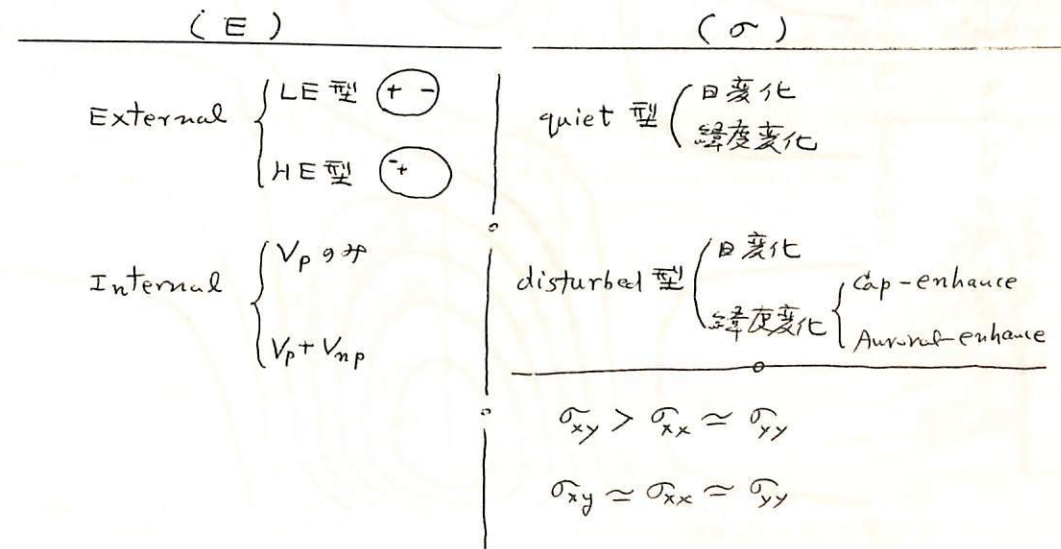
48 極地電離層電流に対する数値実験(1)

前田 坦
(京大・理)前川 久一郎
(京大・理)

極地方での地磁気擾乱は主として電離層電流によって起こされるものとみられる。この電流を起こす起電力に関して今まで二つ考え方がある; 一つは電離層の風によるクライモ作用、他は磁気圏から伝わる電場である。この中前者は 1960 年以前に主として日本でくわしく調査されたが結果は、これまでには複数事実の説明が大へん困難と云うことになった。1960 年以後には後者のがい同時に多くの人々によってしげらわれた。その内定量的にまとめて計算したのは disturbed を主張とした Fejer (1964) と、最近 quiet を主張した Iwasaki & Nishida (1967) である。

これら計算結果は大へん興味深いが、計算の都合上若干不自然な仮定がある。たとえば、conductivity の同調化を省略したり、又ターゲット電流を省略したりしてある。この研究の目的は実際に起こると思われるいくつかの場合についてなるべく仮定を少く、又現実に近い仮定を用いて多くの数値実験を行ふ、観測された現象の理解に役立たせようとする。

電場 (E) と電気伝導度 (σ) との假定は次のようにある:



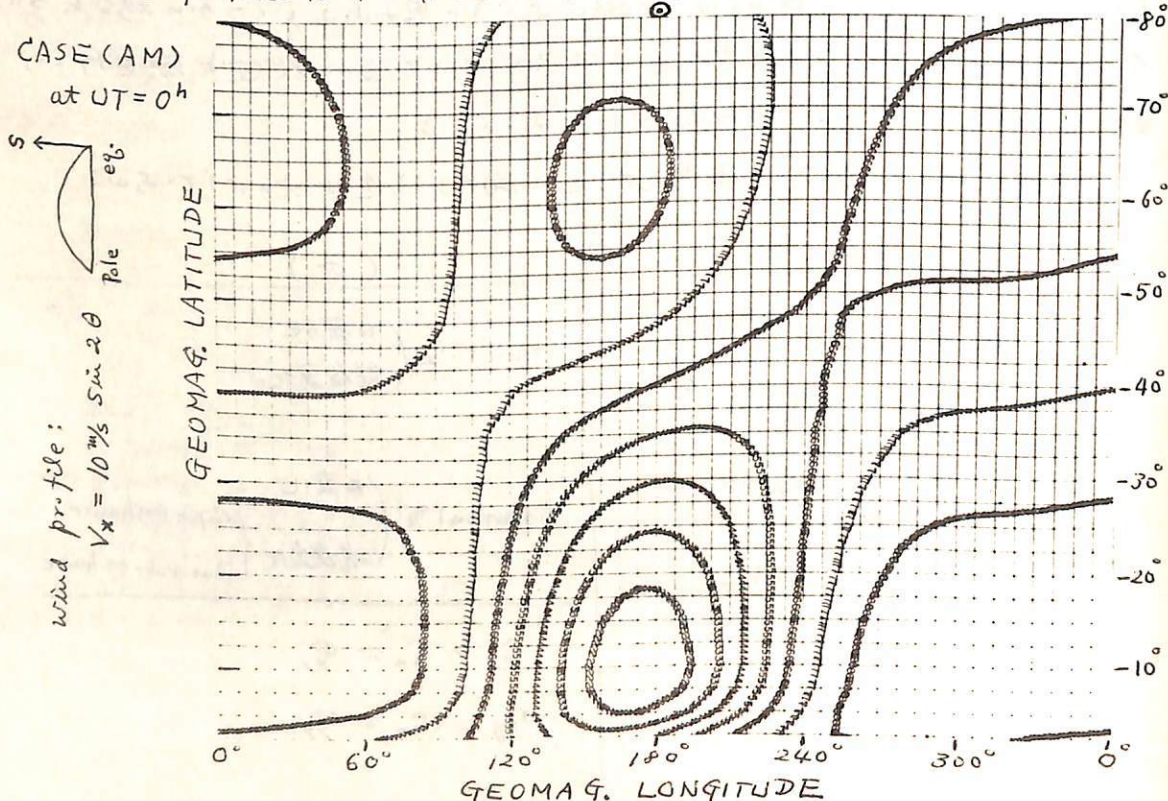
49 電離層非周期風による電流系 (1)

前田 坦, 村田 宏雄
(京大・理) (岐大・工)

電離層の非周期風によって作られる電流系が、超高層のより現実的モデルにもとづいて計算された。このペーパーでは地球の回転軸と磁場とか一致しない場合について述べられ、次の結果を得た。

- 1) Universal Timeと共に変化する Sq 型の電流系が作られ、主な電流渦の強さは風と Sq 磁場を作る電流系の $1/10$ (10 m/sec の風) となる。
- 2) 非周期風の二つの成分の中、meridional 成分の方が電流系をくまうにより有効である。
- 3) 主な電流渦の出来り場所は、電離層の electric conductivity と wind velocity の両方の分布に關係する。そしてその影響の仕方は wind profile によってちがう。
- 4) 主な電流渦の強度は絶度変化し、南北アメリカ地帯で極大となり、アジア太平洋州地帯で極小となる。この傾向は Sq の一般的傾向と一致する。
- 5) 地磁気座標を用いても、地理座標を用いても得られた結果に著しいちがいはあらへない。但し電流系の形が若干ずれる。

このよじに 10 m/sec の風でおこされる電流系、したがって又地磁気変化は通常の Sq の $1/10$ 位であるから、もと算出する風をより得るかうべくして南北に無視出来るとは考えないでほしい。また風の profiles は 4つ用いらる。その一例を下に示す。



電離層におけるプラズマ拡散と上層大気
の運動

松浦 延夫
郵政省 電波研究所

電離層下領域におけるプラズマ拡散に及ぼす中性大気の影響とコリオリ力の効果について論じ、更に上層大気の東向きの Zonal Motion の定量的な説明を試みる。

下領域における荷電粒子は重力を受けて磁力線に沿って下方に拡散する。この際、ion-drag は Dougherty (1961) によって議論されていゝまことに中性大気の運動を引き起す。中性大気の運動の速さは、拡散速度と同程度で約 100 m/sec である。中性大気の運動によつて少しあくコリオリ力は荷電粒子に少しあく重力と同程度の大きさとなる。つまり、 $f_e g / f_n V_0 \omega_0 \sim 1$ である。ここで f_e と f_n は夫ロ荷電粒子と中性大気の密度で、 V_0 は拡散速度、 ω_0 は地球の自転角速度 ($2.2921 \times 10^{-5} \text{ sec}^{-1}$) である。従つてプラズマ拡散の問題には ion-drag の効果と同時にコリオリ力を考慮する必要がある。

上層大気についての運動方程式を次の様に簡単化或は仮定を設けて解く。

(a) 上層大気は中性大気、イオンと電子との間の混合力学である。

(b) 定常状態で且つ経度方向には状態は一様である。

(c) 地球磁場は centered dipole field で、その軸は自転軸と一致している。

(d) 磁力線は文々固体の軸に軸のまわりに回転する。

(e) 二次の慣性項および粘性は省略する。

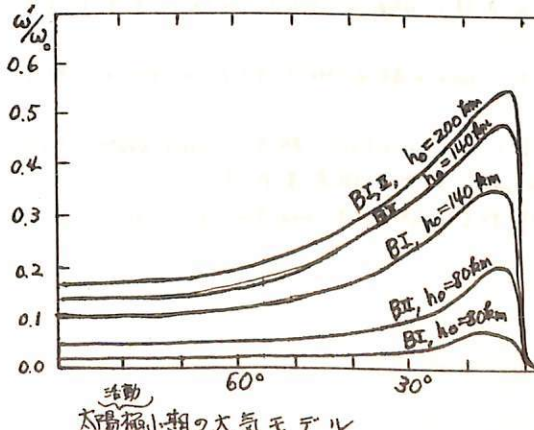
(f) 荷電粒子に少しあくコリオリ力は省略する。

(g) 中性大気の沿直方向の運動は抑制される。

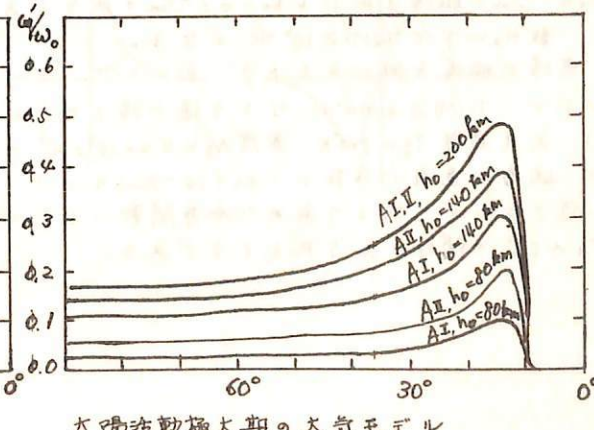
(h) 沿直方向の電流はあるレベル h_0 で零である。 $(h_0 = 80, 140, 200 \text{ km})$

更に、 $\operatorname{div} \vec{J} = 0$ を満足するためには、夫ロの Magnetic shell を通過する電流の総和が零でなければならぬ (Gauge の定理) から、この条件を用ひると夫ロの Magnetic shell の地球に対する相対的な回転の角速度がわかる。附図には相対的な角速度 ω' と Magnetic shell の Invariant latitude との関係が、2つの大気モデルについて示されている。

結論として、正層の電子密度が 10^4 cm^{-3} 以下ならば (夜間)、この機構によつて King-Hele (1964, 1966, 1967) が示していゝ上層大気の東向きの Zonal Motion の説明でえりうである。



太陽極小期の大気モデル



太陽活動極大期の大気モデル

上山 弘

磯 彰夫

東北大理學部

電気通研

電離層中のエネルギーの伝播、損失を微視的に理解するため、熱的・非平衡なアラズマ粒子を統計力学的に取り扱い、電子温度を計算した。弱電離アラズマ中の電子に関するボルツマンの方程式を解き、電子の速度分布関数が、外部電磁場、大気の温度、衝突過程などに依存するかをあきらかにした。解析の結果、電子の速度分布は

$$f^{(0)}(v) = A \exp \left\{ - \int \frac{\{m(\sum \frac{v_i^2}{M_j})v + (\sum \frac{8W_j v_i^2}{m})\frac{1}{v}\}}{\frac{1}{3}(\frac{e}{m}\frac{E_0}{\sqrt{2}})^2 \left[\frac{(\omega^2 + v^2)(\omega^2 + v^2 + \omega_H^2) + \omega_H^2(v^2 - 3\omega^2 + \omega_H^2)(E_{\parallel}/E_0)^2}{(\omega^2 + v^2)\{(\omega^2 - \omega_H^2)^2 + v^4 + 2v^2(\omega^2 + \omega_H^2)\}} \right] v + \sum \frac{kT_j v_i^2}{M_j}} \right\}$$

となる。従って電子温度は、 $\frac{1}{3}Nm\bar{v}^2 = \frac{1}{3}Nm\bar{v}^2 + NkT_e$ の定義を用いて

$$kT_e = \frac{1}{3} \left(\frac{e}{m} \frac{E_0}{\sqrt{2}} \right)^2 \left[\frac{(\omega^2 + v^2)(\omega^2 + v^2 + \omega_H^2) + \omega_H^2(v^2 - 3\omega^2 + \omega_H^2)(E_{\parallel}/E_0)^2}{(\omega^2 + v^2)\{(\omega^2 - \omega_H^2)^2 + v^4 + 2v^2(\omega^2 + \omega_H^2)\}} \right] \frac{v}{\sum \frac{v_i^2}{M_j}} + \frac{\sum \frac{kT_j v_i^2}{M_j}}{\sum \frac{v_i^2}{M_j}}$$

但し $v_i^2 = 0$, $v = \text{constant}$
である。

m: 電子質量.

 M_j : j と同一中性粒子の質量

v: 電子の速度.

v̄: 平均の電子の速度.

 v_i^2 : 電子と j 粒子の弹性衝突周波数. $v̄^2$: ($= \frac{1}{3} v_i^2$) v_i^2 : 電子と j 粒子の回転励起衝突周波数. W_j : j 粒子の rotational const. T_j : j 粒子の温度. $\omega_H = \frac{eB}{m}$: 電子のサイクロトロン周波数.

k: ボルツマンの定数.

 $E = E_0 \cos \omega t$: exciting electric field.

結果 (1) N_e の弹性衝突、回転励起を考慮して、得られた分布関数は、Maxwell 分布 Druyvestine 分布と異り、0.2 eV 附近でくぼみと、豊富な high energy tail とによって特徴づけられる。

(2) Maxwell 分布を仮定した場合の電子温度 $T_e(M)$ は、高度 200km で、exciting electric field が、磁場に垂直なとき サイクロトロン周波数 ω_{ce} 附近のみで著しく上昇し、 $E_{\perp} = 1 \text{ mV/m}$ とすると、 $T_e(M) = 10^6 \text{ K}$ に達する。

$E_0 = 1 \text{ mV/m}$ で磁場方向に $E_{\perp} = 0.1 \text{ mV/m}$ の成分があるときは、 ω_{ce} で $T_e(M) = 10^6 \text{ K}$ に達する。数 Hz 以下で $T_e(M) \geq 10^4 \text{ K}$ となる。

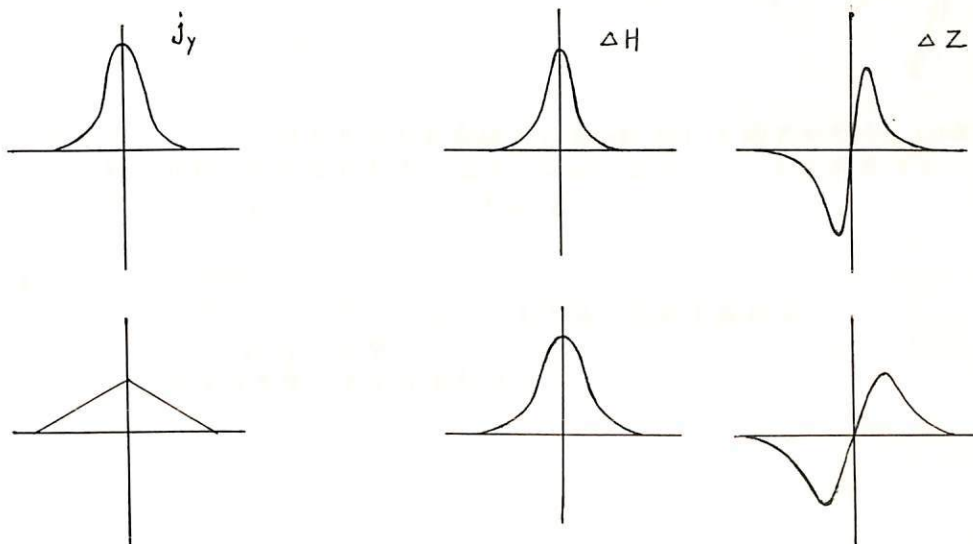
電場が磁場方向にあるとき、 $E_{\parallel} = 1 \text{ mV/m}$ とすると、 ω_{ce} = 数百 kHz で $T_e(M) = 2500 \text{ K}$ 、数 Hz 以下で、 $T_e(M) \geq 6000 \text{ K}$ などの値が得られる。

(3) 大気温度 $T_g = 910 \text{ K}$ 、密度 $N_g = 4.4 \times 10^9 \text{ cm}^{-3}$ の場合(高度 200km に相当) static electric field が、磁場に直角に存在し、 $E_{\perp} = 10 \text{ mV/m}$ のとき Maxwell 分布を仮定すれば、 $T_e(M) = 1500 \text{ K}$ に過ぎないが、我々求めた分布関数にしたがえば $T_e(\text{elast} + \text{rot. exc.}) = 18000 \text{ K}$ に達し、 T_e と E_{\perp}^2 の関係がみられるようである。

52 赤道地方のジェット電流構造について

前田 坦, 鈴木 亮
(京大・理) (京大・理)

赤道地方のジェット電流の構造に関して Sugiura (1966) は $j_y = \alpha_{yy} E_y$ の近似でくわしい計算を行って、赤道地磁気変化の経度変化の説明を試みた。しかし、この近似は赤道のごく近くでしか適用されないことが K. Maeda (1965) によって指摘されており、最近 Davis et al (1967) によるロケット観測の結果はやはり K. Maeda によって指摘されたように赤道のかなり近くから α_{xy} の影響を考慮に入れないとい観測へのあわはないと結論している。我々は別の立場、即ち地上で観測される地磁気の変化 (ΔH と ΔZ) から、ロケット観測と同じような結論にたることを見つめた。つまり、もし $j_y = \alpha_{yy} E_y$ とすると、これからできる地磁気の ΔH と ΔZ とは観測とあわない。観測とあわせるためには、 j_y の緯度分布をほぼ三角形に近いようなり、くりした分布にしなければならぬとの結論を得た。このことは $j_y = -\alpha_{xy} E_x + \alpha_{yy} E_y$ として電流分布を考えなければならぬといいう事である。この式を $j_y = [-\alpha_{xy}(E_x/E_y) + \alpha_{yy}] E_y$ と書いて、前に求めた E_x, E_y を使って j_y の緯度分布を計算すると、やはり三角形型の分布が得られた。従ってロケットで観測された結果と同じ結果が地上の観測からも得られるわけである。今後は jet 電流の分布に $j_y = \alpha_{yy} E_y$ の近似は使えない。

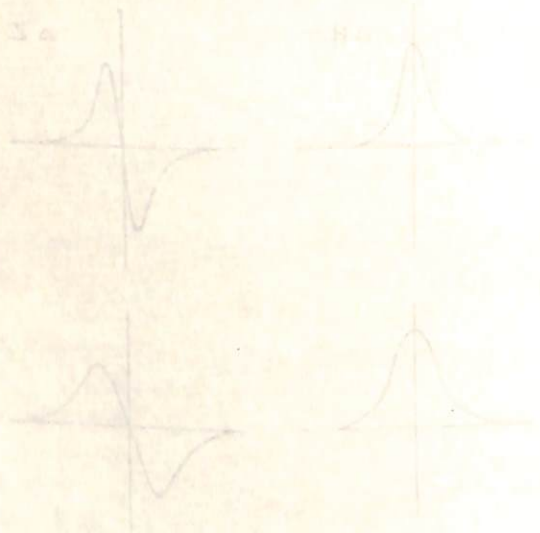


53 地磁気日変化の一解析法とその結果について (2)

鈴木亮 前田坦

(京大・理) (京大・理)

春の学会で地磁気日変化を解析する一つの簡便法を述べた。その意図するところは Gauss の方法において生じる赤道附近の磁場のようすを局所的なものを限られた数の球函数で表わそうとするための不正確さを除き、一方正確ではあるが手数のかかる表面積分法の長所をとり、簡単かつ十分正確な解析をしようとしたところにあった。具体的には、磁場を赤道ジエットによる影響である部分とそれ以外の部分とに分けてそれを別々の方法で解析し、あとで合成するという方法であった。今回の講演においてはその具体的な方法と若干の結果について報告する。



54 $Pc1$ Micropulsation の高緯度地方から低緯度地方への伝播

加藤愛雄 田村和士
東北大学理学部地球物理学教室

電離層内の下層附近に、電離流体波をよく guide する領域がある。この duct での減衰は夜間は小さいが、昼間は大きいので夜間に多く伝播する。この事は $Pc1$ Micropulsation が夜間に多く中緯度や低緯度に観測されるという事とも関係がある。今回の計算では約 0.5~5 % の電離流体波が何らかの経路によって高緯度地方の下層内に侵入した時に、その波がそこでどの程度の角度を持つならば考えている duct を透過する事なく中緯度地方へと伝播してゆけるかを求める。

仮定 (i) 磁場は垂直上向きに一様である。

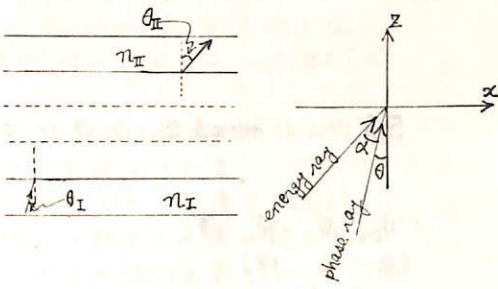
(ii) 大気組成は H^+ , H_e^+ , O^+ , e , N_2 , He , H , O , O_2 で水平内では各成分密度は一様で高さによってのみ変化する。

$$n_{II} \sin \theta_{II} = n_I \sin \theta_I = \text{const.} = \delta \quad \dots \dots (1)$$

$$n^2 = \frac{B - F}{2A} \quad [\text{Stix, 1962}] \quad \dots \dots (2)$$

(i) と (2) より $\sin^2 \theta_{II}$ の値が求まる

$$\cos(\lambda + \theta) = \frac{\sqrt{1 - \sin^2 \theta} + \frac{1}{2} \frac{\sin^3 \theta}{\delta} \frac{\partial n^2}{\partial \theta}}{\sqrt{1 + (\frac{1}{2} \frac{\sin^2 \theta}{\delta^2} \frac{\partial n^2}{\partial \theta})^2}} \quad \dots \dots (3)$$



各点での値を入水して、(3)の値を求めると各点での energy ray の傾きが判る。(3)式が零となる点で波は反射されるのであるから波が duct に guide されるかどうかを判断するには duct 中で (3) 式の値が零となる点があるかどうかを見ればよい。

計算における今後の課題は

- (i) 一波長内で屈折率が大きく変化することを考慮し近似を高める
- (ii) ordinary mode との coupling を考慮する。
- (iii) 水平面上で大気組成密度の変化を考慮する。

5.5 地磁気 S_g の地域的差異

太田征次郎
京都大学 教養部

地磁気 S_g 変化の型態は地球内部の電磁気的性質によって異常地域がある。磁気計の開発によって才の術まで議論するようになると、磁気測量の整理に関する問題、地磁気変化論での基準の問題などに必要なため、地磁気変化の地域差をより調査していく必要がある。この報告では磁気測量の資料、常設観測所の資料などによって S_g の地域差を表現し、併せてその原因を追究しようとするものである。

プロトン磁力計による観測資料は全磁力に重点をおかなければならぬ。このために資料として全磁力の変化型態について日本各地の全磁力の変化型態について調査した。その結果、航空磁気測量による磁気異常（これは 30 km. メートルの深さに起因すると考えている）と関係あるように見える。このことから S_g 変化異常のなかには磁気誘導の考え方を入れることが出来る。

5.6 地磁気 日変化 磁場の解析

安原通博
(京大理)

1958 年以降の太陽活動下降期に於ける地磁気日変化の逐年の変化について解析を試みた。

資料の取扱いについては、1) selected five days 或は ten days では、擾乱の影響が不均一に入る恐れがあるので、特に all days の年平均を用いた。2) 赤道附近の値については、特に Jarvis Is. は、三つの赤道（地理、地磁気及び磁気赤道）が略一致している点であるのでこの地域については赤道値の標準とし、他の地域については、中緯度からの変化の傾向を考慮に入れた。

結果の處理にあたっては、球面調和係数により、更に potential を満足させるための一つの試みを行つた。

以上の結果、1) 1958 年から 1964 年までの間に、例えは $A_1(X)$ については約 40 % に減少した。2) しかし各係数の逐年の変化は必ずしも同一の傾向でない。

3) アフリカ地域の赤道附近に於ける値はかなり小さく、零の二とか分った。

57 中・低緯度における DS の変動

永井正男
地磁気観測所

杉浦によつて求められた 1 年間中における Equatorial Dst の毎時値を用ひ、Dst の大きさは各観測所における地磁気緯度中の cosine に比例するとして、女満別 (Lat. ϕ 34.1, Long. Λ 208.3) 柳岡 (Lat. ϕ 26.0, Long. Λ 206.0) 底屋 (Lat. ϕ 20.7, Long. Λ 198.1) 3ヶ所の DS を 5 摘乱日から求めた。又このようにして求めた 柳岡における DS と、Dst が 0 と考えられた Thule (Lat. ϕ 88.0 Long. Λ 0.0) における DS の値とを比較し、次のような結果が得られたので報告する。

1. 柳岡における DS の Amplitude は 19° で、午前は +、午後は - を示し Max は LT 9 時、Min は LT 19 時にあらわれ、横内によつて求められた SD ($19^{\circ}25' \sim 19^{\circ}51'$) によく一致している。
2. 女満別、柳岡、底屋 3ヶ所における DS の Amplitude の平均の値はそれぞれ 16° , 19° , 21° で、Max 及び Min のあらわれた時刻はほぼ一致している。
3. 柳岡における DS と Thule における DS との Amplitude の比は大約 $\frac{1}{10}$ で、位相は 4~5 時間 柳岡における DS の方が進んでいる。
4. Dst と DS の関係は、Dst が大きくなるに従つて DS も発達する傾向が見られるが、個々の地磁気嵐によつてその比には相当の差異が認められる。特に Dst が 100° 以下の地磁気嵐においてこの傾向が著しい。

竹屋芳夫 村川亨男 奥本隆昭 堤 四郎 福原敏行

(大阪市大工)

松本治弥

(神戸大工)

電離層の風の観測法として各種の試みがなされ相応の成果が得られましたが、その場合の風の観測については有効な方法が少なくてその開拓が望まれている。

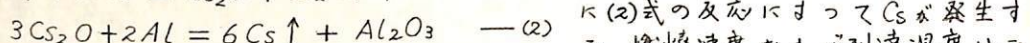
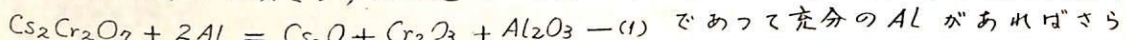
ロケットによって放出されたアルカリ金属蒸気は太陽光紫外領域にすつて電離をうけ人間的な電子の雲を作る。これを地上より反射して電波で追跡して電子雲の位置、拡散状態、電子密度等の時間推移を知り電離層中の風と共に irregular 現象の解明を行なうものである。特に碰撞場における荷電粒子の運動については他の中性ガスの資料と併せて興味ある結果が得られるものと期待される。

観測実験を実施するに当つては鹿児島内之浦での既存の施設を利用し本法の有用性と将来的観測体制を探ることを目的として計画立案と検討を行なった。

1. 電波観測 — Ionogram すりの送信電波（搬送周波数 0.55~20 MC, パルス波掃引方式）の電子雲による反射および散乱波を数台の同期受信機によつて受信する。受信アンテナは広帯域対数周期アンテナを用いる。これによれば上記周波数に亘り 10 db の利得が得られる。また可変同調型受信機で受信し連続撮影装置に記録する。電子雲検知の限界としては受信地底での電力密度を $5 \times 10^{-11} \text{ W/m}^2$ 必要とすると送信出力 10 kW に対して散乱断面積 σ は $8 \times 10^3 \text{ m}^2$ あれば良いこととなる。いま放出高度をパラメータとして電子密度の変化を下図に示した。

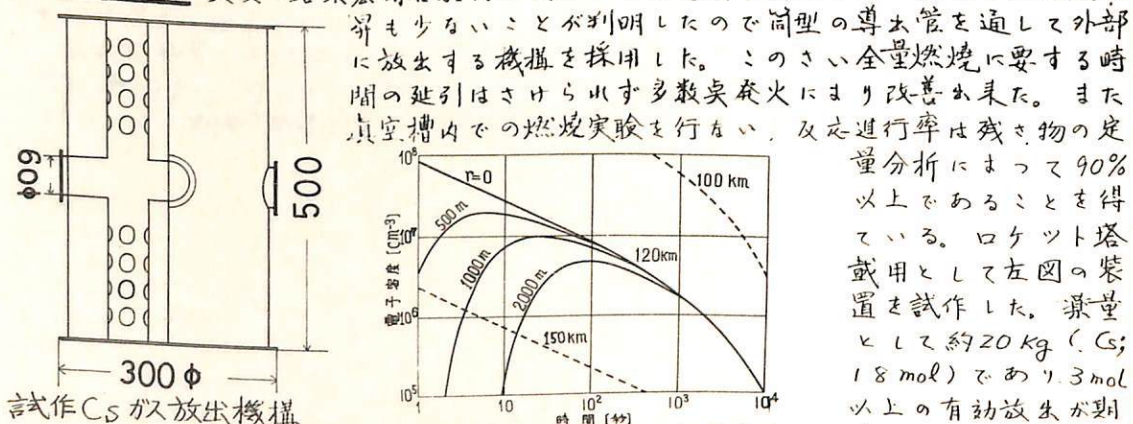
2. 電子雲材料と放出方法 — 各アルカリ金属の太陽光紫外領域に対する電子生成率は単位重量当たり Cs が最も高く、これを短時間に大量に気化させるための化学組成および燃焼機構について実験により検討した。

a. 薬品組成および反応式 安全性と有効率の増大を主眼としてテルミットの燃焼熱によつて重クロム酸セシウムを還元して Cs ガスを発生させる。(1) 式は還元方程式



ルミットの組成および混合方法によつてかなり影響をうけ温度および容器内圧力測定、真判定等によつて最良の条件を見出した。

b. 放出機構 実験の結果密閉容器内で反応させた場合未反応のまゝ放出され温度上昇も少ないことが判明したので筒型の導管を通して外部に放出する機構を採用した。このさい全量燃焼に要する時間の延長はさくらんば多數卓発火により改善出来た。また真空槽内での燃焼実験を行い、反応進行率は残さ物の定量分析によつて 90% 以上であることを得ている。



ロケット塔或用として左図の装置を試作した。質量として約 20 kg (Cs; 1.8 mol) であり 3 mol 以上の有効放気が期待される。

電子雲のレーダ断面積

00

松本 治 弥
(神戸大学 工学部)

電子密度が中心部を最大として周辺にむかってガウス分布をする電子の雲に対するレーダ断面積は次式で与えられるることはすでに発表した。

$$\sigma = \frac{\pi^2}{4} \left(\frac{\Delta N}{N} \right)^2 \left(\frac{f_p}{f} \right)^4 \left(\frac{2\pi}{\lambda} \right)^4 \alpha^2 L^6 \exp \frac{L^2}{2} \left(\frac{2\pi}{\lambda} \right)^2 D(\theta, \theta_0, \theta_1) \quad (1)$$

$$D(\theta, \theta_0, \theta_1) = (1 - \alpha^2)(\cos \theta + \cos \theta_1)^2 - 2(1 + \cos \theta_0) \quad (2)$$

ここで N は電離層(あるいは一般に周辺の均一媒質)の電子密度、 ΔN は雲の中心における電子密度増加分、 f_p は N に対応するプラズマ周波数、 f 入は電波の周波数および波長とする。また L は回転だ円体の円形部の半径、 α は軸径とし、 $\theta, \theta_0, \theta_1$ はそれぞれ観測方向と軸方向、入射波方向とのなす角で、 θ_0 は軸方向、入射波方向の角である。

特に電波の入射方向と観測方向が一致する場合は $\theta_0 = 0, \theta = \theta_1$ で

$$D = 4 \{(1 - \alpha^2) \cos^2 \theta - 1\} = -4 \{\alpha^2 \cos^2 \theta + \sin^2 \theta\} \quad (3)$$

雲が球形の場合は $\alpha = 1$ 、また球形でなくとも入射波方向が軸方向と直角の場合には $\theta = \frac{\pi}{2}$ で、いずれも $D = -4$ となる。

電波の周波数が一定のとき最大の σ を与える L は (1) 式より

$$L = \frac{\lambda}{2\pi} \sqrt{\frac{6}{-D}} \quad (4)$$

と求められ、このときの σ は

$$\sigma_{\max} = \frac{1}{2} \left(\frac{\Delta N}{N} \right)^2 \left(\frac{f_p}{f} \right)^4 \left(\frac{3}{-D} \right)^3 \lambda^2 \alpha^2 \exp(-3) \quad (5)$$

以上の式より、特にロケットより放出された人工電子雲に対する電波の反射波の諸特性を検討する。

60 K-9 M-18号機による磁場測定結果及び

GA シミュレーターについて

加藤愛雄、青山巖、遠山文雄
東北大学 理学部

フラックスゲート型磁力計をロケットに搭載して、電離層内の磁場測定及びロケットの姿勢測定を行なつてゐるが、今回は、K-9 M-18号機によって得られた電離層の磁場測定の結果及びロケットの姿勢測定結果を迅速に算出する為に試作したシミュレータについて述べる。

i) 電離層内の磁場測定

K-9 M-18号機に搭載したフラックスゲート型磁力計は、K-9 M-7号機において初めて電離層内磁場を測定した磁力計と、ほぼ同じものである。二成分方式で、各成分共に、磁場測定範囲を自動的に選択して、測定精度を上げる事を目的としている。磁場測定に於ける検出感度は、約±1%である。測定は、ほぼ全飛行時間にわたって行われ、ロケット上昇時においては、開頭後、高度 101 kmより、全磁力に対して約 20% の変化を検出した。又、下降時における変化は、明瞭ではないが確かめられた。

したがつて、電流系の存在については明らかになつたが、この分布状態を磁場の三成分の点から測定する事が要請されるので、この計画についても述べる。

ii) ロケットの姿勢シミュレータ

ロケットの姿勢測定は、現在まで約40回行い、2~3回程完全なデータがとれなかつたが、他はすべて目的を達する事が出来た。彼れどう回数の増加に伴つて、データ処理の一環として、シミュレータを試作して、ロケットと地球磁場とのなす角度(θ)を計算する様にした。装置は座標変換計算機の一種であり、これを用いる事により、リアルタイムでロケットの飛行する姿勢を知る事が可能となる。

この測定結果について二、三述べる。

宮崎成、森弘隆
電波研

今1年5月の學會で述べた如く、従来電離層プラズマの諸量(密度、温度、イオン質量、混合比等)の測定は各々別々の測定電極によるもので行われてきいたが、プラズマ諸量の精密な相互比を求める場合とか、複数の種類のイオンが存在する場合には同時に同時測定を行う必要がある。従ってトランプ方式の複数の電極を有する單一の電極系でプラズマ諸量を同時に測定する Self-consistent 测定は困難ではない。前回は平面電極での簡単な場合について述べたが、ここでは種々の場合の電極の形状について主としてイオン電流の特性について述べる。

電極の形状として実際的には平面形、円筒形、球形が考えられ、更に図に示すように対向平面形、半球面形等が考えられる。次に各々の場合における Retarding Potential におけるイオン電流一定圧特性及び微分イオン電流一定圧特性について示す。



種々の測定電極

[平面]

$$\begin{aligned} i_i(V) &= i_{i0} \left[\exp \left\{ -\left(\frac{V_r - V_p \cos \theta}{V_p} \right)^2 \right\} + \frac{\sqrt{\pi} V_p \cos \theta}{V_p} \left\{ 1 - \operatorname{erf} \left(\frac{V_r - V_p \cos \theta}{V_p} \right) \right\} \right] \\ &= e^{\frac{M V_r^2}{2}} = eV \quad V_p = \sqrt{\frac{2 k T_i}{M}} \quad i_{i0} = S N_i e \sqrt{\frac{k T_i}{2 \pi M}} \quad \operatorname{erf}(x) = \frac{2}{\sqrt{\pi}} \int_0^x \exp(-s^2) ds \\ \frac{di_i(V)}{dV} &= -\frac{i_{i0}}{V} \left(\frac{V_r}{V_p} \right)^2 \exp \left\{ -\left(\frac{V_r - V_p \cos \theta}{V_p} \right)^2 \right\} \end{aligned}$$

[円筒]

$$\begin{aligned} i_i(V) &= 2e N_i l \gamma_p \sqrt{\frac{2 k T_i}{M}} \int_0^\infty S^2 \exp \left(-S - \frac{eV}{k T_i} - \alpha_o^2 \right) I_0 \left(2 \alpha_o \sqrt{S + \frac{eV}{k T_i}} \right) dS \quad \alpha_o = \frac{V_p \cos \theta}{V_p} \\ \frac{di_i(V)}{dV} &= +2e^2 N_i l \gamma_p \sqrt{\frac{2}{k T_i M}} \exp \left(-\alpha_o^2 - \frac{eV}{k T_i} \right) \left[\int_0^\infty S^2 \exp(-S) \left\{ \frac{\alpha_o}{\sqrt{S + \frac{eV}{k T_i}}} I_1 \left(2 \alpha_o \sqrt{S + \frac{eV}{k T_i}} \right) - I_0 \left(2 \alpha_o \sqrt{S + \frac{eV}{k T_i}} \right) \right\} dS \right] \end{aligned}$$

[球形]

$$\begin{aligned} i_i(V) &= \sqrt{\pi} e N_i \gamma_p^2 V_p \left[\exp(-\alpha^2 - \alpha_o^2) \left\{ \frac{\alpha}{\alpha_o} \sinh(2 \alpha \alpha_o) + \cosh(2 \alpha \alpha_o) + \frac{1}{\alpha_o} (\frac{1}{2} + \alpha_o^2 - \alpha^2) E(\alpha - \alpha_o, \alpha + \alpha_o) \right\} \right] \\ \frac{di_i(V)}{dV} &= -\frac{e^2 \sqrt{\pi} N_i \gamma_p^2 V_p}{k T_i \alpha_o} E(\alpha - \alpha_o, \alpha + \alpha_o) \\ &= e^{\frac{V_r}{V_p}} \quad \alpha^2 = \frac{eV}{k T_i} \quad E(\alpha, \beta) = \int_a^\beta \exp(-s^2) ds \end{aligned}$$

電離層プラズマ測定の場合には複数の種類のイオンが存在するので、夫々の質量に対して上式を加えられたものについて考察すればよろしい。さて飛翔体の速度がイオンの熱運動速度に比べて大きいために上述の微分イオン電流は質量および飛翔体の速度によつて著しく特徴を示す。即ち平面電極の場合は一般的各質量に対して極大値をもつ。更に対向平面電極あるいは半球形電極を用いたことにより非弾性成分を測定できる。

* 宮崎成、電波研究報告、13巻67号(昭42.7)予定。 ** M.Kanal, J.Appl.Phys. Vol.35, No.2, p.1697, 1964.

*** G.Medicus, J.Appl.Phys. Vol.33, No.10, 3094, 1962.

RF プローブによる プラズマ空間電位の測定法

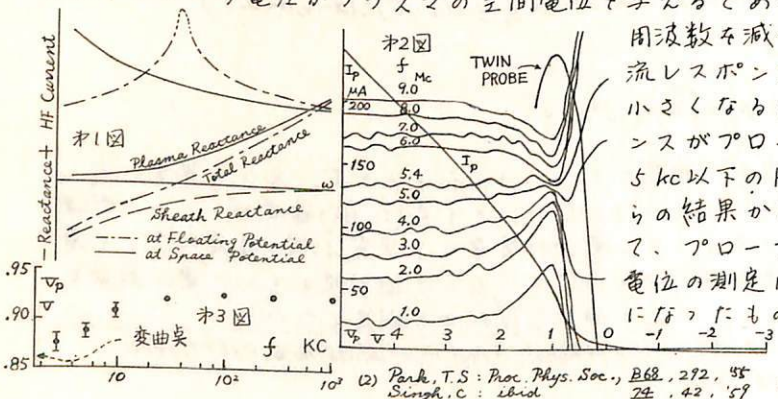
土手 敏彦 (理化学研究所)

プラズマの空間電位を求めることは非常に困難であるがその新しい試みとして先に“TWIN PROBE”法の提案を行なった⁽¹⁾。今回はプローブ周囲のシースの高周波特性を利用する空間電位の測定法について報告する。プローブ-シース-プラズマ系の高周波インピーダンスについては、レゾナンスプローブ又はインピーダンスプローブのいくつかの研究において極めて明らかにされたことは周知の如くである。これを用いるプラズマの空間電位の測定法の原理は、プローブが空間電位にある時と、プラズマに因して負又は正にあらときのプローブ-プラズマ系の高周波インピーダンス、従って一定の高周波電圧に対するプローブへの高周波レスポンス電流の差異を観測することにある。この原理に因して放電プラズマ内に発生する雑音をプローブによりピックアップする場合、プローブが空間電位にあるときにその雑音が最大になることを利用して空間電位を求める可能性について論じた研究が以前に行なわれたことがある⁽²⁾。しかしそれらの研究は定性的な議論にとどまり、その実験が空間電位であるとする物理的根拠が極めてあいまいであった。

プローブが負又は正の電位にあるときのシースのインピーダンスは、電子の速度の勾配に比例する抵抗と、変位電流成分を表わす静電容量との並列回路で与えられる。印加される交流の周波数が極めて低いときはシースのインピーダンスは抵抗だけで表わされ、プローブの交流レスポンスはプローブの静特性即ち通常のプローブ特性に直接に従う。従ってこのときに得られるプローブ電圧に対する交流電流は特性の変曲点で最大となる。微小交流のオフ次高調波が零になるのは正にこの点である。交流の周波数をプラズマ周波数近くに追加させるとシースのインピーダンスは近似的に静電容量だけとなり、プラズマ周波数で共振する反共振回路で与えられるプラズマのインピーダンスがされと直列に入りシース-プラズマ系の全インピーダンスが形成される。

プローブが空間電位にあるときは、全インピーダンスはプラズマのインピーダンスだけとなりプローブで観測されるプローブ電圧に対する高周波レスポンスは、より低い周波数の領域では最大を示し、より高い周波数の領域では却て最小を示すことになる。(オ1図)。

オ2図は水銀拡散プラズマ(20°C)で行なわれた実験結果で陽極-陰極間に印加された高周波電圧に対するプローブからの高周波電流を、周波数をパラメータとし、プローブ電圧の函数としてプロットしたものである。同図にはプローブ特性と、プローブの極く近くに置かれた小さな測定プローブ(Sounding probe)によりとられたTWIN PROBE特性も示されている。高周波電流の最大又は最小を示すプローブ電圧がプラズマの空間電位を与えるであろうことは疑いない。又オ3図は



周波数を減少させていったときプローブの交流レスポンスの最大を与えるプローブ電圧が小さくなることを示したもので、交流レスポンスがプローブの静特性に従うのは今の場合 5 Kc以下の周波数であることが分った。これらの結果から、前の雑音の研究の範囲をこえて、プローブの高周波特性がプラズマの空間電位の測定に用いられ可不可能性は極めて明確に解つたものと考える。

(1) Date, T. et al: J. Phys. Soc., Japan, 21, 2426, '56
 (2) Park, T.S.: Proc. Phys. Soc., B68, 292, '55
 Singh, C.: ibid 74, 42, '59
 Zeiteev, A.A. et al: Soviet Phys. - TEP, 9 '59

63 ロケット観測による電子密度測定の諸問題

江尻全機、大家寛、大林辰蔵。

東京大学宇宙航空研究所。京都大学工学部。

ロケット観測による電離層及び磁気圏の電子密度測定に、ジャイロ・プローブ・アローブ[®]が非常に有用な方法である事は、イオンツースの存在、プローブの形状、磁場の影響等によらずに電子密度が求まる等、以前に発表されています。昨年7月に打上げられた、L-3H-2号機による観測で、ほど完成したが、さうに観測データより種々の微細事項が判明して来た。ここでは、(1)アラズマ共振、(2)共振特性、(3)飛翔体の周囲のアラズマ擾乱、(4)ロケット観測による高度分解能、以上4項目について、L-3H-2号機の観測結果の解析より明確になった諸点について述べる。

(1) アラズマ共振。

前回、円筒プローブのアラズマ中に於ける共振に、高域ハイブリッド共振周波数ヒューラズマ周波数の間に、変形されたアラズマ共振が表わされる事が発表された。これは、Balmain et al.による理論式と一致する。L-3H-2号機の観測で、初めて定量的な観測結果が得られたのでここに示す。図-1はプローブのアドミッタンスの共振特性を示し、次に、次式で定義される量“S”とプローブの磁場と変す角θとの関係を図-2に示す。

$$S = \frac{f_{UHR} - f_M}{f_{UHR} - f_N}, \quad \begin{cases} f_{UHR} = \text{Upper Hybrid Resonance Frequency.} \\ f_N = \text{Plasma Frequency.} \\ f_M = \text{Modified Plasma Frequency.} \end{cases}$$

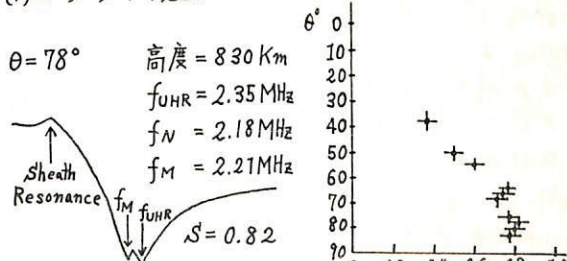
(2) 共振特性。

共振現象に於けるQ値の低下は、共振時のエネルギー損失を意味する。L-3H-2で観測された共振特性より、各々の高度に対するQ値を求めたのが、図-3である。300km付近でQ値が一時低下して113のは、電子密度の増加により衝突が増えた為であり、理論的傾向と一致する。800km以上では衝突以外のエネルギー発散の機構を有するといふ。Q値の低下は説明出来ない。

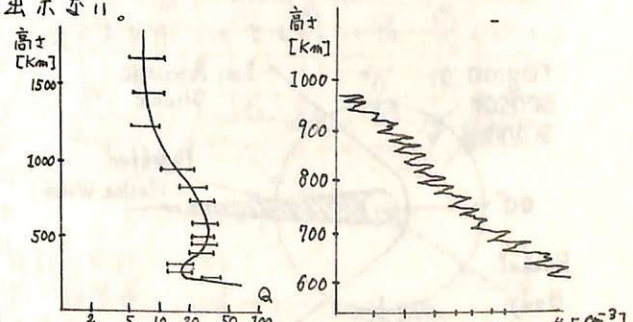
(3) 飛翔体の周囲のアラズマ擾乱。

下降時に於けるロケットのウェイクによる電子密度の低下は、前に大家により発表された。L-3H-2号機では、上昇時に於いても著しい電子密度の低下が観測された。L-3H-2号機による700km～1000km附近の観測データを図-4に示す。電子密度の低下は、全て、プローブがロケットのランチャーの向側にある時である。又、その時(1)述べたアラズマ共振は難音と区別出来ず、又、(2)述べたQ値も低下する。これは、ロケットが超音速で飛ぶ為、まわりのアラズマがかなり乱されていきかねてある。これを定量的に解明しなければ、電子密度の正確な測定は出来ない。

(4) ロケット観測による高度分解能。



[図-1] 7°プローブのアドミッタンス特性



[図-2] θ v.s. S

[図-3] Q v.s. Height

[図-4] 重子密度

64 ジヤイロプラズマプローブによる電離層微細構造の解明(II)
—飛翔体による航跡効果について—

大 家 寛
(京大工)

1. 序

超高层プラズマの直接測定において、飛翔体によつてひきあこがれる擾乱を明らかにすることは、プラズマ力学上の問題のみならず、擾乱を受けないプラズマ状態の分離測定に重要である。ここで、ロケット搭載されたジヤイロプラズマプローブにより、実験的に擾乱の構造が解明された。

2. 実験結果 すでに発表されようとしている⁽¹⁾。使用するセンサーは長円筒形で、スピニ運動により、ロケット軸のまわりの空間を掃引測定する。センサーの長さよりも短い領域の不均一がある場合にも、長軸方向の平均密度を測定する。

ロケット軸とロケット進行方向の幾何学的関係から、観測が擾乱の影響を大きく受けたのは、ロケット下降時で⁽²⁾特に第1図に示すような極めて大きな航跡効果が、K-9M-21号ロケットの下降時に得られた。ロケットのスピニ位相角に対して、実測された電子密度を a) 334 km 附近、 b) 183 km 附近、 c) 160

km 附近の高度

について示した

ものが第2図で

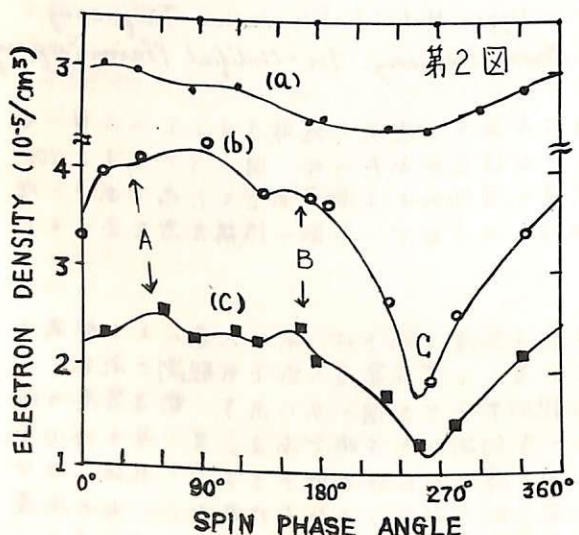
各点は高度変化

を補正している。

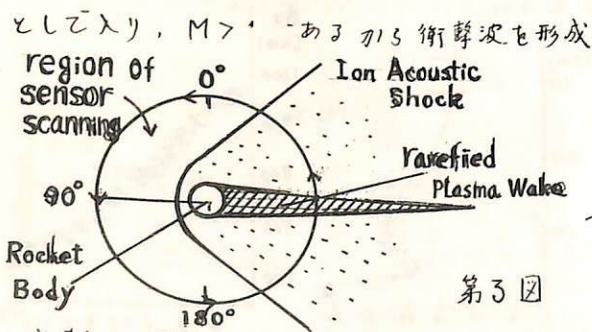
3. 検討

および結論 高速飛翔体によりプラズマが排除される効果が、特にプラズマ密度が高く、ガフマツハ数 ($M = v_0 / \sqrt{kT/m_i}$; ただし kT , 热エネルギー; m_i , イオン質量; v_0 , 飞翔体速度) の高いところで明瞭になつてゐる。この排除作用による航跡は領域 Γ が $\ll v_0/\Omega_i$ (イオンジヤイロ周波数) であるため、磁界の影響は無視することができる。

電界の影響はプラズマの中性子やふる揺動してくると考へられる。第2図の A または B の部分はその存在の可能性を示し、BC 部では Ion Acoustic Shock の背部で抗散により密度が低下してゆく部分に対応する。これはプラズマの排除効果による航跡の境界を、本来の鋭いものではなく、みぞらかにしてゐる。結局、プラズマの排除部の航跡と、Ion Acoustic Shock が第3図に示すように共存している。



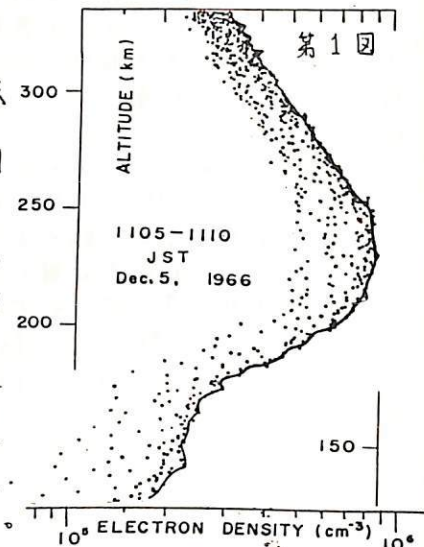
第2図



第3図

文献

(1) H. Oya and T. Obayashi, Rocket Measurement of the Ionospheric Plasma by Gyro-Plasma Probe, Rep. Iones. Space Res. Japan, 21, 1-8 (1967)



谷野信義 相原和弘
郵政省電波研究所

第38回講演会において、周期的な静電磁界中を通過する電子の直角方向の運動方程式の解が Mathieu 運動に等しいことから、これに適当な条件をえてやることにより、イオニの質量分析に用いることの可能性について報告したが、磁界のみの場合は、本質的にエネルギー分析器となり、これを質量分析器として用ひる場合には、イオニトラップ用称離子体の速度率を利用してければならぬ。又磁場のみの場合も、分解能の設計ハーモニクスの出現位置に制御することができむ。ところがこれらを組合したものは、このような欠点をすべて除くことができる。従つて離子体搭載用として適当な構造をもつものとて、 $\frac{1}{l}$ 回のよう圧縮成形によって設計した。

この静電磁界中を通過するイオニの半径方向の運動方程式は、適当な近似の下では、

$$\frac{d^2x}{dt^2} + \frac{e l^2}{\pi^2 m_0 M r_0^2 v^2} (2V_0 + r_0 B_0 v \cos 2t) x = 0 \quad \dots \dots \quad (1)$$

$$\frac{d^2y}{dt^2} - \frac{e l^2}{\pi^2 m_0 M r_0^2 v^2} (2V_0 + r_0 B_0 v \cos 2t) y = 0 \quad \dots \dots \quad (2)$$

となる。但し、

$$t = \frac{\pi}{l} z = \frac{\pi}{l} vt, \quad m_0: 水素原子の質量 \quad M: 質量数$$

v : 質量数 M のイオニの速度、 r_0 : ピークの半径、

B_0 : 磁場の強さ。

今 V_A : イオニの加速電圧 (volt), $(eV_A = \frac{1}{2} m_0 M v^2)$.

l : 2 cm r_0 : 0.2 cm.

とすると Mathieu eq. $\frac{d^2x}{dt^2} + (a + 2f \cos 2t) x = 0$
の各係数は、

$$a \approx 10 \frac{V_0}{V_A} \quad f \approx 0.5 \times 10^6 B_0 \sqrt{\frac{1.9}{V_A M}} \quad \dots \dots \quad (3)$$

V_0 : volt

B_0 : Wb/cm²

従つてこの係数によると、(1), (2)式の解の走行領域は、方2回の斜線の部分となる。
この方法は、離子体搭載用としては、磁場を用

ることに難点があるが、

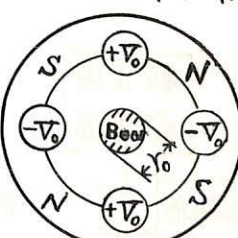
この消費電力が非常に小さく、又磁場やイオニの質量に比例して、分解能を保てる。

又 V_0 を固定し

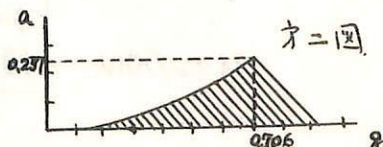
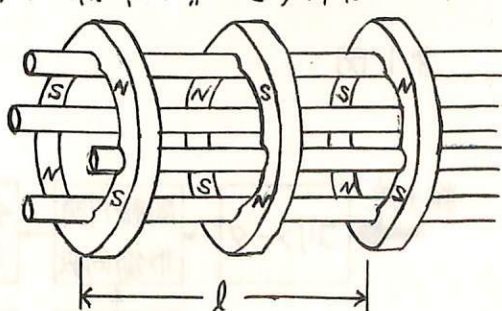
たままで V_A を大中に掃引し

て、 M を変えることを

実用上十分可能であるとおもわれる。従つて掃引の同期等が必要でなく、又一走のイオニのみのモニターに用い場合、高周波共振の方式では、消費電力はほとんど必要しないので人工衛星等の搭載にはこの真有利であると思われる。



オ一図



オ二図

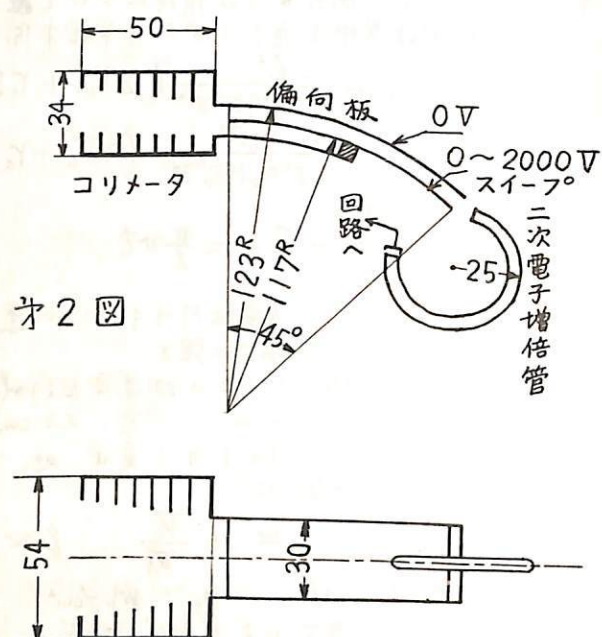
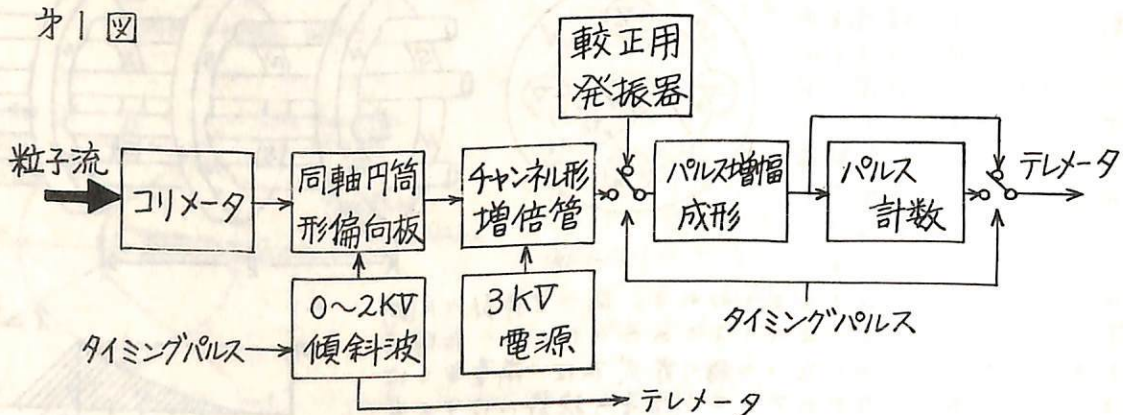
ロケット搭載用低エネルギー電子スペクトル 観測装置

松本治弥 山口幸郎

(神戸大学工学部)

ロケット搭載用としてわざわざが開発をこころみてきた低エネルギー電子のエネルギースペクトル観測装置はその試作を完了し、地上実験も良好な結果を得たのでその概要を発表する。装置の構成は図1にしめすようなもので、まず列束粒子をコリメータでコリメーションしたのち同軸円筒形静電偏向板からなるエネルギー分析器で粒子の荷電の極性、エネルギーを弁別する。弁別された粒子はチャンネル形の二次電子増倍管で検出、增幅する。この増倍管の出力は、入射粒子1ヶにつき、パルス幅数μS、パルス高0.3V以上の電圧パルスとして取り出されるのでこれを増幅成形してテレメータで伝送する。コリメータ、偏向板、増倍管の諸元および配置を図2にしめす。偏向板には繰り返しタク、尖頭値2kVの傾斜波を加えることにより、20keVまでのエネルギーの電子を順次通過させるようになつてある。計数はこのエネルギー範囲にわたつて連続的に行なうが、計数のダイナミックレンジを広くとるため計数回路は2系統とし、一方は計数すべきパルスをそのままテレメータで伝送し、他方は2進計数回路でパルス数を、てい減して 2^8 につき1ヶのパルスを出してテレメータで送る。この2種の系統は、偏向板の電圧掃引1回ごとにスイッチで切り替える。このほか装置に高压を使用することによる放電に対しても細心の注意を払つて製作し、またコリメータ、偏向板等からの二次電子放射、増倍管への軟X線、紫外線領域の放射線の入射を極力防ぐようにしてある。

図1 図



67 低緯度における短波受信強度測定 によるPCAの検出

竹之下裕五郎、木所常一
郵政省電波研究所 平磯支所

1963年羽倉は地磁気緯度の極点に近いThrileから発射されている短波を受信することにより低緯度地帯においても直接PCAの検出が可能なことを提唱した。電波研平磯支所においてはその後引き続きThrileからの12.0385MHz波を受信して来たが、1966年後半に入り漸く今度の太陽活動周期におけるPCA現象が観測され始めた。当地のような低緯度においてPCA現象の発生を直接検出し得ることはその後に引続いて起る諸現象の予知に極めて有意である。しかし短波遠距離伝播波を測定対象にする限り種々の障害はまぬかれない。

調査は1966年7月4日、8月29日、9月2日、1967年1月28日、2月1日、7日、3月11日、5月23日、25日、28日に夫々発生したPCAについて主としてカナダの観測所のデータを、従ヒして人工衛星、リオメーター等の観測報告を用いながら受信強度の変化についてPCA開始以前27日間の中央値と比較しながらなされた。受信強度の変化は他の観測結果と時間的によく一致していた。そして次のような結論が得られた。

1) 極点から発射される短波を受信することによるPCA現象の検出は低緯度においても充分に可能である。

2) レカリ

2・1 混信やFade outも含めたS/N比の小さい時間

2・2 既に強い地磁気嵐が起っている時

2・3 日変化の推移の大きい期間

2・4 冬期の狭い地域でのPCA

についてはPCAの検出は困難になる。

3) 反対に

3・1 混信も含めたS/N比の大きい時間

3・2 日変化の推移の小さい期間

3・3 夏期

においては地磁気が少し乱れていても受信強度は減衰を受けながら観測されPCA検出は容易になる。

小川 徹
京都大学工学部

ドップラー効果の観測により、電離層内の電子イオンの再結合係数が測定可能なことは前回に報告したが、より詳細な結果が得られたので、その結果を報告する。

この方法は、E層反射の場合のドップラー効果が主として反射点の高度変化によって生じ、それより下部の電子密度の変化には殆どよろはないことを利用して、solar Flare 後のドップラー周波数の時間的変化より再結合係数を求めるものである。
即ち

$$\frac{d(\delta f)}{dt} = -2\alpha_{eff} N_0 (\delta f)$$

ただし δf : ドップラー周波数
 α_{eff} : 有効再結合係数
 N_0 : 平穀時の電子密度

観測例は solar Flare の際の Radio Burst が比較的単一パルスに近い場合について取つて、得られた結果は次の通りである。

	$(\alpha_{eff})_1$	$(\alpha_{eff})_2$
Oct. 2, 1965	8.0×10^{-8} cc/sec	4.2×10^{-8} cc/sec
Oct. 14, 1966	9.4	5.8

係数の値は、従来の種々の方法と比較して実験室での値 (10^{-7} cc/sec のオーダー) に近いが、まだ一致したとはいい切れない。
 α_{eff} に2種類あるのは、再結合係数の異なる2種類のイオンが存在するためと考えられる。この方法は、従来のものに比較して再結合の細かい経過が明らかに出来る点が優れていると考えられる。反面、単一パルスに近い solar Flare の場合以外は結果が得られにくくなる点がある。

仲井猛敏 沢淳清
名古屋大学 空電研究所

長谷正博

雑音（空電雑音を含め）の中間周波エンベロープの振幅確率分布は、狭帯域受信機出力で、つぎのようにして測定できる。

振

て雑音エンベロープの周期的サンプリング値が、任意チャネル区間、 $E_i - \Delta E/2 \leq E \leq E_i + \Delta E/2$ に落ちる確率 $P(E_i) \Delta E$ を測るヒ

$$\text{時間率 } P(E \geq E_s + \Delta E/2) = \sum_{i=s+1}^{\infty} P(E_i) \Delta E \quad (1)$$

$$\text{平均値 } = \sum_{i=1,2,\dots} E_i P(E_i) \Delta E \quad (2)$$

$$\text{実効値 } = \sum_{i=1,2,\dots} E_i^2 P(E_i) \Delta E \quad (3)$$

現在広く用いられている方法は、雑音エンベローブが、連続的にスライスレベル S を越える部分の長さ、 Δt_i を加算し、測定時間 T で割るに等しい、すなわち

$$\text{時間率 } P(E \geq S) = \sum \Delta t_i / T \quad (4)$$

の値を直接に測定している。回路方式としてアナログ的、デジタル的の別はあるが、いずれも（4）にしたがう測定である。

(1) および(4) の測定方法を比べると、振幅確率分布だけを測る目的に対しては、(4)の方が簡便である。しかし加えて、平均値、実効値を求める目的とすれば、(1)にしたがう方法が便利である。

さて、(4) にしたがい、アナログ的回路方式をとるもの、例えば Sullivan 式回路の欠点は、

(1) 時間率の測定範囲が十分でない、ヒート／ノーチークしないし 0.1% 以下の時間率を測定できない。このため分布曲線が不完全にしか求められず、したがって(3) の実効値を分布曲線の積分から求めることが出来ない。1つの大切なパラメータである実効値／平均値を求めることが出来ない。

(2) 観測対象が遠距離空電か近距離空電であるか、にしたがって、観測場所、受信機等が当然変わってくるが、装置 (Sullivan 式) の移動、受信機との接続は必ずしも容易ではない。

上述のようなアナログ的回路方式の Sullivan 式装置に比較して、PHA (Pulse height analyzer) は、分布を完全に測定できる点、装置の移動が容易な点、さらに任意受信機との接続が容易な点で有利であると考える。反面において、使用温度に制限があること、零レベルのドリフトのため低時間率の測定に誤差が生じることは、重要な欠点である。

ここでは空電雑音の測定法、零レベルドリフトの影響等、PHAによる空電雑音振幅確率分布の測定結果に基づいて検討する。

70 近距離空電の統計的性質について(I)。

山口 隆，仲井猛敏，深澤 清，
名古屋大学空電研究所

空電雜音は、いろいろの周波数で働く無線通信系へ妨害を生じ、特に長波帯周波数で働く無線通信妨害に対する雜音源となつてゐる。空電雜音の性質が極めて複雑であることから、それらの性質が、この雜音による通信妨害に対して最も興味があるものあるか、世界各國で広く調べられて来た。当所では、通信妨害との関連について、空電の統計的性質を表す各種パラメーター（振巾確率分布、交叉率分布、パルス巾分布、パルス間隔分布）を豊川の空電研究所で調べて来たが、主に空電源との距離が数kmにおよぶものであつた。受信アンテナにおける空電雜音電界は源での雷放電機構、源の地理学的分布、電波伝播路特性などに依存するから、空電源についての統計的性質を調べる必要が生ずる、ここで報告する観測結果は、雷の多発地帯である北関東の栃木県今市にて昭和42年夏季に実施して得られた結果である。

観測装置、空電雜音統計量測定に用いた装置の系統図は Fig. 1. に示す。

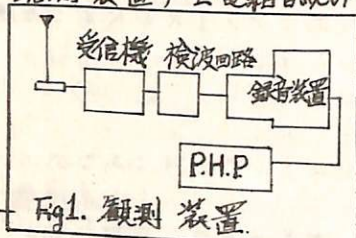


Fig. 1. 観測装置

使用したアンテナは無指向性、垂直アンテナ(3.5m)，受信空電雜音は広域周波数特性のカソードボロワリオの前置増中器を通して、約50mのケーブルを経て観測バス内に設置された主増中器(受信周波数10KCS 第域帯900Hz 3db)に伝送され包絡線検波される。FM変調された磁気録音テープに記録される。

観測バス内にはその他、軟正用光振器、交流直流安定化電源を備える。観測は主に降雨域を調べる波長3cmのPPI表示

レーダーにて雷雨域を監視し、雷の位置については難しい問題を含んでゐるが、我々は観測点より半径30km以内にあるものを対象として考へた。近距離空電の統計性を解説する上から、雷の発生、移動、盛衰、消滅等がどのように意味を持つものであるかといふことは甚だ重要であるので当所や工部省石川研究班との同時観測を行つた。解析、豊川の空電研究所に持ち帰った録音テープを復調した後、PHAにて主に振巾分布を調べた、PHAについては他の如(仲井、本会にて講演)で述べられるので詳細は参考されたい。

観測結果、空電雜音についての振巾確率分布はよく知られてゐるようく直電圧方向は Rayleigh 分布又高電圧方向は 2~3 の log-normal 分布に従い、これらがその合成として表められる。今市における 10KCS の近距離空電の振巾分布を

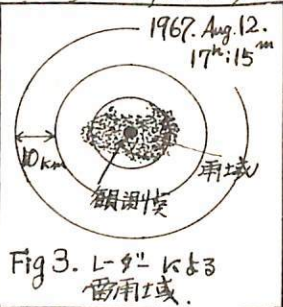
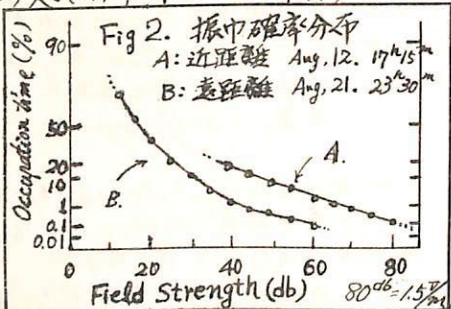


Fig. 3. レーダーによる雷雨域.

検討した結果では遠距離空電は雷雨域や少くとも 2 以上の lognormal 分布の合成が必要であるが、近距離空電の場合は時間率のかわり広い範囲にわたって单一の lognormal 分布函数の表現が適当と思われる場合が多い。Fig. 2 に観測結果の一例を示す。Fig. 3 は測定時に放ける雷雨域を表わしほば今市上空 20km にわたりてゐることわかる。統計的な性質一つである振巾確率分布が得られたのみであるが、これらの理論分布曲線との比較、また他のパラメーターである交叉率分布、パルス巾分布、パルス間隔分布等及びそれらの関連についても興味ある結果が得られたと思われる。

7.1 自然環境における放射線々量の測定 [III]

地表面附近における β 線によるイオン対生成率の測定

川野 実*, 中島敬行*, 池辺幸正*, 下道国* 鈴木茂彦*, 倉田昭三**

*名古屋大学工学部 原子核, **鈴鹿工業

室内電気現象を解説する上で最も基本的な過程は大気の電離であることは言うまでもない。過去数回にわたりて、筆者らはいろいろな地点でのみ、 β および γ 線(含宇宙線分)によるイオン対生成率について報告してきた。

β 線によるイオン対生成率は主として、大気中に含まれる R_n^{222} , $R_n^{220}(Tn)$ およびそれらの崩壊生成物に起因するもので、気象条件によって、それらによるイオン対生成率は異なるが大体 1 J の値を示している。

γ 線によるイオン対生成率は地質の違いにより多少の変化はあるが、大体 5 から 7 J の値で、一定の場所で測定を行えばほぼ一定の値を示す。

β 線による電離量は、筆者らの 1963 年からの測定では、場所によってかなり違った値を示している。筆者らが観測し始めた 1963 年頃は、10 から 20 J とかなり大きな値を示していたが、最近では大体 1 から 2 J の値を示しており、過去には核実験による Fallout の影響を大きく受けていると考えられる。

β 線によるイオン対生成率は最近では 1 から 2 J と低い値を示すので測定が困難となってきた。また筆者らが今まで、測定に使用してきた β 線用電離箱では、気中の放射性物質からの β 線によるイオン対生成率と、地表面からの β 線によるイオン対生成率を同時に測定するような構造になっていたり、気中および地表面からの寄与を分離測定することができない欠点があつた。

このような理由から、筆者らは今回、かなり大きな容積を持ち、しかも気中および地表からの β 線によるイオン対生成率を分離測定できるよう電離箱を試作した。試作した電離箱は全く同等の構造と電離容積を持つ 2 つの電離箱で、一方で γ 線によるイオン対生成率を測定するようにし、もう一方では β 線および γ 線によるイオン対生成率を測定するようにした。電離箱への印加電圧は先々の電離箱で極性を逆にし、二つの電離箱を接続して電離電流を測定すれば、 β 線のみによるイオン対生成率が測定できるようにした。Fig. 1 および Fig. 2 に試作した β 線によるイオン対生成率測定用の電離箱の構造および、測定の際の Block 図を示す。実験室内で得られた両電離箱のイオン対生成率の差は約 0.4 J で、この値は実験室内における β 線および低エネルギー電磁波分によるイオン対生成率と考えられる。屋外における測定結果については日下検討中である。

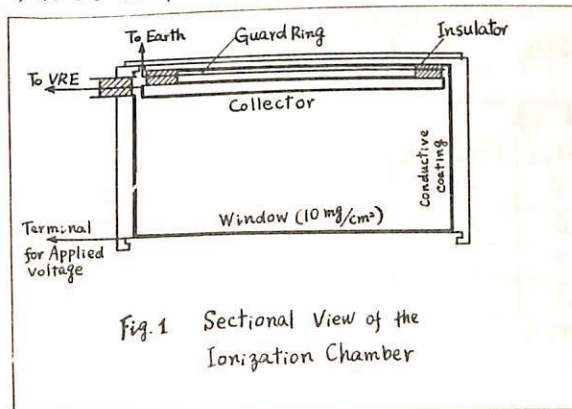


Fig. 1 Sectional View of the Ionization Chamber

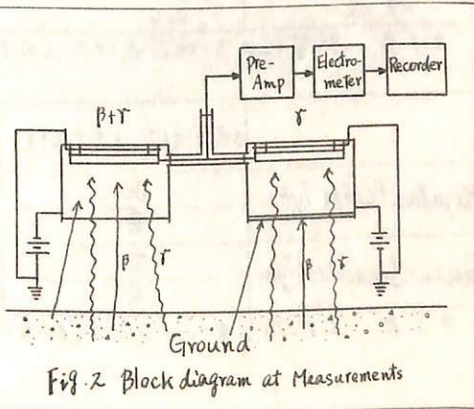


Fig. 2 Block diagram at Measurements

72 空電パルスの極性とその発生源としての雷放電の性質

石川晴治 岩田晃
名古屋大学空電研究所

遠距離(ここでは300kmから1000km)を伝播した空電パルスの地表波について、その極性を調べたところ、空電の源である雷放電の極性と可成り良く一致した。オ1表に、雷放電に於ける落雷と雲間放電との起る割合を示す。即ち、全放電の内で落雷の起る割合は23.1%であり、雲間放電の起る割合は74.0%である。一方近距離(30km以内)で発生した雷放電による空電パルスの極性を放電種類別に分類してオ2表に示す。表より明らかに落雷の98.3%は正極性パルスを発生し、雲間放電の63.8%が負極性を示す。以上の2つの表から計算により、空電の地表波パルスの極性の割合が得られる。即ち地表波パルスが単純なもの76.0%，複雑なもの24.0%となり、更に単純なものの中で正極性のものと、負極性のものとの割合を求めると各々37.6%，62.4%となる。一方遠距離を伝播した空電の内、Regular Peaked Typeについて、その地表波パルスの極性を調べたところ、オ4表に示す様に、単純なもの87.8%，複雑なもの12.2%となり、単純なものの中で正極性のもの37.8%，負極性のもの62.2%となった。オ3表とオ4表とを比較すると両者は可成り良く一致してゐることがわかる。それ故、1000km以下の距離ならば、空電の地表波パルスは伝播によりその極性を変えることが無いと言える。即ち空電地表波パルスが正のものは主として落雷から発生し、負のものは雲間放電から発生すると言える。一方空電の振幅が1V/m以上のものと、それより小さいものとに分けてその地表波パルスの極性を調べたところ、オ5表を得た。即ちオ3表の結果と照らし合せてみると、明らかに1V/m以上のものは正極性が非常に多い。以上の結果から大振幅パルスは主として落雷から発生すると統計的に結論出来る。

年号	1958	1959	1964	平均
落雷	30.0	23.0	20.2	23.1
雲間放電	70.0	74.1	69.7	74.0
その他	0.0	2.9	10.1	2.9

オ1表 落雷と雲間放電の起る割合

空電パルスの極性	落雷	雲間放電
正	98.3	7.9
負	0.7	63.8
複合	1.0	28.3

オ2表 落雷と雲間放電による空電地表波パルスの極性

地表波パルスの極性	割合
単純	76.0 { 正 37.6 負 62.4
複合	24.0

オ3表 計算による地表波パルスの極性の割合

地表波パルスの極性	割合
単純	87.8 { 正 37.8 負 62.2
複合	12.2

オ4表 Regular Peaked Typeにおける地表波パルスの極性の割合

	地表波パルスの極性	振幅	
		1V/m以上	1V/m未満
Regular Peaked Type	正	61.0	29.7
	負	39.0	70.3
Quasi-Sinusoidal Type	正	67.9	—
	負	32.3	—

オ5表 大振幅空電パルスの地表波極性の割合。

73 高層大気中の内部重力波と乱流発生について

石嶺 剛
郵政省電波研究所

中緯度の mesopause 附近（高度 80～110 km）では常に乱流が存在することが報告されている。ところでこの領域では大気温度は高さと共に増大し、大気は熱的には安定状態にある。もし乱流発生が大気固有の性質でなければ、熱的に安定な大気中でどのような機構で乱流が発生するだろうか。又乱流発生が高度 80～110 km の領域に限定されるのは何故か。この疑問に答えるために Navier - Stokes の方程式を使って mesopause 附近的内部重力波を議論し、波動の機械的エネルギーが粘性のため内部エネルギーに変換し大気温度の局部的変動が生じ、このため自由対流が起る可能性を論ずる。又乱流発生が高度 80～110 km の領域に限定されるのは動粘性が高度と共に増大し、従って内部重力波の減衰率は高さと共に増大し、110 km 以高には乱流をひきおこすほどの内部重力波が到達しないためであることが示唆される。

74 電離層に於ける太陰大気潮汐振動の減衰

藤原玄夫・前田坦
京都大学理学部

前に行った計算によると、地磁気太陰日変化から要求される電離層の風系は、電離層モデルによって若干のちがいはあるが、およそ $10 \sim 15 \text{ m/sec}$ であり、この程度の大きさの風は、月の引力による大気の潮汐振動として十分説明できることがわかった。

大気振動の運動エネルギーが上方に伝播するものと考えたとき、電離層における種々の減衰を考慮しないと、風の大きさは指數函数的に増大する。しかし、實際には電離層における電流と粘性によって運動エネルギーの一部は熱エネルギーに変り、大気振動の減衰が期待される。従って、これを定量的に知ることは、このようなく大気振動がどの高さまで伝播可能かということ、そしてまた次の問題として電離層内の各種太陰日変化の説明に関して大切である。

この問題の一般的な取り扱いは極めて困難であるが、まず粘性のみを考慮した場合に平面地球の假定のもとに簡単化された計算を行い、かなりの減衰（及び若干の位相の変化）が期待できることがわかった。更に同様の假定による電流の効果についても議論したい。

村田 宏雄
岐阜大・工

電離層における風のデータより, solar の diurnal 及び semidiurnal 成分に主解析した結果 明らかになったこと

- i) 両成分とも, 120 km 附近まで時計回りのベクトルを持つ。
- ii) 100 km ~ 140 km で垂直方向に対して 振動形を示し, semidiurnal の成分だけ 下に伝播するところもわかった。
- iii) この波長に対して両成分共, 従来の潮汐理論の結果が適用されず, viscous wave 的なものと説明されるべきである。但し amplitude は大きくなり viscous wave とは説明されない。

仮にこの振動形が viscous wave とした場合 damping または amplification が大きく物理的に意味が失われるのであるから, 密度及び動粘性係数の高さに対する変化を考慮しきりも 境界条件のとりかたにより十分に意味がでてく可能性がある。しかし、この可能性もかなり否定的である。また viscous wave ではなくても 従来の潮汐理論の解がかなり変更するような形で viscous term が入ればよいがこれもあまり期待できない。全く異なった構造が支配してしまかもしれない。こうした問題を今回取扱う

使用する方程式系は次の通りである。

$$\frac{DP}{DT} + P \nabla \cdot V = 0$$

$$\rho \frac{DV}{DT} + 2\rho W \times V = -\nabla P + \rho g + \nabla \cdot S$$

ω ; 地球の自転角速度

$$\frac{\kappa P}{m(Y-1)Dt} \frac{DT}{Dt} = \frac{\kappa T}{m} \frac{DP}{Dt}$$

S ; viscous stress tensor

$$P = \frac{\kappa}{m} \tau T$$

$$S_{ij} = \gamma \left(\frac{\partial V_i}{\partial x_j} + \frac{\partial V_j}{\partial x_i} - \frac{2}{3} \delta_{ij} \nabla \cdot V \right)$$

但し

76 赤外領域における雲の空間分布の数学的モデル

高木亨，堤捨男

(京都工芸繊維大学 工芸学部)

赤外線探知または追跡装置の最適設計を行ふに当って、放射体目標を含む背景たとえば天空・海面・山林等の放射の輝き空間分布を知つておくことは、装置のパラメータ決定に必要なことである。本報告は特に天空背景を取り上げ、ランダムと考えられる雲の空間分布に關して、過去約2年間に亘って測定・解析して得た（昭和40年10月～昭和42年8月）それらの統計的性質より、天空背景の雑音空間分布としての数学的モデルを確立したので報告する。測定および解析方法に關しては已に報告してきたので省略する。

2.0～9.0 [μ]，5.0～7.5 [μ] および 3.5～5.0 [μ] の各波長領域に対して測定・解析したが、その中 2.0～9.0 [μ] に関する結果を図1に示す。同図(a)は1次元化ウイーナ・スペクトル $N(f)$ ，(b)は振幅分布 $P(r)$ ，(c)は幅分布 $P(d)$ を示す。すなわち、それが次のようないくつかの実験式で表わされる。

$$N(f) \approx \frac{B}{A^2 + f^2} \quad (f; \text{空間周波数}) \quad (1)$$

$$P\left(\frac{r}{\sigma}\right) \approx \frac{1}{\sqrt{2\pi}} e^{-\frac{1}{2}\left(\frac{r}{\sigma}\right)^2} \quad (\sigma; \text{正规化した輝き}, \sigma^2; \text{輝き分布の分散}) \quad (2)$$

$$P(d) \approx \alpha e^{-\alpha d}, \quad d \geq 0 \quad (d; \text{輝き分布をパルスの集合と見做したときの幅}) \quad (3)$$

たゞレ A, B, α ; 統計的定数

しかし、太陽の照射を受けている場合は、振幅分布はポアソン分布に接近する傾向がある。表1は自己相関関数より算定した輝きの空間分布の分散 σ^2 を示す。分散は昼夜および天候によって広範囲に変化する。

実験の結果より 2.0～9.0 [μ] に対しては

$$\alpha \approx 15, \quad A \approx 1 \sim 2$$

$$B \approx \begin{cases} 1.5 \times 10^4 & ; \text{雲が真正在している場合 (昼)} \\ 1.5 \times 10^3 \sim 8 \times 10^3 & ; \text{雲が真正在している場合 (夜)} \\ 30 \sim 800 & ; \text{曇天または薄雲の場合 (昼夜)} \\ 10 & ; \text{晴天または雨天の場合 (昼夜)} \end{cases} \quad (4)$$

他の波長領域における統計的性質も 2.0～9.0 [μ] の場合と殆ど同様であって、Bの値のみが異なる。5.0～7.5 [μ] は H_2O vapor band, 3.5～5.0 [μ] は CO_2 band であって、前者ではBの値は 2.0～9.0 [μ] の場合と同程度で、昼夜の別は余りない。後者ではBの値は1桁で極めて小さく、したがって CO_2 ガスの密度分布の変動は余りないことがある。

上式 (1)～(3)までを満足するランダム過程を代表するものとして、次のようなものが考えられる。すなわち、この過程を指數関数的に減衰する（ポアソン分布）幅分布をもつて且つこれと独立にガウス的振幅分布をもつランダム集合と見做すことである。かかるときは、この種の雑音は式 (2), (3) を満足し、自己相関関数は

$$G(d) = \sigma^2 \cdot \exp(-\alpha d) \quad (5)$$

で与えられ、そのフーリエ変換 すなわち 1次元ウイーナ・スペクトルは

$$N(f) = \frac{\alpha \sigma^2 / \pi^2}{(\alpha/2\pi)^2 + f^2} \quad (6)$$

天空背景を isotropic と仮定すれば、式(3)において $d = (x^2 + y^2)^{1/2}$ と置き、2次元
ヴィーナ・スペクトルの数学的モデルは

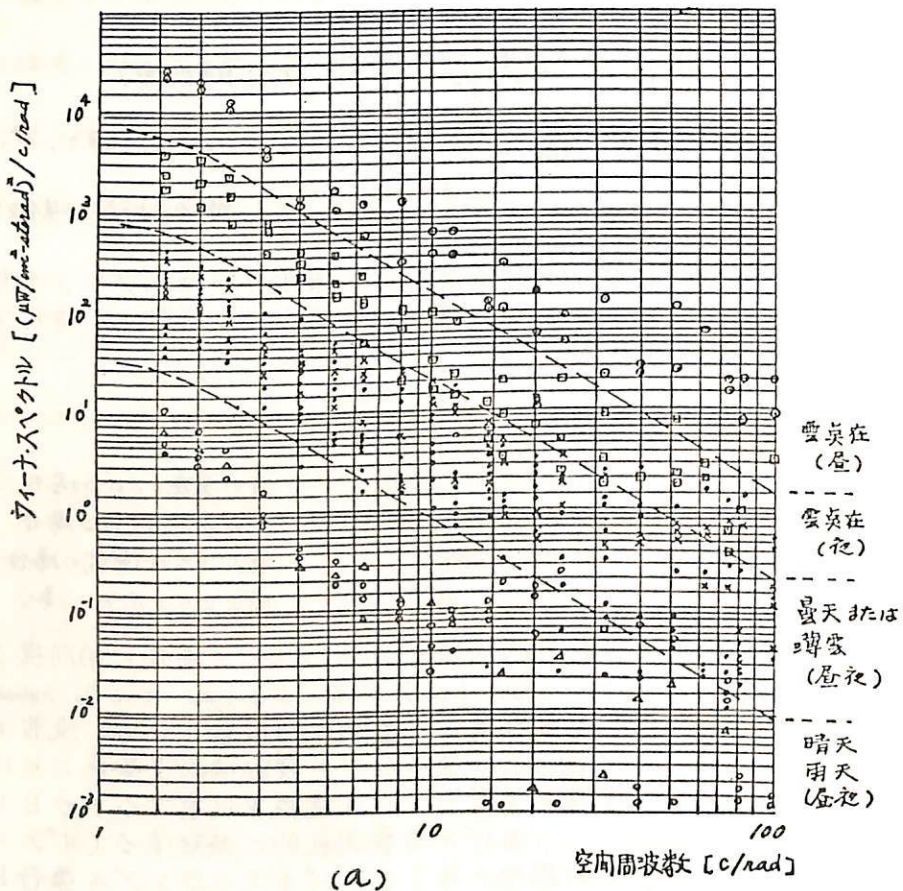
$$N(f_x, f_y) = \frac{\alpha \sigma^2 / (2\pi)^2}{[(\alpha/2\pi)^2 + f_x^2 + f_y^2]^{3/2}} \quad (7)$$

で与えられることがわかる。

この結果は 天空背景のような2次元画面に対して、マルコフ過程が適用できることを示す。これは 式(6) と同一の結果に導くことになるからである。

文献 (1) 高木, 堤, 日本地球電気磁気学会第3回講演会, 講演予稿

(2) 高木, 堤, “天空および山林背景の輝度空間分布の統計的性質”, 電子通信学会誌 (掲載予定)



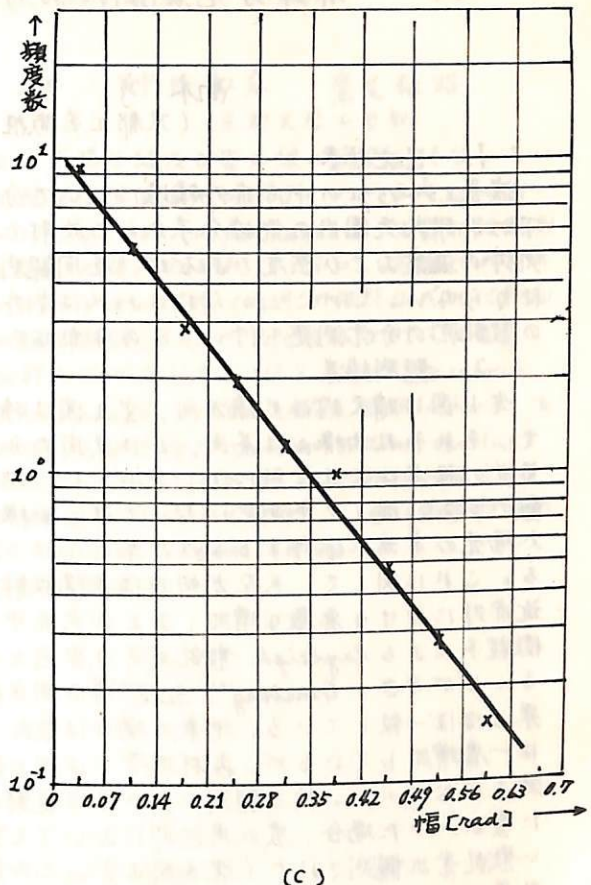
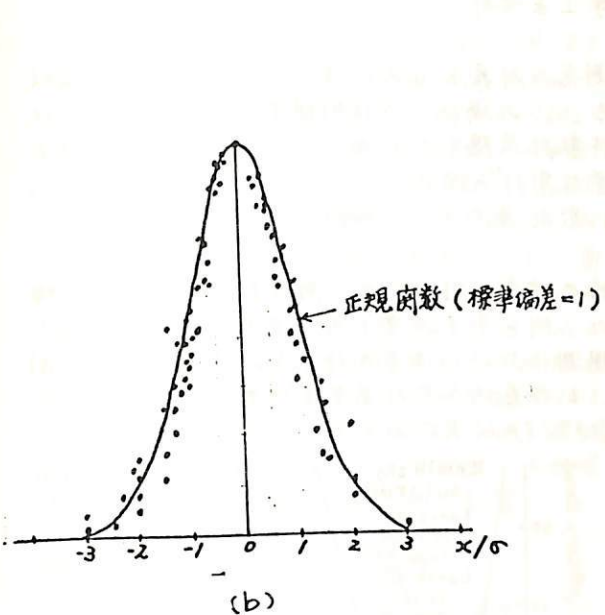


図1. 雲の空間分布の統計 (2.0~9.0 cm²)

表1. 雲の空間分布の分散

状態	分散 [$\mu\text{W}/\text{cm}^2 \cdot \text{sr} \cdot \text{rad}^2$]
日中・雲無在	10^4 以上
夜間・雲無在	$10^3 \sim 5 \times 10^3$
昼夜・曇天又は薄雲	$20 \sim 500$
昼夜・晴天又は雨天	以下

77 赤外分光測光における散乱太陽光の影響

高木 亨 堤 捨男 松井 栄長
(京都工芸繊維大学工芸学部)

1. まえがき

波長 $2.5\text{~}15\mu$ の中間赤外領域において分光測光の対象となるのは、主としてオゾン層以下の下部大気圏内の気体分子からの放射である。この場合その放射強度を支配するものは、気体の温度および密度であるが、昼間観測では散乱太陽光の分布についても考慮しなければならない。このことからわれわれは赤外分光放射計⁽¹⁾を使用し、天空および地表方向からの散乱光の分光測定を行ひ、その分布ならびに散乱源について検討した。

2. 観測結果

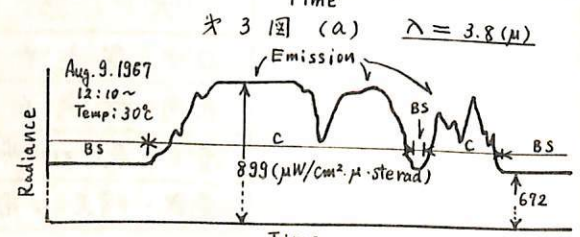
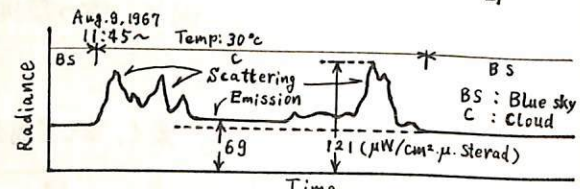
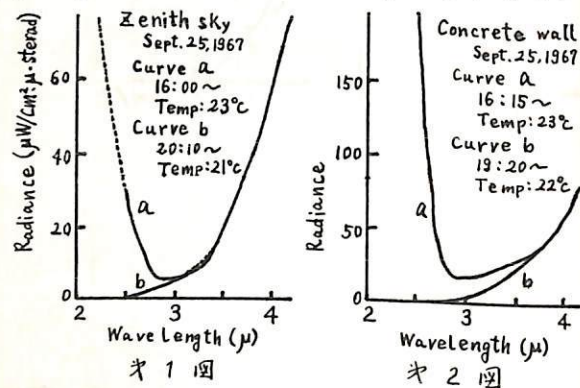
オ1図は晴天時の天頂方向、オ2図は晴天時の地表方向からの入射放射の分光分布曲線で、それぞれ曲線aは昼間、bは夜間の分布の一例を示す。オ1図の波長域に分布する大気光の強度は大気放射に比して小さく、地上観測においてはその存在を確認することは困難である。従つて本測定においては、曲線a、bの差は大気の温度変化がなければ、散乱太陽光の有無に依存するものと考えられ、波長約 2.8μ 以下において著しい増加を示している。これに廻して、天空方向では太陽放射の近赤外における急激な増加、および大気中の微粒子によるRayleigh散乱がその原因とみることができ、Ginsburg⁽²⁾、Bell⁽³⁾等の測定結果とほぼ一致している。地表の場合は散乱光は一層増加しているが、森林地帯では殆ど観測されなかつた。地上観測においては視野内に雲が入った場合、雲の周辺部においても強い散乱光が観測された(オ3図a)。この散乱光は 2.8μ 以下において特に著しく、 $3.5\text{~}4\mu$ にも分布していることが認められた。オ3図bには比較のため 11μ における雲の放射分布を示す。

3. むすび

観測結果から赤外分光測光においては 4μ 以下の波長域で特に散乱太陽光の分布を考慮するに要がある。この外 2.5μ 以下の近赤外域における散乱光の分布、夜間観測における各種天体、特に月光の影響、更にこの種の観測に共通する観測誤と太陽および観測目標との相互の位置関係等についても今後の観測とともに更に検討を要する。

文献

- (1) 高木、堤：“中間赤外域における大気放射の研究” 東京大学宇宙航空研究センター論文集P.79, 1967, 3.
- (2) N. Ginsburg, W. R. Fredrickson and R. Paulson : “Measurements with a Spectral Radiometer”, J. Opt. Soc. Am. 50, 1176, 1960.
- (3) E. E. Bell, L. Eisner, J. Young and R. A. Detjen : Spectral Radiance of Sky and Terain. II.” J. Opt. Soc. Am. 50, 1313, 1960.

オ3図 (b) $\lambda = 11(\mu)$

78 Explorer 30で観測された地球近傍の β 線源
について

中段和宏 鷹尾和昭
(京都大学工学部)

筆者等は人工衛星Explorer 30 (SR-8) による太陽X線及び紫外線の観測を行なっている。この衛星の高度は700km-1000kmで、X線観測用として0.5-3.1-8ÅのGM counter photometerと1-8, 1-20, 8-16, 44-66Åのphotometer。又紫外線観測用として1080-1350, 1225-1350Åのphotometerが積み込まれているが、太陽によるX線の影響とは別に、1-8ÅのGM counterのチャンネルで時々信号が強烈なために飽和している。これは比較的長時間持続し、我々の観測期間(15分)中で回復する例は少なく、且つ回復するときは急峻である。これは衛星を打ち上げたNRL (U.S. Naval Research Laboratory) の説明によれば、South Atlantic Anomaly又はVan Allen Beltのhornを衛星がかすめ、強力な β 線源にさらされるためで、しかもGM counterのtime constantが大きいので通過後も回復するのに時間がかかるということである。この飽和の頻度は1966年3月～1967年7月までの全観測343回中49回にも及んでいる。これは衛星軌道の北から南へのpassに殆んど限られ、南から北へのpassでは数例である。

講演では次の諸点について検討した結果について論ずる。

1. 衛星が通過する場所的な影響
2. Local timeによる頻度
3. 太陽Flareとの関係
4. Cosmic Rayの異常との関係
5. Geomagnetic Stormとの関係

79 エクスプローラ30号の1-8Å電離箱のレスポンス異常

前田力雄 荒木一則
郵政省電波研究所

エクスプローラ30号には太陽活動の鋭敏なインテグレータと1-8Å電離箱が搭載されている。X線のリアルタイムデータはペニ書きレコードに電圧パルスとして再生されながら、観測期間中(1965年12月1日～1966年9月24日)で信号の約2割が飽和に達するものであった。Gの飽和信号としては2種類の型、すなはて数分以上にわたってレベルが飽和する型と太陽X線に応答する飽和パルスの巾が異常に増加する型とか抜かれたりした。二つの型は発生的に別種のものであろうことが統計的に推論される。

二つは後者、つまりパルス巾に顯著な時間的変動がみられる飽和の特性につけ考察する。おもな結果は次の通りである。

- i) 小さな複数回を“0.5-3Åの太陽X線硬成分”と“現化”。
- ii) ほとんどの場合X線パーストが起つたり、SIDの発生確率が高くない。

電離層研究のために0.5-20ÅのX線測定が有効でなければならぬから

- i) 1-8Å電離箱の高感度間の自動切換。
- ii) 高感度の0.5-3Å計数管。
- iii) スピニ軸の位置情報。

などに今後改良すべき点がある。

80 1966年中のX線観測より見た太陽異常現象について

鷹尾和昭
(京都大学工学部)

京都大学宇治電波受信所において、人工衛星Explorer 30号のテレメータにより太陽X線の観測(0~60 Åを54チャネルに分けて測定)を行なっているが、ここでは1966年3月~12月の期間中に観測されたX線異常現象と、太陽フレア、太陽電波、SID等の現象と比較した結果について述べる。

衛星による太陽観測については、

- (1) 衛星電波と地上の受信所で受信できる時刻が、衛星軌道と地球の自転の関係で決る。
- (2) その際に、衛星が地球の蔭にあれば、太陽のデータが得られない。
- (3) 観測継続時間は、1回の衛星通過について、高々15分である。
- (4) 衛星の姿勢の関係で検出器が太陽方向へ向いていないことがある。

などの制約があるため、連続観測ができないので、太陽異常現象と遭遇する機会にはなかなか恵まれにくい。上述の我々の観測においても、Importanceが2以上のフレアと一致した時刻のデータは得られなかった。

上記の約300日間に行なった観測は139回あり、そのうち太陽フレアと同時にX線でもburstを観測できたものは9例、太陽フレア後のX線強度の復帰的減少を認めたもの14例、太陽フレア最中に観測したがX線に変化の現われなかつたもの12例、逆にX線に異常があつても、フレア、電波burst共に報告のないものの9例となつた。

これらを調べると、まずフレアでも太陽面中央子午線から東西に離れた所で起つたものからは、地球に達するX線が出ていないことが推定された。

またSIDとの関連については、短い波長帯のX線burstが原因であると従来云われているが、疑問を生じさせる結果が得られた。すなまち、SID発生中にX線で0~3 Åが 10^{-5} erg/cm²/sec以上、或いは0~8 Åが 10^{-3} erg/cm²/sec以上に出ていたもの6例、認められなかつたものの5例、逆に短波長X線の増加にもかかわらずSIDの起らなかつたものの2例となっている。

次に0~3 Åの短いX線の発生状況を調べると、このチャネルの検出器は約 10^{-5} erg/cm²/secの検知感であるが、この観測にかかつたものは12例ある。そのうち6つは7月末~8月初めの期間に、4つは8月末に集中しており、残りの2例が単独に起つてゐる。グループ発生は、太陽電波より見た太陽活動度の高い頃と一致し、単独発生はX線burstと同時である。他の波長帯のX線が強く出ても、0~3 Åの現われないことがしばしばある点は注目すべきものと思われる。

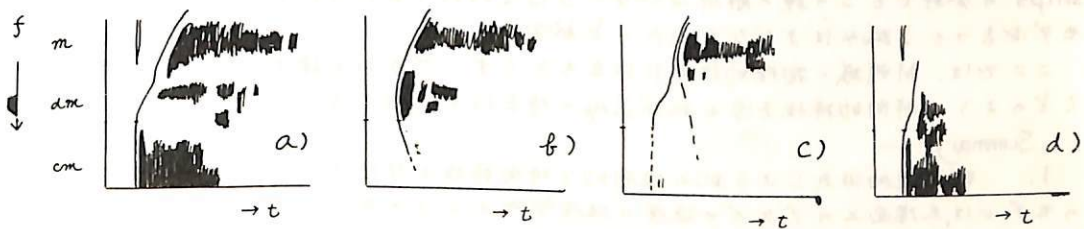
太陽電波バーストの特性からみた太陽フレアの 発達と構造

接井 邦 明

京都大学工学部 宇宙研究施設

太陽電波バーストのフレアに伴う発達のパターンにはいくつある。特に、電波バーストの dynamic spectra とフレアに伴う太陽赤面線や SID などの諸現象との関係を詳しく調べてみる。このことは、太陽電波バーストの特性を再び検討して、それに基いて太陽フレアの構造と発達をさかんに考察する。

典型的な太陽フレアはマイクロ波。Impulsive burst, Type IV burst ($IV\mu$, $IVdm$, IVm), Type II, III bursts, SID (従って X 線バースト), 太陽赤面線, プラズマ雲など、発生を伴う。上に示した諸電波バーストの dynamic spectra には、実際上、幾つかの種別があることが判る。特に著しいのはマイクロ波帯 Impulsive burst 及び Type IV burst の dynamic spectra である。前者は伴うことが多い大きなフレアである。また、後者については dm 波帯以下限周波数をもつもの、或は $IV\mu$ burst。非常に弱いものなどがある。二つで模式的に示すと次図のようになる。



構造と反映しているため、必然的にフレアに伴う太陽赤面線、SID その他現象との相関を形成する。マイクロ波帯 Impulsive burst (a), (d) の場合に発生してから、同時に X 線バーストを発生し、前者と同様、時間変化を示す。SID も従って急激型である。a) は BeV-LI が下型 (下型を含む) の太陽赤面線を伴う。b) のように、マイクロ波帯。電波バーストは G-R-F 型で、SID は slow-onset type である。c) は顯著な SID を伴う。図から判るように、b) は dm 波帯 ($10^3 \sim 2 \times 10^3$ Mc/s) の電波放射が先に開始される。これに対し、a), d) は cm 波帯放射が最初に起つてある。電波バーストの放射高密度が周波数により一般にさかんになるとおりである。放射開始時間の周波数による相異はフレア発生高密度の相異に起因するこが推論される。Sudden-SWF 及び Slow-SWF の統計結果及びマイクロ波帯 Impulsive burst 及び X-ray burst との類似性をより推論と支持する。従って、太陽フレアの発達と構造はフレアの発生高密度と強く依存しているわけである。a), b) はともに太陽赤面線の発生を伴うが、その特性は全く異なる。フレア高密度が低い方で energetic な現象を伴うことは、それがフレアの規模が大きい、粒子加速の能率が高くなる意味である。これは、フレアが起つ場合、Active region の底の方で起つて不安定性の方がより激しく大きいことを示している。

フレア領域と不活性エキルギー収支の大きさがフレア発生高密度、更にはフレア領域と不活性黒洞磁場の分布に依存してあることが推測され、不安定性のタイプが上述の結果から検討できるわけである。

82 回帰性磁気あらしに関連する太陽プラズマ流速度の確率過程論的経度分布モデル

郷 鉄夫

ミシガン大 マクマス・ハルバート天文台

Introduction — Mariner II experiment は、太陽プラズマ流の速度と地磁気活動度指数 ΣK_p との間に強い相関があることを示し、回帰性磁気あらしの仮想的発生源 M 領域とは高速プラズマの放射源であることを示唆した。Mariner II が測定したプラズマ速度の時系列は、この速度の太陽面絶度分布に大きく依存するることは間違いないが、注意しなければならないのは、この測定データが同時にその時間的变化を含むことである。したがって、測定値の時系列より速度の同時的絶度分布を得るためにには、その時間的变化特性を知らなければならぬ。さらに、途中の惑星間空間における modulation も考慮に入れる必要がある。ここで最も重要なのはプラズマ流の undulation であろう。

さて、Mariner II experiment のようなものをわれわれは常時期待するとはできない。しかし、 ΣK_p が太陽プラズマ流の速度に完全に対応するという仮定が許されるなら、 ΣK_p の時系列解析によってプラズマ流速度の絶度および時間的特性を調べることができよう。

一般に、ある確率過程からの標本系列を見なされるデータを解析する際には、その自己相関函数と電力スペクトルを求めることが普通に行なわれる。Solar-terrestrial relationships の分野でもこの種の解析はいろいろ行なわれて来たけれども、その結果を説明するモデルをつく試みはまだなされたことがない。

ここでは、M 領域の物理的性質には立ち入らず、プラズマ速度の太陽面絶度分布に対してどのような時間的特性をもつれば ΣK_p の時系列が説明できるかと/or ことを考えてみる。

Summary —

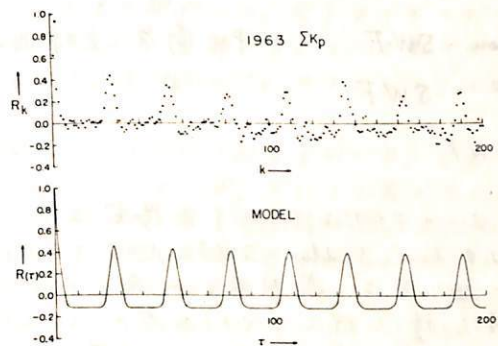
1. 回帰性地磁気じょう乱の観測的な時間特性を説明する一つのモデルを考える。このモデルは太陽面上のプラズマ速度の絶度分布が二つ分成分から成ることをもつている。一つは絶度に関して homogeneous で、そして時間的には gaussian Markov 過程に従う成分であり、他の一つは、その中心が gaussian Markov 過程に従って、ある特定絶度のまわりに分布する permanent な長方形状高速異常域 (source) が持つ成分である。これらの成分から成る速度分布が太陽自転に従って回転すると、ある特定の meridian 上でこれを観測した場合のプラズマ速度の平均絶度分布、自己相関函数、電力密度スペクトルを計算し、その結果をモデルの想定する状態に最も近い条件を充たしたと考えられた 1963 年における ΣK_p の時系列に対するものと比較する (図参照)。ただし、比較においては、太陽大気および惑星間空間におけるプラズマ速度の time-dependent なふるまいがもたらす効果一切を、すべて太陽面絶度分布に還元して考えると同時に、プラズマ速度と ΣK_p との間の相関を 1 として問題を簡単化を行なつてある。このモデルでは source の数がただ 1 ヶで、かつ寿命が無限であり、完全に定常であることを假定してあることを考えれば、比較の結果はきわめて満足すべきものであるといえる。

2. このモデルに課せられたいろいろの性質は、太陽大気および惑星間空間における太陽プラズマの実際のふるまいを物理的にとらえようとした理解されねばならない。27 日回帰性を説明するための速度異常域に対して確率過程論的位置の変動を考えたことは、たとえば、惑星間空間におけるプラズマ流束の “undulation” に対応させよう。

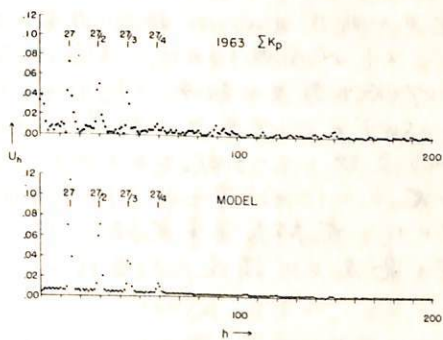
3. ΣK_p の時系列の電力密度スペクトルは、通常、27 日の基本周期のほかにいくつかのその高調波を含むが、ここに考えた单一 source モデルと観測との比較から、これら高調波に含まれる power の大部分は正弦波からのずれが大きくなる相関函数のフーリエ変換

の結果として現れるもろであり、equi-distance spacing の sources を全く必要としないことが指摘される。実際には、ニニで論じるような性質を持つ source が、ある未知の物理的法則の下に定められた個数、寿命、配置を持って太陽面上に複数個分布し、これらの回帰によって 2 フローポリューム変化が観測されたものと考えられる。したがって実際の自己相関関数は、一般に、より複雑な形をとり、また、その電力密度スペクトルは、2 フローポリュームの数も増加し、それら高調波スペクトルの中も広くなるものと考えてよからう。

今後、問題としては、“disturbed”領域、すなわち M 領域のはかに、“quiet”領域が現実に存在するかどうか、そしてこれが回帰するかどうか、あるいはもつと一般的にいって、太陽面上のすべての経度ドットについて 2 フローポリューム以上にわたって存続する何らかの effective の速度成分が存在するかどうかを解明することが必要であり、その結果によつてはモデルにこれを考慮する必要が生じよう。ただし、これを観測資料（在来の）から説明することは、特別の統計的考察が要求されるもろと思われる。



自己相関関数



電力密度スペクトル

83 SID のタイプと太陽フレアの構造

桜井 那朋

京都大学工学部電磁気研究施設

太陽フレアに伴う電離気擾乱は、 SWF, SEA, SPA など、 諸現象がある。これらは総称して SID と呼ばれている。このうち、 SWF はより上げて、 SWF の発生パターンと太陽電波の dynamic spectra, フレアの発生高度及び X線バーストのタイプとの関連を考察する。

SWF の時間変化パターンから、 SWF は Sudden-SWF, Slow-SWF 及び Gradual-SWF の三つのタイプに分類される。これらは太陽電波、マイクロ波帯バーストの時間変化パターンと非常によく似ており、このバーストは電離気異常電離を作り X線バーストとは時間的によく似た変化をすることがわかっている。

太陽フレアはコロナ活動領域の極へ方で一般に発生し、その発生高度は 5 万 km と有する。今、上記三つ、 SWF のタイプを起したフレアの高度を示すと、データの数が余り多くないので断定は難かしいけれども、

Sudden-SWF	中心高度(光球面上)	$(1 \sim 1.5) \times 10^4$ km
Slow - SWF	"	$(1.3 \sim 1.8) \times 10^4$ km
G - SWF	"	10^4 km 以下, 或 $1.5 \sim 2 \times 10^4$ km 以上

である。これら三つのタイプを併せて太陽電波バーストの dynamic spectra は、それ各自の特徴を持つ。Sudden-SWF は起きたフレアには、 cm 波帯、 Impulsive burst があり、バーストの起始方角は高周波(cm 波)から低周波(dm, m 波)へと時間経過と共に、毎次移行するスペクトル型のバーストが伴う。一方、 Slow-SWF (Gradual-SWF を含む) の場合には、 cm 波帯、 Impulsive burst はなく、非常に小さく、バーストの放射は先に dm 波帯 ($10^3 \sim 2 \times 10^3$ Mc/s 帯) で始まり、その後バーストの放射周波数の範囲が cm, m 波波帯へと広がり移行するスペクトル型のバーストが伴う。これら二つのタイプのスペクトル型の電波バーストの $2 \times 10^{13} \sim 10^4$ Mc/s 帯の放射電力の時間変化は相互に非常に異なる季節を示す。前者は先に cm 波帯で電波バーストが開始されるが、後者は dm 波帯で開始される。二つ事実はフレア発生高度の相異によるものと想われる。光の外、 Sudden-SWF, Slow-SWF のフレア高度の相異は、この二つの電波バーストの発達及び dynamic spectra の上にも反映している。

SWF のタイプが太陽電波マイクロ波帯バーストの時間的変動の密接な関係を示すことを述べて、太陽フレアに伴う電離気異常電離 X 線バーストと電波バーストの放射特徴、更にはフレアの発生及び構造との密接なつながりを判明した。

84 月面類似物質ラルミネッセンス

早川幸男，西村洋三
名大理，新潟大理

月の光が太陽光の反射によるものだけではなく、ルミネッセンスによる部分が相当あるらしいことは、様々な証拠から確証されてゐる。その明るさは金の面では反射光の一割程度、時に特定の場所で月のフレヤーと呼ばれるような明るさに輝くこともある。夜の面では強度が半分も小なりが、それでも数値は $1 - 10 \text{ erg cm}^{-2} \text{ sec}^{-1}$ の大きさである。その原因として、太陽からの高エネルギー粒子、アラズマ粒子、地球磁場の尾部にある電子等が月面でルミネッセンスを起す機構が考えられてゐる。ルミネッセンスの夜の明るさを説明するには、入射エネルギーが全部光に変るほど効率が必要である。

この問題は、月のルミネッセンスの機構とのモード上らず、月面の物性、太陽からの粒子流の発生と伝播、地球磁場における粒子の加速と伝播にも関係するので、まずルミネッセンス効率を実験的に調べてみた。結果は予想されたように、ルミネッセンス効率が上記の希望的解釈で仮定されたものよりはかかるに小さくなることがわかった。

[実験装置]

真空容器の中の面上資料を置き、資料の表面上 45° の傾きで電子ビームを当て、電子ビームと 90° の角度で出くさる光を観測した。電子はエネルギー 5 keV やり 10 keV 、電流は $1 - 200 \mu\text{A}$ の範囲に変えた。資料から出くさる光のうち、可視部を光電子倍増管 (RCA 6655A)，赤外部 (J と K) を PBS にフィルターして測った。

[資料]

数種の岩石の大さを固形、およびその粉末を用いた。月面の表面が隕石の堆積、もしくは隕石に似た物質でできることはすれば、カニラン岩がそれに近い資料である。その中でも最も近いと思われるマンカニア岩 ($\text{Mg}_2\text{Si}_4\text{O}_9$ 90%, $\text{Fe}_2\text{Si}_2\text{O}_4$ 10%) を使った。月面反射の分析から得られる知識では、月の表面は有効密度が $1/2 \text{ g cm}^{-3}$ 以下で“熱伝導の悪”，多孔質な粉末の状態に至つてゐる。多孔質な粉末の状態に至つて $\text{Mg}_2\text{Si}_4\text{O}_9$ から成る人工カニア岩と輕石とを用いた。またこれを粉碎して 0.1 mm — 1 mm の大きさの粉末をつくった。

[実験結果]

資料に所見した発光に在るるルミネッセンスのエネルギー流量と効率を表わした。一般に (光のエネルギー) / (粒子のエネルギー流量) が効率を表わしてゐるが、我々の実験では電子のエネルギーによる光の強さが余り変わらなかつたので別の表現をとつた。

- (1) 電子のエネルギー 5 keV と 10 keV とで光の強さは認められるほど変わらなかつた。これは Darham が取 MeV の陽子を用いて得たエネルギーに比例する結果と矛盾する。
- (2) 電流を増すと発光効率が下る。用いた量の電流密度 $0.1 \mu\text{A}/\text{cm}^2$ では発光効率がほぼ電流に無関係になる。また電子距離を始めた直後に効率が高く、その後に効率が下る。ルミネッセンスの強さ場所が比較的新しいと/or 磁場の変化と定性的には一致する。
- (3) 表面の手やらかで岩石に付けて、効率は一斉に下る。多孔質の岩石がそれより効率が高く、人工カニア岩はさらに著しく高い。
- (4) 粉末状にすると一般に効率が上るが、人工カニア岩の場合は逆反応。
- (5) 人工カニア岩の発光効率は $1 \text{ watt}/\text{A}$ 程度で、エネルギー効率はすこし方々 3×10^{-4} に達する。それ故ルミネッセンスは電子反射で障害しようとすると、非常に大きな強度の電子が要求される。
- (6) 赤外部でも粒が細かくすると発光が強くなる。電子のエネルギーを増すと常にそれに比例した発光が見られる。

武山における地下宇宙線観測

村上一昭, 宮川忠良, ⁰宮崎忠国, 游々谷文雄, 宮崎友喜雄,
理化系研究所

三島 靖
愛媛大学

国際地球観測年を機にして、宇宙線観測は地上及び山上において、中間子計や中性子計を設置することにより、著しく増強されたが、これらの観測は一次宇宙線のエネルギーにして主として 50 BeV 以下の宇宙線の変動を求めるに重要なものとされた。然し、太陽系内における宇宙線の変動は、それ以上のエネルギーのものについても甚だ重要なことは明白であり、そのための観測として世界において数ヶ所で行われてゐる。我が国においては先づ IGY 塊より計画が練られて来たが、今年夏、標記の如く、三浦半島武山において、観測装置が完成され、テストランが始められたので、それについて報告する。

1. 観測点 横須賀市佐島（通稱武山地下）立教大学原子力研究所内の旧海軍の地下壕内。北緯 $35^{\circ} 13'$, 東経 $139^{\circ} 37'$, 海面上約 6m,
上部吸収層 地層 27m (54 m.w.e.)

2. 観測装置

1 m^2 の plastic scintillator を使用し、 9 m^2 の layer を 2段にし、その上部のものと下部のものの同時放電による計数を記録する宇宙線計である。

3. 測定成分

鉛直方向 (V)	9 m^2 , $\pm 30^{\circ}$	約 35000 counts/hour
天頂角 30° 東西南北それぞれにつき	約 13000 "	"
天頂角 50°	"	約 2400 "
その他		

尚、この観測については、一次宇宙線の研究者各位による御支援と、特に立教大学 中川原研究所長にいろいろと便宜を計つていただきたいことを附記します。又、地下壕内 9 連設について國鉄技研高橋参考技師に指導していただきたいことに感謝の意を表します。

高橋八郎 矢作直弘 千葉敏躬
岩手大学

我々は前回に 1957 年 7 月から 1965 年 12 月までの Norikura の宇宙線中性子ならびに中性子成分を用いて太陽自転周期の間の宇宙線 Rigidity Spectrum を調べた結果を報告し、これが、一般に、以前に調べた 宇宙線嵐の Rigidity Spectrum と同様に対応する期間内の地磁気擾乱と密接な関係を持つことを示した。

しかし、このとき次のようないくつか問題点が残された。

- (1) IGSY 期間の data からの結果は宇宙線嵐にはほぼ同じものと、かなり異なる。
- (2) 1964 年のはじめから 1965 年の終りまでの data では、中性子成分と中性子成分との間の相関が悪く、今回の解析方法では有意な関係(結果)が得られない。

今回は以上の問題点の検討を試みた。

(1) これは、理研まとめた IGSY 期間の World-wide 在宇宙線の data book の data を使用して前回同様な方法により広汎な解析を行った。結果は、一般には IGSY 期間の太陽自転周期の間の宇宙線 Rigidity Spectrum も宇宙線嵐の Rigidity Spectrum と同様な傾向の地磁気擾乱との密接な相関を持つ、ことを示す。

(2) これは、Norikura の Neutron, Meson の代りに低緯度 station の Neutron と高緯度 station の Neutron を用い(IGSY 期間の data) 前回の ~~Scatter~~ diagram = 相当する diagram を作り、これから Rigidity Spectrum の measure を求める方法を試せたが、やはり、低緯度 Neutron - 高緯度 Neutron との相関が悪く、有意な measure が得られなかつた。別の解析方法を考える必要がある。

87 IGY-IQSYにおける宇宙線日変化の変動について(II)

石田喜雄*, 管野常吉*, 加藤静子**

* 福島大・教育, ** 福島医大・物理

IGY—IQSY間の宇宙線中性子強度の日変化の T_{mn2} [月平均値を調和解析した次の2項 \vec{R}_2 の最大時刻(L.T.)] の変動と太陽面現象との相関について報告する。

前に報告したように、毎月の \vec{R}_2 のベクトル和および半年平均の \vec{R}_2 のベクトル和をとると各地域は大体次の3つのグループに分けられる。

- 1) Normal Phase Deep Riverなどのように、始め3^h方向を向いているが、1960年頃より前進し、(1~2)^h方向に向う。
- 2) Inverse Phase Uppsalaなどでは、逆におくれる傾向がある。
- 3) Random Phase どちらにも入らず、方向がバラつくものがある。

この3つのグループの各地域の T_{mn2} と太陽コロナの緑線(5303 Å)の強度との関係について研究し、G6(S)との相関が特に良いという傾向があることを報告したが、今回はこの点を更に詳細に検討した結果と、 T_{mn2} と太陽緯度(10° 毎)に分けた緑線強度との関連、および各グループの世界分布を検討し、 T_{mn2} の原因を考察した結果を報告する。

ジマイロ・シンクロトロン放射特性(Ⅰ)

加速電子の放射電力及び偏波面特性

接井邦朋・小川忠彦

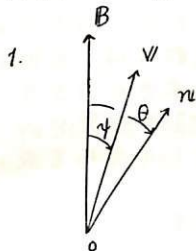
京都大学工学部電磁気研究施設

碰撞吸収を考慮運動する電子から放射されるジマイロ・シンクロトロン放射の電力及び偏波について計算結果が示され、その適用が試される。この問題については既に多くの成績が上げられておりて、今度は詳しくがつて立場から扱ってやる。それは放射電力の計算と左旋、右旋両偏波からの電力を他の電力の合成として求め、更にこれら二つの電力の角分布、放射電子のラセン運動のピッケ角に対する依存度合などをも小分けして計算した。また、左右両偏波の合成により生ずる偏波モード、偏波面の回転方向などを求めた。

左、右両偏波の emissivity function, $P_s(\gamma, \theta; \beta)$ は

$$P_s(\gamma, \theta; \beta) = \frac{s^2(1-\beta^2)\beta^2}{(1-\beta \cos \theta \cos \gamma)^4} \left\{ \sin J_s'(X) \pm \left(\frac{s \sin \gamma \cos \theta}{X} - \cos \gamma \sin \theta \right) J_s(X) \right\}^2$$

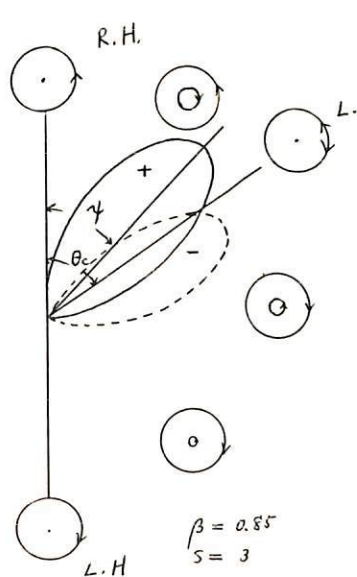
で年号 (+ ; 右旋偏波; - ; 左旋偏波) で $X = s\beta \sin \gamma \sin \theta (1 - \beta \cos \theta \cos \gamma)^{-1}$ である。 θ は回転角である。且つ位相ベクトルである。 $\theta = \theta_c(\beta, \gamma)$ の B を



軸と右偏波内部では両偏波電力の和は右偏波と等しく、外側では左偏波と等しい。 $\gamma < \pi/2$ では右偏波電力が左偏波と比べて非常に強い、 $\theta = \theta_c$ の外側では左右偏波の放射電力は非常に小さいが、左偏波の方が強いとの合併で左偏波となる。 β が大きくなるにつれて、放射電力は基本周波数 $f_H \gamma^{-1} (1 - \beta \cos \theta \cos \gamma)^{-1}$ と高調波成分 ($S > 1$) からの寄与が卓越するようになる。両偏波の放射電力の角分布及び両偏波の放射電力比 (= 両偏波の電力に対する依存の程度とその概念的関係) は図2. および図3 である。

図2. 両偏波の合成による3D形の横偏波と等しい。放射電力は左、右両偏波成分と $\theta = \pi/2$ の時に最大となる。 θ の小さな所及び $\pi/2$ 近傍では放射電力は非常に小さい。放射電子のエネルギーを monochromatic とし、角分布を isotropic とする。放射電力は $\theta = \pi/2$ の電子からの寄与が最大となり、 $\theta < \pi/2$ の方向からみて、大体直線偏波となる。 $\theta > \pi/2$ では右偏波が卓越する。

このように左、右両偏波が放射される場合、測定実験の途中で magnetoactive 石英ガラスなどの遮蔽があると遮蔽の反射、屈折が生じて、真空中の場合と著しく異なった結果となり得る。例えば、太陽電波 V 型ペーストによる利用の場合である。



89 ジマイロ・シンクロトロン放射特性(Ⅱ)

太陽フレア領域及びコロナ中のプラズマの
電波バースト放射に対する影響

小川忠彦 桜井邦朋

京都大学工学部

太陽電波のTypeⅡバーストは、太陽コロナあるいは絶層の磁場と高エネルギー電子との作用によるSynchrotron放射によって発生することがBOISCHOT, DENISSEによって、1957年提示された。その後多くの人々によってその可能性が論じられ、実際にシンクロトロン放射のスペクトル分布が詳細に研究されてきた。

真空中でのスペクトル分布を理論的に調べると、放射強度は比較的低い周波数では $f^{\frac{1}{3}}$ に比例して増加しているが、あるCriticalな値で最大になり、それ以上の f ではexponentialに減少する。実際に観測すると、低周波ではcut-offが起り、 f を増すと $f \sim f^5$ の割合で強度が増加してゆき、最大値に達する。この低周波での鋭いcut-offに関して、TAKAKURA(1960)は電子のジマイロ周波数、あるいはその高調波の近くの放射が、まわりの電子によく吸収されるという考え方を示した。

1967年RAMATYとLINGENFELTER(J.Geophys.Res., 72, 879-883, 1967)はこの考え方に対して、cut-offはプラズマが存在する為に低い周波数での放射が、抑止されるという考え方を示した。彼らは、プラズマ周波数のオーダーの低い周波数では、屈折率 μ が1より小さく、光のプラズマ中での位相速度が、真空中の光速度より大きくなる為に、この現象が生じると考え、これを最初に取り扱った人にならんで、RAZIN効果と呼ぶことを提案している。彼らは、屈折率 μ を次のように仮定して、スペクトル分布を求めた。

$$\mu^2 = 1 - \left(\frac{\omega_p}{\omega}\right)^2 \quad \omega_p; \text{ プラズマ角周波数}$$

我々は、屈折率として上記のものでは興味がないので、Appleton-Hartree型のものを用い、放射される電波をOrdinaryとExtraordinaryとに分けて、真空の場合と比較し、プラズマの存在によってスペクトル分布が如何に変化するかを調べてみた。従来、多くの人々によって種々の方法で、プラズマ中での電子によるサイクロトロン運動の各高調波の放射強度が求められているが、我々はLienard-Wiechertのポテンシャルを使って、各高調波の放射強度の計算式を求め、計算機を使ってスペクトル分布を求めてみた。なお、電子は普通磁力線を軸にして旋運動をするが、今回は特に円運動を行なうものとして数値計算を行なった。プラズマの存在によって、 ω_p の近傍でX一モードは著しく変化し、電子の運動速度によっては、鋭い谷をもつ。又O一モードとX一モードの放射強度の比も、周波数によって著しく変わる。これらの得られた結果について報告する。

90 太陽宇宙線の惑星周空間でのAnisotropic diffusion (II)

近藤一郎 藤本和彦、長島一男

名古屋大学理学部物理

前回の報告で惑星周空間において太陽宇宙線がどのように拡散を行なうかについて考察を行なった。すなわち惑星周空間に存在する garden hose type の磁場のため、磁力線の方向とそれに直角な方向とで異った拡散を行なうと考えた。そこでオイコロジーで示すとく太陽から radial にのびる磁力線の方向とそれに直角な方向とでそれぞれ D_{\parallel} , D_{\perp} なる異った拡散係数をもつ空間を考えた。そして太陽宇宙線源の位置と太陽-地球方向とのなす角(θ), 時間との関数として地球における宇宙線強度を求めた。前回は点源を仮定し地球で強度が最大になる時間(t_{\max})に対する関係と、太陽フレアの太陽面経度と地球での太陽宇宙線の到来時刻の観測値とを比較した。この比較から D_{\perp}/D_{\parallel} が $0.1 \sim 0.01$ の場合に観測結果が説明されることが示された。

しかし地球で観測される宇宙線強度の θ に対する変化は実測に比してやや大きすぎるところがわかった。

実際の太陽フレアにおいては太陽表面で加速された粒子は太陽面近傍で轉度、経度方向に拡がったのち惑星周空間へ拡散することが認められていく。そこで宇宙線の源がある拡りを持つていて場合について(1)の拡散方程式の解を求めてみた。

$$\frac{\partial P}{\partial r_e} = -\frac{1}{Z^2} \frac{\partial}{\partial Z} (Z^{k+2} \frac{\partial P}{\partial Z}) + \zeta Z^{k-2} \frac{1}{\sin \theta} \frac{\partial}{\partial \theta} (\sin \theta \frac{\partial P}{\partial \theta}) \quad (1)$$

$$\text{ここで } \gamma_e = D_{\parallel}/r_e^2, Z = r/r_e, \zeta = D_{\perp}/D_{\parallel}, \quad (2)$$

$$D_{\parallel} = D_e (\gamma/r_e)^p$$

$$\text{初期条件として } P(Z, \theta, \gamma_e) = S(Z - Z_s) \frac{\cos k \theta}{k+1} \delta(\theta) \quad (3)$$

とおけば、(1)の解は次のようになら。

$$P(Z, \theta, \gamma_e) = \frac{1}{\pi} \frac{Z_s^\infty}{Z_b^{2k}} \sum_{n=0}^{\infty} \left(n + \frac{1}{2} \right) P_n(\cos \theta) G(n, k) \sum_{i=1}^{\infty} \frac{J_{2n}(\beta_i Z_s) J_{2n}(\beta_i)}{J_{2n+1}^2(\beta_i Z_b)} \exp(-\beta_i^2 \beta_i^2 \gamma_e) \quad (4)$$

$$\text{ここで } \alpha = -(1+p)/2, \beta = 1-p/2, \gamma_n = \frac{1}{\beta} [\alpha^2 + \zeta^2 n(n+1)]^{1/2} \quad (5)$$

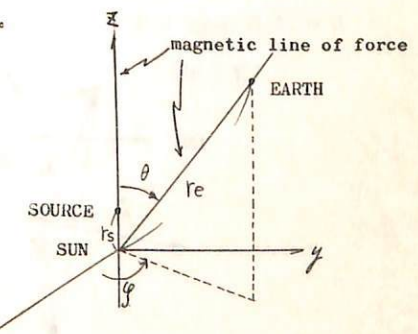
で、また β_i は $J_{2n}(\beta_i Z_b) = 0$ の条件で決まる。

$$\begin{cases} \frac{k(k-2)(k-4) \cdots (k-n+2)}{(k+n+1)(k+n-1) \cdots (k+3)} & n: \text{even} \\ \frac{(k+1)(k-1)(k-3) \cdots (k-n+2)}{(k+n+1)(k+n-1) \cdots (k+2)} & n: \text{odd} \end{cases} \quad (6)$$

(4)に示した解をもと、 k 等をパラメータとして γ_e と θ との関数として数値計算し極大による $\gamma_e(\gamma_{\max})$ とその時の強度 P_{\max} の θ に対する変化を求めた。

これらの結果を総合すると地球で観測される太陽宇宙線強度の時間変化と太陽フレアの太陽面経度との関係は

D_{\perp}/D_{\parallel} を $0.1 \sim 0.05$ とし、 k を $10 \sim 50$ ($\theta > 10^\circ \sim 20^\circ$) とした際に consistent に説明される。



91 高エネルギー宇宙線の恒星時非等方性

鶴戸弥太郎, 長島一男, 近藤一郎, 村山高, 奥田治之, 砂原志津子, 藤本和彦
名古屋大学理学部物理

高エネルギー宇宙線の銀河系空間での流れについて最近いくつかの研究が行なわれ、(Jacklyn, Nagashima, Sakakibara) 地球の北半球では恒星時18時, 南半球では6時の方向からの流れがあることが推測されている。これは銀河の腕の方向が地球の赤道面に対し約40度傾いていることを考えれば腕に沿った流れが互いに向かい合って存在することを示唆するものである。

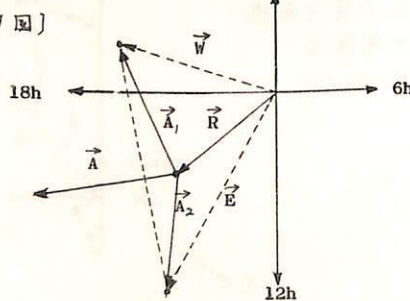
われわれは1960年以来宇宙線望遠鏡オ3号を用いてエネルギー($\sim 300 \text{ GeV}$)の宇宙線の非等方性の観測を続けてきた。今回は1964年1月から1966年3月まで約2カ年の観測結果を解析した結果を報告する。

今回の観測では望遠鏡の天頂角を 60° に固定し、方位角は $28^\circ(E)$ と $288^\circ(W)$ とに隔週に向けたこれによって赤緯 $30^\circ \pm 5^\circ$ の同一の天球を二方向で観測することができる。このような観測による強度変化には、(1)望遠鏡の指向する天球の部分からの宇宙線の流れの変化、(2)望遠鏡オ3号は鏡筒内の空気中でのチエレンコフ光を利用していたり、空気の密度の変化による計数の変化、(3)光電増倍管等電子回路感度の温度による変化、(4)大気中にかけられた中間子の吸収、崩壊の気圧、気温による変化等を含んでいる。ところで(2)～(4)に列記した変動は、望遠鏡の指向する方向にかかるらず観測を行なつた時期の大気の状態によつて、主として太陽時に従つた変化をする。これに反し(1)に起因する変動は観測を行なつた時期でなく、望遠鏡の指向する方向(それぞれ時角が $\pm 5.2\text{hr}$)に従う。そこで二つの方位角での測定結果を比較することにより(1)を(2)～(4)と分離することができる。また宇宙線の流れには銀河系空間内の磁場によるものと、惑星内空間磁場によるものとがあるが、前者は恒星時、後者は太陽時に従つて変化するので年間を通じた観測からこれらを分離できる。

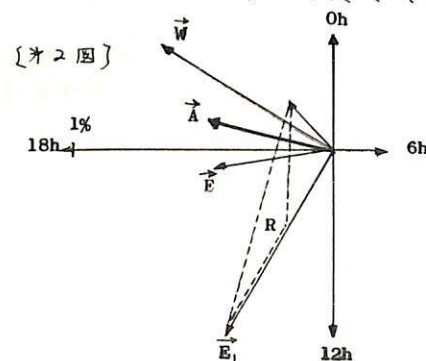
今回は観測されたdataの中、望遠鏡に含まれる10個の小望遠鏡がすべて正常に動作した日の分を選び Fourier 解析を行なつた。今 E と W との観測結果を観測が行なわれた時刻についての日変化ベクトルとして表わすとオ1図に示すごとくなる。すなわち大気状態によるものは E , W 共通に \vec{R} とよぶベクトルとなり、(1)の非等方性によるものは同時刻に E , W それぞれで望遠鏡が指向する天球の赤経の差(10.4hr)で定まる一定の角度を持つ2つの等長のベクトル \vec{A}_1 , \vec{A}_2 で表わされる。従つて \vec{E} と \vec{W} とで観測された日変化ベクトルの差($\vec{E} - \vec{W}$)を求めると、それは真の非等方性ベクトル \vec{A} の1.8倍の長さで 90° 位相が変化したものとなる。

このような解析方法を用いて実測のdataを解析してみると全体の平均としてオ2図に示すように \vec{E} と \vec{W} を得る。実際には E と W とでは同一の日に観測を行なつてないため大気状態による変動は同じではないのでこの点を考慮して補正を行なうと \vec{E}_1 と \vec{W}_1 となる。 $(\vec{E}_1 - \vec{W}_1)$ から求めた恒星時非等方性は \vec{A} で示されたごとく $0.05 \pm 0.017\%$ の大きさで $19 \pm 1\text{hr}$ からの流れを示している。

[オ1図]



[オ2図]



92 Sunspot Minimum附近の宇宙線日変化

89

理研 奥谷晶子, 和田雅美

宇宙線日変化の22年変化がvector diagram 上では時計回りの11年と反時計回りの11年とで構成されることを以前報告した。Sunspot Minimum附近, 1933, '44, '54, '65年が回転の turning point に当る。'33, '44, '54年のMinimumは、宇宙線の観測 data が少くMeson が主なので(気温効果を含む鳥) turn の様子がはつきりしなかった。近年は精度の良い Super Neutron Monitor の観測があるので、これに IGY-Type Neutron Monitor の観測も少し加えて(Table 参照)、'64 ~ '66年の宇宙線日変化を調べた。

主な結果は

1. 1965年10月が turning point に当る
2. turning point 前後の季節(3ヶ月) 平均 Vector より、1ry 異方性の変化を求めるとき、方向は $18^{\circ} \pm 1^{\circ}$ 、振巾は '65年春より '65年秋にかけて減少し、その後、'66年春にかけ急速に増大する。この期間の日変化の spectrum ($\Delta j/j = k p^{-m}$) に於ける m の値は 0 附近である。
3. 1965年の月平均 vector は、北半球でも南半球でも反時計回りに turn する。
4. 1965年の年間変化より各 station の単純な恒星時日変化を導くと、位相は $8^{\circ} \pm 2^{\circ}$ 、振巾は $0.04 \pm 0.02\%$ の範囲におさまる(geomagnetic diffraction 未補正)。これは IGY 期間に南半球と北半球で 12h 位相がずれて観測された恒星時とは異なる。日変化の永年変化の一部か、或いは恒星時日変化が目下検討中である。

Table					
station	position	rigidity (BV)	station	position	rigidity (BV)
Calgary (S)	Canada	1.2	Port-Aux-Francais (S)	France	
Churchill (S)	"	0.2	Hermanus (S)	R.S. Africa	5.1
Dallas (S)	U. S. A.	4.0	Mawson (IGY)	Antarctic	0.2
Deep River (S)	Canada	1.0	Mt. Wellington (IGY)	Australia	1.9
Durham (S)	U. S. A.	1.4	Wilkes (IGY)	Antarctic	0.2
Goose Bay (S)	Canada	0.6			
Inuvik (S)	"	0.2			
Kiel (S)	Germany	2.4			
Leeds (S)	U. K.	2.2			
Oulu (S)	Finland	0.9			
Pic-du-Midi (S)	France	5.3			
Sulphur Mt. (S)	Canada	1.2			
Swarthmore (S)	U. S. A.	2.0			
Thule (S)	Greenland	0.6			

93 來鞍に於ける高精度宇宙線中間子計の設計

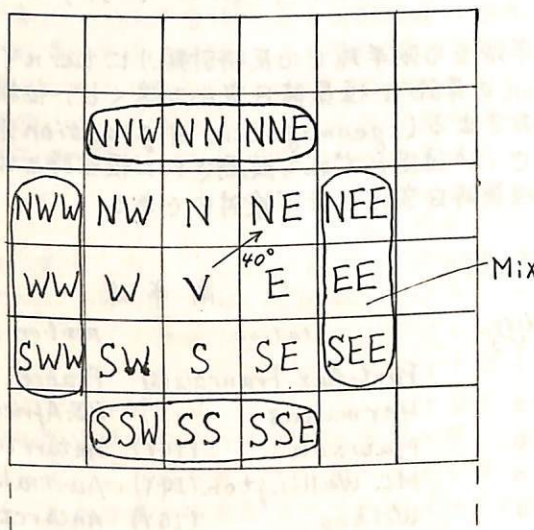
長島一男 上野裕幸 藤本和彦 藤井善次郎 *一之瀬匡綱 近藤一郎
名大理 *信大教養

昭和41年度、来鞍共で大面积宇宙線計 (area $12m^2 \times 2$) の大阪市大 Air Shower 装置) を用い、宇宙線短周期変動の観測を行ひ、種々の結果を得、前回の学会に報告した。又、この観測は、これから述べる高精度宇宙線中間子計の設計に於ける基礎資料を与えた。上下2層より成る Scintillator tray detector (各々36コの Scintillator box より成る) を用いて、上下の single counts 及び、下図に示すような13種類の coincidence counts を計数、記録する予定である。

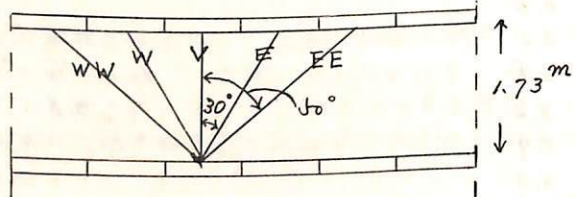
昭和42年度は、Scintillator tray detector (各々12コ) を用いて、予備観測を予定している。

今回は、高精度宇宙線中間子計の設計を中心にして、この計画の地球物理的目的等について、述べる予定である。

1 m



予想計数		counts hr	精度 %
Singl	1400		
Vertical	330	万	0.06
N, S, E, W	150	万	0.08
NW, NE		万	
SW, SE	70	万	0.13
(NN,NNW,NNE)		万	
(SS,SSW,SSE)		万	
(EE,NEE,SEE)		万	
(WW,NWW,SWW)		万	0.13



北村正直・太田垣三和3
(気象研究所)

我々は二小まで、宇宙線中間子成分及び中性子成分の日変化の解析、又は地工及び山工の日変化の解析あり。宇宙線太陽日変化は従来のようは惑星同空間における一方同非等方性のモデルで方位相差を説明可る二とか出来ず、二方向非等方性のモデルによれば説明が小易事を示して来た。ここでは、二モデルによれば宇宙線日変化の緯度効果を検討する。

惑星同空間における二方向の非等方性を小量
れ Δj_1 及び Δj_2 とし、

$$\begin{aligned}\Delta j_1(E, \Psi) &= k_1 j_0(E) (E/E)^{m_1} \cos \Psi \quad (E \geq E_1) \\ &= 0 \quad (E < E_1) \\ \Delta j_2(E, \Psi) &= k_2 j_0(E) (E/E)^{m_2} \cos(\Psi - \Phi) \quad (E \geq E_2) \\ &= 0 \quad (E < E_2)\end{aligned}$$

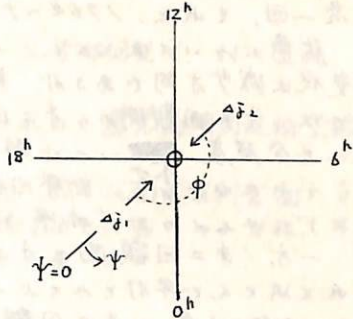
可る。ここで $j_0(E)$ は一次宇宙線の平均の工
ネルギー微分スペクトルヒレ、坐は石園の様に及
時計回りに測る。

二の様にして場合、先に（日本地球電磁気学会、第41回講演会）行へた高緯度地帯 (Deep River) における宇宙線日変化の解析あり、 Δj_1 , Δj_2 の方向を各々 20° 及び
 8° 方向 ($\Phi = 180^\circ$) と可る。且 $m_1 = 1 \sim 2$, $m_2 = 0$, $E_1 \sim E_2 \sim 10 \text{ Bev}$ とす = 20°
示す。

二二では上述の値を用ひて地工及び山上の中性子成分日変化の緯度効果を計算して結果、大体観測に近い値が得られる。二の場合

($m_1 = 1$, $m_2 = 0$) のときは $E = 10 \text{ Bev}$ における $\Delta j_1/j_0 \sim 0.5$, $\Delta j_2/j_0 \sim 0.05$ となり

($m_1 = 2$, $m_2 = 0$) のときは $\Delta j_1/j_0 \sim 0.3$, $\Delta j_2/j_0 \sim 0.015$ 程度であり。前者の方が観測と
一致はやゝ良いようである。



95 新潟地震に伴う地磁気変化の可能性について(III)

水野 浩雄

國 土 地 理 院

静かなる日の夜間値を基礎として、新しい化成方法を考え、新潟地震に関連する地域の碰気測量の成果に適用し、過去二回主に偏角の変化について報告した。今回更に他の成分についても吟味をすすめてみた。

新潟地域の一、二等磁気(真)では、おおむね 1954年(第一回), 1960~61年(第二回)
に各一回、それと、1964~65年に行なわれた地震後の観測成果がある。

伏角についてはとくに error source が少いものと見て注目してみた。伏角の年変化は減少方向であるが、新潟地震震央付近から北へ向けて日本海沿岸に分布する磁気炎では、オ一回観測からオ二回観測の間の静おん回復時間の減少が、柿岡川相対的に約1/2分程度 ~~は~~ が特徴である。この傾向はせ湯別観測所のデータとも一致する。それにつき小笠、新潟田付近を境として南の方の炎では減量が相対的に大きく、
ように北の方のが深い。(逆)

一方、第2回観測と第3回観測とを比べてみると、静かなる日夜間の変化は横岡のそれとほとんど平行とみてよし、特別の変化はなくこれが長い。

1964～5年の半三回観測に際して、三回のくりかえし観測が行はれ良くなつていても、地震後の数ヶ月間に特徴的な変化があることは思われない。

前回 偏角については、オ一回、オ二回観測の間に柿岡とはほぼ同じ変化を示す。オ二回、オ三回観測の間に柿岡には異なった変化が報告され、伏角の例もオノミラハニ山と以てただちに地震に因連して地盤気圧に変化がある。オノミラハニ山は早計であろう。他の成分の変化を含め、慎重に検討する。

96

松代地域における地磁気観測

今 実、 大和田 真一

地磁氣觀測所

地磁気観測所では、1965年10月末から1967年9月まで、松代の地震観測所構内に地磁気3成分(H-Z-D)変化の連続観測と絶対値測定(1966年8月末から)、プロトン磁力計によるtotal forceの観測を追加)並びに松代町周辺の数箇所においてDip測定を実施した。これらの値を柿岡と比較した結果について報告する。

一部に観測の休止期間があるが、両者の日平均値の差の変動は数ガンマ程度であるが
1966年3月には10ガンマを上回る変化がみられた。周辺におけるDip測定では
保科の変化が大きく、当初から1966年3月までに約2'の減少が認められた。ほかに地
震発生時前後の変化についても調査した分について述べる。

○ 小松 祖、来栖 喜久男、永野 哲郎、他
地磁気観測所 鹿屋出張所

桜島周辺に8観測点を選び、1962年(昭37)以来 磁気測量を行っているが、現在までの結果を要約すると 下記の通りとなつた。

1) 桜島の磁気異常

水平分力(H)については、南側古里付近にオーヴ極大、その北西、橋腰付近にオースのそれがあり、北側、白浜付近に極小がある。

鉛直分力(Z)、伏角(Dip)、および偏角(D)については、三者略同型で、 H と大凡、対称型をなす。

これは、1964年(昭39)、水路部 松崎、敵代氏により行われた 鹿児島湾周辺航空磁気測量結果(全磁力)と略一致する。

これを1946年(昭21)3月の大爆発(島の北東方黒神方面、および南方有村方面に多量の熔岩流出)の前年、湯村氏により行われた測量結果と比較すると、 D については、その方向に磁気異常が見られる。他成分については明らかでない。

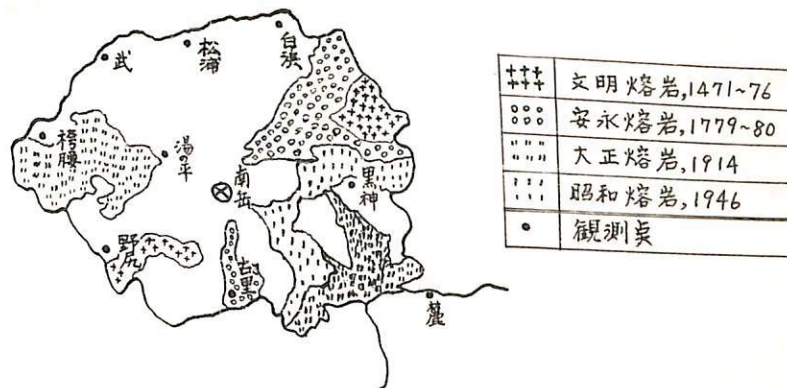
2) 変化観測結果

1963年(昭38)活動期の後期、11月、約1ヶ月間、古里において D 、 Z 2成分の継続変化観測を行い、鹿屋地磁気との毎時値比較を行った。その間十数回の中・小爆発があったが、

- i) 爆発前後の地磁気変動について、兩地点の毎時値差からは明らかでない。
- ii) 兩地点の地磁気の日変化の較差は、 Z で約10ガムマ、 D で約1分あることが判った。
- iii) 期間中観測された短周期変化(bay 10ヶ、SSC 2ヶ)については、その振幅を比較すると、 Z では兩者略一致、 D では 古里キ1.25×鹿屋 となった。

3) 1967年(昭42)活動期の磁気測量

本年5月末以降 全島の活動が活発化したが、5月29、30日、8月、9月、10月3日(2日午後10時36分や、大きな爆発あり、今年93回目)、主として、古里、白浜において測量した結果を報告する。



桜島・熔岩と磁気観測点分布

以上

国土地理院（藤田尚美）

1967年1月～3月に亘り、近畿地方南部において航空磁気測量が実施された。測量飛行距離はビーグルラット、測定高度は約3,000m、南北コースの間隔は5～10km、コース内の測定間隔は約5/4km(15秒)で、全磁力をプロトン磁力計で測定した。杆体磁気は、北向き0°、南向き-60°であった。変化磁場は、測地観測所の全磁力記録を用いて補正した。

現在までに得られた結果は次のとおりである。

- 1) 高度3,000mと100m以上の全磁力異常は見出されない。
- 2) 全磁力異常と地質との関連は薄い。
- 3) 全磁力異常と地形(陸上および海底)との関連も殆んどない。
- 4) 中央構造線に亘る全磁力異常が見ら小さく。
- 5) 南海道地震等の過去の大震災の震央附近には有意な異常が見ら小さく。
- 6) 地磁気の経年変化の異常地域(白浜附近)でも特に異常はない。

藤田尚美

口土地理院

日本全土をグローブに分け、各グローブにおける二等磁気測量から、磁気異常頻度分布が得られる。 (原田, 1964) これによれば、東北日本における磁気異常頻度分布は西南日本におけるものと大きく異なる。

磁気異常の有る原因としては次のようなものがある。即ち、
地表の影響 — 地質 ①

地下の影響 — ベーゲー異常

{ Basaltic Layer の上層面 ②
Curie Point Isotherm — 熱流量 ③

磁気異常は、観測点からの距離の関係で ①, ②, ③ の順に小さくなる。 ④

測定点はおおむね起伏の少ない所に立かれており、地形の影響を無視して平面上にあるとした。まづ、

1) 表層地質の割合を各グローブ毎に求めよ。

2) 測定点が一様に分布してい場合、平均上にかけ算された磁気異常 ΔZ の頻度分布を求める。

3) 自由度 χ^2 、鉛直分佈の最大磁気異常は次式を用ひよ。

$$\Delta Z = 2\pi(I_1 - I_2)$$

ここで、 I_1 , I_2 は上下方向の磁気モーメントとし、 I_1 , I_2 たる岩石が垂直の境界となして半無限に存在する。

上記 1), 2), 3) を用ひて各グローブの磁気異常 (ΔZ) 頻度分布を求めよ。原田の頻度分布図とは、東北日本において特に磁気異常の小さな領域における頻度が著しく異なる。

東北日本の頻度分布に、磁気異常の 1 イズ・レベルとして $200^{\circ} \sim 300^{\circ}$ を与えよ。両者の分布は定性的に近づく。このことは東北日本における $B.L.$ の算磁率は $10^{-3} C.G.S.$ の程度と常の生成モデルを同一とした場合、西南日本における $B.L.$ の深さは東北日本におけるそれの数倍と推定される。

100 伊豆大島に於ける地磁気短周期変化の異常(4)

益井洋一

東大地震研究所

伊豆大島に於ては、短周期変化の Δ 成分が島の南北で逆転し、Parkinson Vector は海の方向を向くことを報告したが、これ等の現象は海水中に誘導された電流によるものらしい。そこで力武が汎世界的な海電流分布を求める方法にならって、同様な計算を大島近傍の海に限って行なつてみた。

current function を Ψ とすると

$$\rho \nabla^2 \Psi + \text{grad } \rho \cdot \text{grad } \Psi = \frac{\partial}{\partial t} (Z_e + Z_i)_{z=0}, \quad \nabla^2 = \frac{\partial^2}{\partial x^2} + \frac{\partial^2}{\partial y^2} \quad (\text{Price}) \quad (1)$$

もし島が無いと仮定して(平均的な深さを持つ一様な海でもよい)みると、

$$\rho_0 \nabla^2 \Psi_0 + \text{grad } \rho_0 \cdot \text{grad } \Psi_0 = \frac{\partial}{\partial t} (Z_e + Z_{i0})_{z=0} \quad (2)$$

$$(1) - (2) \quad \rho \nabla^2 \psi + \text{grad } \rho \cdot \text{grad } \psi = -(\rho - \rho_0) \nabla^2 \Psi_0 - \text{grad } (\rho - \rho_0) \text{grad } \Psi_0 + \left(\frac{\partial Z}{\partial t} \right)_{z=0} \quad (3)$$

ここで $\Psi = \Psi_0 - \Psi_0$, $Z = Z_i - Z_{i0}$,

考へている領域の中で島が十分小さければ Δ を無視できる

$$\rho \nabla^2 \psi + \text{grad } \rho \cdot \text{grad } \psi = -(\rho - \rho_0) \nabla^2 \Psi_0 - \text{grad } (\rho - \rho_0) \text{grad } \Psi_0 \quad (4)$$

self-induction term Δ を無視しているので、(4)式は結局 steady current の式と同じになるが、 Δ 成分の振幅のみを比較する場合に一応の目安は得られるであろう。

Inducing field は $W_e = A e^{i\omega t} e^{iz} \sin kx$ の如く一方的に周期的に変化するものを考へ
 $\lambda = 10^{-8} \text{ cm}^{-1}$ とした。 ρ_0 としては深さ1 kmの一様な海を考え、大島を中心 40 km 四方の海の深さを1 km間隔で読みとめて ρ をえた。又陸地に対しては1 kmの海の100倍の抵抗値をえた。 40 km 四方の境界では島の影響は無いとして $\psi = 0$ という境界条件の下に(4)式を緩和法で解き、電流分布と磁場を求めた。

所で大島の近傍では島の北と東側の海がかなり深い(1.5~2 km)の方針し、西側および南側は500 mよりも浅い。当然予想される通り、北向きの inducing field に対しては、北側の海に強い電流が流れれるが南側では弱い。島の南北で Δ 成分は逆転する傾向はあるが、島の南端で観測されるような大きな Δ 成分の振幅はどうてい期待できず、もともとH成分とcoherent な Δ 成分が、海電流によって更に強められていると考え下方が良い。西向きに変化する場合は、島の西側の海に流れれる電流は弱く、島の西端で、ほとんどD成分と Δ 成分の相関が無いといふ事実と符合する。

結局、大島各所の Δ 成分の異常を海水中の誘導電流のみによって説明することは困難であつて、伊豆大島附近は柳岡に見られるような Δ の異常変化領域に属し、それに二次的に海水中の誘導電流の影響(所謂 island-effect)が加わったものと考えた方がよさそうである。

101 紀伊半島に於ける地磁気短周期変化の異常 (1)

延井洋一
東大地震研究所

801

今年3月以来、紀伊半島南部で、3台の Flux-Gate 磁力計を用いて観測を続いている。紀伊半島の南端下里では、短周期変化のZ成分が異常に大きいことが知られる。いわゆる Central Japan Anomaly 領域に属するものと考えられてきた。しかし伊豆大島での観測が明らかにしたように、海水中の誘導電流の edge-effect は無視できない大きさであるため、どの程度この影響があるか調べるのも目的のひとつである。序報として今回は3つの観測実の記録を示すが、明らかに内陸においてはZ成分の振幅が小さい。

102 地磁気3成分の地点差について

荒木 健
柿岡地磁気観測所

地震にともなう地磁気変化の検出のための基礎調査として擾乱分除去の研究は total Field については刀武先生、地磁気3成分については久保木氏等の研究がある。

筆者は先に1964年の資料を用いて、観測所間の3成分の地点差並びに半旬平均値の地点差について調査し柿岡の要報に発表したが、それぞれの地点差の標準偏差は下表の通りである。

日平均値の

単純な地点差 (1964)

	H	Z	D
Mb. Ka	± 2.1	± 1.9	± 0.19
KY. Ka	± 1.6	± 1.6	± 0.17
Kn. Ka	± 1.4	± 2.3	± 0.21

半旬平均値の地点差 (1964)

	H	Z	D
Mb. Ka	± 1.6	± 1.4	± 0.14
KY. Ka	± 1.3	± 1.1	± 0.12
Kn. Ka	± 1.2	± 0.8	± 0.09

今回新たに電子計算機により、久保木氏のやられた変化比による擾乱分除去等を1964年の日平均値について行ったのでこの結果を報告する。

これによると、標準偏差は下表の通りである。

変化比により補正したもの、日平均値の地点差 (1964)

	H	Z	D
Mb. Ka	± 1.8	± 1.7	± 0.18
KY. Ka	± 1.7	± 1.9	± 0.13

この値は 久保木氏の計算値より大きな値であるが、これは 1 年間の値を使ったためである。

以 上

「Dst場の地域差に関する解析Ⅲ」

木田 宗久
東大農研

I. G. Y., 期間中の4つの磁気嵐のDst場について, World wide K
分布した中低緯度の観測所の記録を用いて解析中である。前回, 磁気ポテンシアルの係
数を求め, 地球内外に原因を有する部分に分け, 外に原因をもつP₉X上の時間と
ermの位相のずれを調べると, これらはLocality timeにより保存するものとはと
いう結論が得られたことを報告した。

今回は

- (i) 磁気ポテンシアルの係数の外部に原因をもつ部分より, ΔX_m , ΔY_m , ΔZ を合成し
て, その経度依存性を論べると, 前回と同じく地理的経度によるものが大きいことか,
否かをめざす。たゞし, 4つの磁気嵐について, 定量的に有意な結果は得られなかつた。
- (ii) ポテンシアルの係数の両部分の実体を説明するより, 地球と地殻, およびその
外電伝導度一定の中間層, 内核の3層のモデルを用いて調べてみた。たゞし, 地殻
層の深さを前に RIKITAKE にて求められた 400 km と仮定した。4つの
磁気嵐のDst場について, かなりのバラツキが認められるか, RIKITAKE MO
DEL を大きく修正するより結果は得られなかつた。
- (iii) またこれらのMODELについて電導度の分布を調べた。
- (iv) また, (i)の外に近似として, 同じく地殻層の深さを仮定して 0 カドのみの実数である
とした場合について調べた。

行武 敦
東京大学 地震研究所

1. 球函数合成による非双極子磁場

従来は、地球磁場の非双極子部分は木山の方法、世界中の観測資料を用いて、
緯度 $10^{\circ} \sim 20^{\circ}$ の区域で、多くの双極子磁場を差し引く方法で計算されて
いた。これは、古く時代の地球磁場が、可逆球函数の展開式を用いて場合、
つまり、球函数合成による非双極子磁場を求める方法。観測値を双極子磁場を差し
引いて木山の非双極子磁場と球函数合成して得たものが 1945 年の磁場につ
いて比較的多い。両者の差の root-mean-square $\frac{1}{\sqrt{N}}$ 頂点成分 2.477708° 、磁気異
常の半径差は約 6° の差がある。大勢は図 3 のように差は土 1° である。

2. 非双極子磁場の永年變化

地球磁場の球函数解析は、古く从 1550 年の磁場に対する Fritsch の実施から始ま
る。次に各時代の木山、非双極子磁場を合成した。

1550 (Fritsch), 1600 (Fritsch), 1650 (Fritsch), 1700 (Fritsch), 1780 (Fritsch, Carl von Gyllensköld)
1829 (Erman-Peters), 1835 (Gauß), 1845 (Adams), 1885 (Schmidt), 1945 (Vestine et al.),
1955 (Finch-Leston), 1965 (Leston et al.)

この中から木山。

二つ目は合成したもので、地球上の数箇の正負の異常の分布があるが、その時間変
化を次のようにまとめられる。

a) 西方運動による異常

アフリカの島の異常：成長（右から西へ $0.37/\text{yr}$ ）運動

南米の正の異常：成長（左から西へ $0.15/\text{yr}$ ）運動

b) 静止による異常

b-1) 成長もしくは消滅しつつあるもの

例：シベリアの正の異常 $\approx 50^{\circ}/\text{yr}$ 成長

b-2) 滞在位置の変化なし

例：北米の正の異常

一方から、いくつかの顯著な異常の中でも西方運動（左から右）は、279 異常で占め
たもの優勢な異常は滞在位置の変化なし。又現在も最も大きな異常の一つである
シベリアの正の異常は、17世紀から急速な成長（左から右）を示すかわらず

105 非定常 Bullard-Gellman ダイナモモデル(1)

力武常次・萩原幸男
東大震研

Bullard と Gellman によつて研究されたダイナモモデルは地球磁場の維持を近似的に証明し、地球核内のダイナモ作用を realistic に表現したものとされている。著者らは各種ダイナモモデルについてその非定常的ふるまいを考察してきたが、今回は B-G モデルの非定常的様相を調べた。

まず流体運動は与えられたものとして、電磁力の反作用を省略して問題を簡単化した。運動速度のいくつかの場合について零磁場状態に一様な双極子磁場を与えた場合を調べた。

時間の経過とともに双極子磁場は数百倍に達するトロイダル磁場の発生がみられるが、速度の小さい場合には再び減衰してしまう。速度の大きさが特定の固有値をとる場合には、系は定常状態に達するようになるが、その値は Bullard および Gellman によって与えられたものより若干大きい。

定常状態に到達する時間は 2000 年程度であり、核内の磁場の自由減衰時間と同程度である。注目すべきことは、双極子磁場の定常値は初期値より小さな値をとることであり、地球磁場が小さな磁場の芽から成長したと考えることは、このモデルに與する限り困難である。

B-G モデルの非定常性は運動に対する反作用を考慮にいれながらに発展させる予定である。

106 近畿の鮮新・更新統の火山灰層の古地磁気

前中一晃・笠嶋貞雄
京都大学理学部地鉱教室

近畿の鮮新・更新統、すなわち大阪層群・古琵琶湖層群・菴芸層群には30を越す火山灰層がはさまれており、これらの火山灰層は層序学的研究によりその上下関係が明らかにされている。筆者らはこれらの中山灰層について、それらの自然残留磁気の測定及び含有強磁性鉱物についての熱磁気分析、化学分析、X線分析といった古地磁気学的研究を行っている。

今回は試料として、大阪の千里山丘陵、高槻、京都深草、琵琶湖周辺の丘陵から 鮮新・更新統の最下部より最上部にわたる15層の火山灰を採集した。

現在迄に測定された結果を下位より列記すると

1. 近畿の鮮新・更新統下部(古琵琶湖層群下部)の火山灰層は正帯磁(normal magn.)している。
2. 鮮新・更新統境界付近の火山灰層(イエロー火山灰など)は逆帯磁(Reverse magn.)している。
3. 更新統下部(ピンク火山灰層)は正帯磁している。
4. 3の上位のアズキ火山灰層は既に報告されている通り、逆帯磁している。
5. アズキ火山灰より上位の火山灰層(深草・カスケ火山灰など)は正帯磁している。
このことは地質学的資料を考え合わせると、アズキ火山灰層が最新の Reverse epoch (0.7~0.9 M.Y.)に相当する可能性が大きい。

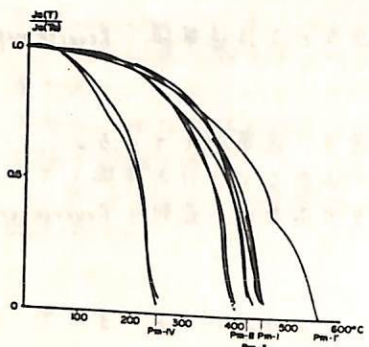
現在これら火山灰層の Dating の計画も進められており、その結果ともあいまって、鮮新世-更新世の古地磁気による Geochronology を確立できるものと思う。

107 信州ローム層パミス中の強磁性鉱物の磁性予報

百瀬寛一

信州大学理学部

オ四紀のうち比較的新らしい年代のクロノロジーは、テフラ(大山降下物)中の浮石・スコリヤの性質(テフロクロノロジー)によつて定められている。オホ表は1970年秋のテフラ中の浮石の性質を示してある。(5~6万年~2.7万年)。表から知らるる如くテフラ中にPm-I' ~ Pm-5までの浮石層がある。筆者はこれらパミス中の強磁性酸化物($\chi = 0.1 \text{ cm}^3$)のキュリー温度を測定した。その熱磁気曲線をオホ表に示してある。各パミス中の強磁性鉱物のキュリー温度が新らしいテフロクロノロジーのチャートとなるのでかなりかじ考えられる。



伊那東中学校パミス中の強磁性酸化物の
熱磁気曲線 (Saturatin field $H = 20000 \text{ Oe}$)
各曲線は heating process,
キュリー温度は第1表参照)

第1表 信州ロームの浮石とスコリアの諸性質(小林, 1966)

	H/T	CDM	Pict. descri	hor	aug	hyp	Magnirc	他	色 彩	CP. °C
Sc-2(P-5)	610	HY	—	3.0	135	652	18.2	—	—	25YR5/8
Sc-1(P-4)	289	Ma+Hy	—	—	147	531	32.2	—	—	25YR4/8-5YR4/8
P-8 (DS-X1)	320	Ma+Ho	—	29.9	—	254	44.7	—	—	10-7.5YR6/8
P-8	140	Hy	—	3.2	3.2	56.2	37.3	—	—	10-7.5YR6/8
P-2	165	Ma	—	21	—	22.2	75.7	—	—	5YK6/8-7/8
P-2	210	Hy	—	6.4	—	77.5	15.6	0.5	—	10-7.5YR6/8
P-1	5.9	Ma+Z	+	38.2	5.6	95	37.4	6.7	25	10-7.5YR7/8 10YK8/3
P-1	9.0	Ma	+	21.4	4.3	5.6	59.0	1.3	85	7.5YR7/2

H/T 手鉢物: 全量(%) CDM 判定上注目される多量鉱物

Sc-1と2の区別では Sc-1は Ma CP キュリー温度(°C)

P-3とP-3'は上下関係不明

108 京都府北部峰山の Boring Core の残留磁気について

て

西田潤一 増田康之 齋嶋貞雄
京都大学理学部地質学矿物学教室

京都府竹野郡峰山町上柳で昨年末までに原子燃料公社が數十本のボーリングを行なった。ニホンの中より十数本を選定し、その残留磁気測定を行った。ボーリング深度は地表より 100~200 mあり、測定試料数は約 200 個で主として火山岩を対象としている。ニホンの地帶の火山岩は時代的には中新世中下部と考えられ、各ボーリング孔毎に数枚の熔岩が認められる。ニホンの岩石に於て伏角のみが観測され偏角は判らぬ。各コアヒットで行なった伏角残留磁気による磁気層序の結果及びニホンの岩石の磁気的性質について報告する。

109 烏取県大山附近及び島根県浜田市附近の古地磁気

浅海英三・岸武保・黒谷明嗣
島根大学文理学部物理学教室

鳥取県大山附近の鮮新世の安山岩及び島根県浜田市附近の中新世の安山岩について其の N.R.M. を測定した。熱消磁交流消磁等のテストが装置の都合上本されず、取りあえず 300°C まで熱して安定不安定の見当だけつけて不定定のものは除いた。そのうち逆のものか一つだけあるが dating が仄々とされない。この時代のどの逆に相当するのかは判りない。

110 長野、群馬県境に分布する火成岩の磁気

村田宣雄
長野県立 長野高校

長野県と群馬県の県境付近に分布する火成岩、特に第三紀末から第四紀の初めにかけて噴出しきと推定されるものの NRM を測定した。この調査は地球磁場の逆転に関する資料を得ることを一つの目的としているが、目下のところ逆転期の火成岩にはぶつがつてない。またこれら火成岩の正確な年代決定など今後充足すべき事項も幾つかあるが、一応今までに得られた結果を総括し併せて地球磁場の変化に関する事実を一二報告する。

111

Paleomagnetism and K-Ar ages of successive lava flows.
(155)

小嶋裕一郎、河野長義、園田一郎、木下草太、中原泰、水田武、舍谷一、喜多重雄
*) 東大・理。 **) 地質調。 ***) 草太・震研

地質時代は古川河、地磁場が逆転したことは、後づき主として東京付近。しかし、地磁場が逆転する様な状態は現在の所よく理解されてゐる。本研究では、これら地磁場逆転の時間的距離を推定するため、正→逆→正の順序で岩体を2つずつ successive lava flow にして、K-Ar年代測定及び古地磁気研究を行つた。試料は山口九州松浦玄武岩及び山形長野県温泉井戸、主に東北地方である。結果は、山口九州の試料も若干同化してしまつたが、求めた年代はK-Ar年代は若干の不確さがあるが、正→逆→正の時間的距離を推定することができた。松浦玄武岩の年代は約800万年、山口試料は約300万年であることがわかった。

112

南極昭和基地附近のK-Ar年代と地磁気

園田一郎、小嶋裕一郎、小嶋美都子、鯨川勝、田代征、永田武
東大理

方々は南極大陸R.F.、東方アーテル島、リエーツブルム湾東岸の露岩中より、新しく採取された試料（片麻岩）を採集され、K-Ar年代及V自然放射線測定を行つて、試料を報告された。

これら試料のK-Ar法による測定結果は、下記の如くである。試料は風化作用によることから、Arの逸散率を考慮して、これらの値は試料の minimum age とされるものである。これらと併し、以前この地成の試料について、U-Pb法、Rb-Sr法等、得られた約5億年の年代の値と矛盾しない。

これらの年代は用ひられた試料によって自然放射線測定の結果と一致するが、そのための確実の証拠を述べると、次のようである。

Sample	Nr. of specimen	NRM			V.G.P.		Age (10^6 yrs.)	
		D	I	Intensity	Lat.	Long.		
A0								
First basal I.	1	-7°00'	46°36'	$\times 10^3 \text{ em}^2/\text{sec}$	2.1	7°N	147°W	446
AL								
Lang Horde	2							
AD								
Nkarus Ned	6						364	

方々はアーテル島の試料より求めた磁極の位置は、当然のことながら以前求めた清水（1959）及永田・山谷（1961）R.F.と得られたものと一致する。

これら結果は、南極大陸の他の地域より求めた data と比較検討する所である。

113 深海底堆積物の残留磁化

小林 和男* 河野 長
東大 理 (現在 東大洋研)

北西太平洋の水深5,000~6,000mの深海底から採集された数本の堆積物コアの残留磁化を測定し、地球磁界の極性の変遷がどうかにそれらのコアに記録されているかを調べた。これまでに測定が行なわれた試料は Lamont Geological Obs. の Vema 号が採集したものの 4 本。東大洋研究所研究船白鳳丸によるもの 2 本 (V21-82, V20-130)、コアの水平面内の方針は記録されていないが、鉛直 (Z) 方向の残留磁化成分をじらべることによって磁化の極性は推定できる。実際には、残留磁化はコアを鉛直方向に約 5 cm ブツに切り、それぞれを無定位磁力計によって測定した。試料によっては堆積物表層から下へ十数 m と こうまですべて正向きの極性をもつもの (V21-82) もあるが、一見、きわめて見事な N-R の列を示すものもある (V20-130)。

含まれている強磁性鉱物はその Curie 点や結晶学的性質からマグネタイトに近いものと推定され、また、残留磁化は交流消磁等に対しかなり安定であることが示されているから、こゝに示されたような逆向き磁化は地球磁界の逆転をよく反映していると考えられる。

こゝの研究は古地磁気学としてはもとより、海層堆積、テクタイト学、古生物学等、いろいろの分野と関連して、将來なお一層興味ある発展をひげ得るものと期待される。

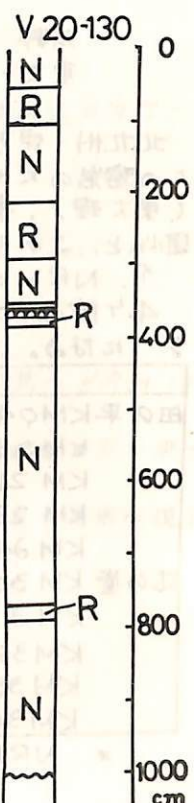
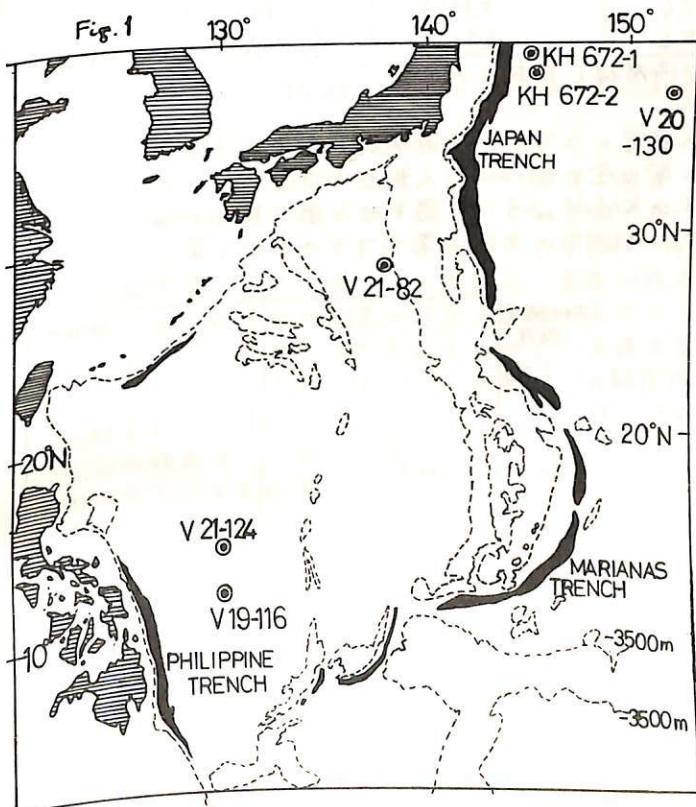


Fig. 2



Table

Core Ident.	Depth of Water	Length of Core
V20-130	5636 m	1028 cm
V21-82	4665 m	1400 cm
V21-124	5764 m	948 cm
V19-116	5841 m	1255 cm
KH67-2-1	5205 m	290 cm
KH67-2-2	5250 m	250 cm

河野 長
東大・理

北九州・伊万里市附近で得られた玄武岩溶岩の古地磁場測定結果について述べる。これらの溶岩の K-Ar 法による年代についてはすでに報告した。(東大古地磁気研究会レーフ (東大理), 倉木一(地質調), 1967年5月, 東京)。今回は、残留磁化の方向及び安定性と、これらのサンプルに Thellier 法を適用して得た古地磁場強度を中心と報告する。

1. NRM の方向及び安定性

4ヶ所のサンプルリング・サイトから得た19枚の溶岩の測定結果をまとめると次の表のようになる。この表で各サイト間の上下関係は不明であるが、同じ場所では下へ行くほど

	N	I*	D*	α_{95}	K-Age		N	I*	D*	α_{95}	K-Age
田の平 KM04	8	-41°	179°	15°		笛吹 KM02	9	-32°	-169°	33°	
KM08	5	-45	166	6		人形石山 KM41	4	35	-143	54	8.7 m.y.
KM21	8	-4	176	18		KM42	4	43	-21	10	8.2
KM23	5	27	175	14		KM43	5	37	-9	12	7.3
KM24	9	44	10	18		KM51	8	-47	174	5	8.4
辺の塙 KM30	5	42	123	26	7.6 m.y.	KM52	4	-47	-179	8	
KM31	5	66	57	20	8.6	KM53	5	-50	-170	5	
KM32	5	8	164	142	8.4	KM54	5	-46	170	9	
KM33	5	51	-2	10	7.4	KM55	5	-47	-173	9	
KM34	5	50	-12	5	8.4						

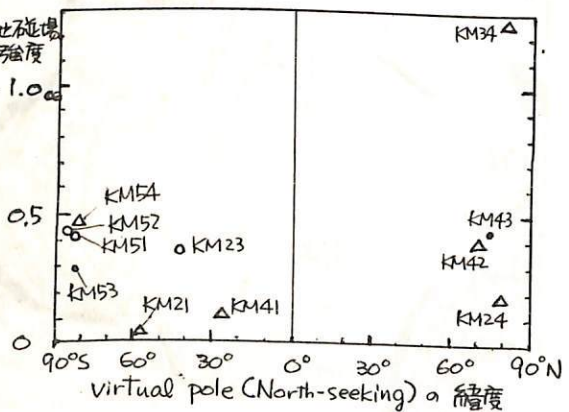
* NRM を 150 aersted まで交流消磁したときの方向

古くなるように書いてある。これらの結果のうちで、交流消磁に対して不安定なもののが 20° 以上であるものを除くと、辺の塙は全て normal, 人形石山は 43 まで normal, 51 以下が reversed となる。しかし田の平の KM21, 23 は安定とみられるが normal, reversed のいずれかでなく、N→R の transition 期間中の方向を表わすものかもしれない。

2. Thellier 法による intensity

各溶岩より、交流消磁に対して安定であつたサンプルを選び Thellier 法により熱消磁を行つた。結果をその信頼性によって A B C D の4段階に分けると

- A 十分信頼できるもの 3
 - B Curie点近くでは直線関係がさういふもの 7
 - C あまり信用できないものの 2
 - D 全く無意味のもの 9
- のデータが得られている。特に田の平 KM21 のサンプルからは $F/F_0 = 0.090$, $F = 0.041 \text{ oe}$ という結果が出ており、これは NRM の方向も考慮すると、N→R の transition 期間中の弱い intensity を表わしている可能性があり興味深い。



115 深海底泥層の磁性

木下 摳

東京大学理学部、地球物理学教室

三陸沖東方の深海底に於て、スクリュップス研により採取された、海底泥層コアの
磁性及 J_s 自然残留磁化の原因について、実験的立場から考察して見た。

NRM, Mineral, Redeposition の DRM, Hcr, J_{rs} 及 J_s 等々

についての測定値によれば、明らかに火山性のものではないと思われる層の NRM は、
多分 DRM が原因となることはないと考えられる。又一般に、火山性物質の層における
NRM は、多分噴出時に Quench されたために、非常に弱い。その他の原因は現在
の所、余り明らかでない。

116 朝鮮半島の Geochronology, その 2

小嶋 穣*, 上田 望*, 鮎川 勝, 田 滉元**

* 東京大学地球物理学教室, ** 京城大学

朝鮮半島は大陸の縁周辺に位置し、大陸の成長史を解く重要な鍵を与えると思われる
が、今まで絶対年代測定はほとんど行われていなかった。

地質学的に先カンブリア紀とされており片麻岩、白堊紀とされており花崗岩について
Rb-Sr 年代測定を行なった。前者について、 1525×10^6 年、後者について、 140×10^6 年
の結果を得た。

この研究は、大陸の成長のパターンと、大陸成長と弧状列島の関係を理解するために行
われたものである。

117 阿武隈地方花崗岩・変成岩の Geochronology その2

上野直子、小嶋 総、久野 久
東大理工

黒雲母と全岩についてRb-Sr法を用いた結果、1967年10月5日現在、年代については、上遠野岩体花崗閃綠岩（新期） 89×10^6 年、田人岩体花崗閃綠岩（古期） 87×10^6 年、田人岩体捕獲岩閃綠岩 115×10^6 年、石川岩体花崗閃綠岩（古期） 140×10^6 年、黒雲母片岩（いわゆる竹貫式） 102×10^6 年、Srの同位体比初期値($\text{Sr}^{88}/\text{Sr}^{86}$)は、花崗岩類、変成岩ともに誤差範囲一致し、0.707前後である。

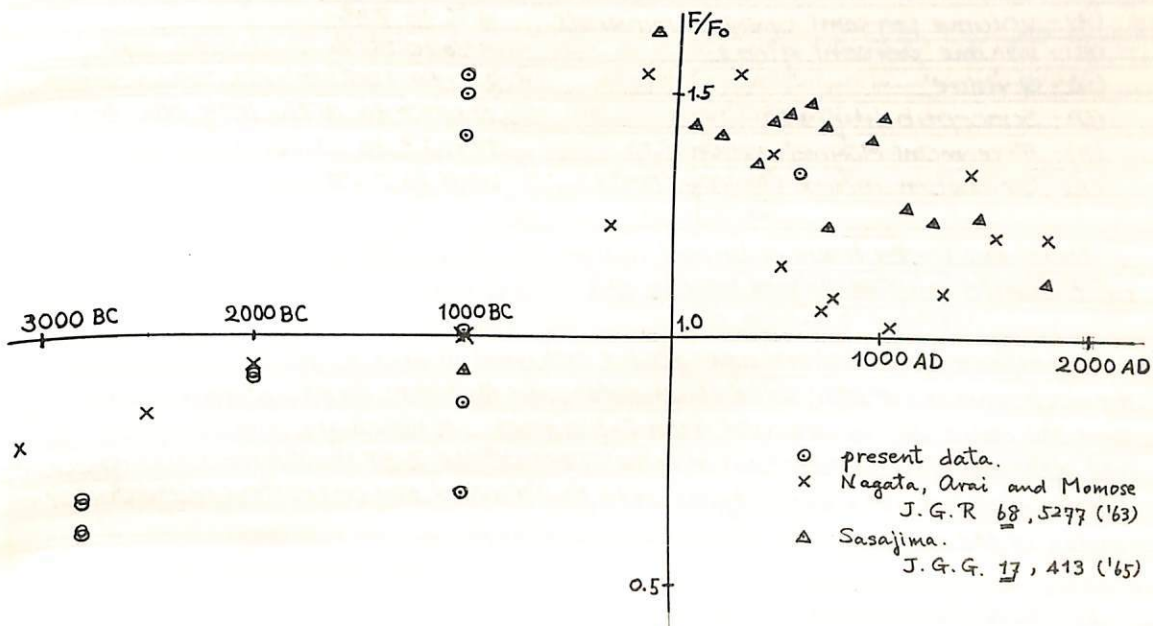
K-A法では、すべて全岩法で 上遠野花崗閃綠岩 108×10^6 年、田人花崗閃綠岩 104×10^6 年、同捕獲岩 78.4×10^6 年 石川花崗閃綠岩 67×10^6 年である。

北沢一宏・福田豪太郎
学習院大・理

東日本において発掘された縄文土器を用いて、日本における過去の地球磁場強度の推定を行った。本研究に用いた土器の年代は、折本出土のものについては C-14 により年代測定が行なわれている。これによれば、 2795 ± 15 B.C. である。他の土器に関しては、考古学的な推定により大まかな時代区分が行なわれており、これを示した。古代の地磁気強度は、試料の飽和磁化の熱変化に対する安定性を確めた上で Thellier 法により、 F/F_0 の値を求めた。本研究の結果は表に示す。また、今回の結果およびこれまでに発表されている結果とを図に示す。

なお、本研究に用いた土器は早大史原資料室 梅井清彦教授に提供していただいたものである。

試料	出土地	時代区分	F/F_0
JO - 1	折本 (神奈川・横浜)	縄文前期	0.65
			2795 ± 15 B.C.
			0.59
			0.67
JH - 1	ハガマ(東京・八王子)	縄文中期	0.58
			c.a. 2000 BC
			0.92
			0.91
JS - 1	岩坪(茨城)	縄文晩期	0.86
			c.a. 1000 B.C.
			1.01
			1.54
			1.40
			0.68
YG - 1	ゴンゲ(岩手)	弥生	1.49
			c.a. 600 AD
			1.33



119

A study on the Magnetization of the Oceanic Crust: I. Puerto Rico Trench.

Basalts and Samples from the Mid Atlantic Ridge and Caylor Seamount.

P.J. Wasilewski, A.J. Nalwalk and B.J. Carleton

Dept. of Earth & Planetary Sciences, University of Pittsburgh, Pgh., Pa. U.S.A.

The ascendancy of the Hess (1962) model of sea floor spreading is due mainly to Vine and Matthews (1963) and Vine and Wilson (1965) and many others who apparently accept the integration of the Cox and Doell and Dalrymple polarity time scale as the "voice" for the conveyor belt "tape recorder" which, when properly rate adjusted to observed magnetic anomaly patterns, gives a linear scale of spreading away from ocean ridges. The authors are skeptical about this model and choose to explain the magnetic anomaly patterns over the oceans in a different way. The first step toward this alternate model was an examination of the relevant magnetization parameters and anomalies expected in ocean basalts.

The rocks studied were dredged from the Puerto Rico trench (Nalwalk 1967), and include one sample each from the Mid Atlantic Ridge and Caylor Seamount. These basalts have the following ranges of characteristics:

(A) - volume percent opaque minerals	4% to 7%
(B) - volume percent glass	3% to 80%
(C) - Q value	< 1 to 162
(D) - Susceptibility (κ)	21×10^{-6} to 1676×10^{-6} emu/cc
(E) - Remanent Magnetization (J_r)	37×10^{-6} to 13060×10^{-6} emu/cc
(F) - Oxidation index ($\text{Fe}_2\text{O}_3/\text{FeO}$)	0.17 to 3.03

Thus the rocks have a broad range of characteristics, representative of basalts so far reported in the literature.

Significant correlations were found between Q and κ , the oxidation index of the rock and coercive pts., oxidation index and the ratio J_r/K , K and coercive force and the ratio J_r/J_s derived from J-H curves. Mineralogic studies using reflected light enabled prediction, in some cases, of the J_s -T heating and cooling curves. Seven distinct J_s -T curve types were found which can be related to the oxidation index of the rock and its mineralogic makeup.

If these basalts are considered to be representative of oceanic basalts in general, then an understanding of their broad magnetization behavior is available.

120

An Explanation for the Anomalous $J_S - T$ Curves from Fresh
Oceanic Basalts

P. J. Wosiliewski and B. J. Carleton
Earth and Planetary Sciences Dept. University of Pittsburgh, Pgh Pa. U.S.A.

Interest in the geophysical implications of magnetic characteristics of ocean basalts was stimulated through discussions with Professor Nagata in Pittsburgh. The change of saturation magnetization with temperature is an anomalous characteristic of ocean basalts.

The explanation for the anomalous behavior lies in the extreme thermal sensitivity of metastable opaque oxide assemblages. Therefore, the previous thermal history of the rock as regards its initial cooling rate and subsequent heating (e.g. hydrothermal) is of great importance. Also, fresh basalts should exhibit the greatest degree of divergent behavior on heating or cooling.

The $J_S - T$ behavior is rate and range sensitive with respect to temperature. A plot of J_S'/J_S (i.e. cooling/heating) defines the range and, the degree of metastability along with grain size defines the rate.

Two Puerto Rico trench samples and one sample from the Mid Atlantic Ridge were studied in some detail. Regarding geophysical significance:

(A). The ratio $J_{IRM}/J_{NRM} > 2$ for the studied samples.

(B). The NRM of the fresh samples is directionally stable with respect to A.C. demagnetization in fields up to 400 de.

(C). The demagnetization curves plotting normalized moment against the alternating field strength reflect grain size differences.

(D). The ratio J_{NRM}/k reflects the grain size differences.

(E). Stable "CRM" is easily developed in these basalts at temperatures as low as 200°C for periods as short as 30 minutes.

Piezo-remanent magnetization of Basalts

T. Nagata and B. J. Carleton

Department of Earth and Planetary Sciences, University of Pittsburgh

The piezo-remanent magnetization of basaltic rocks is examined under uniaxial compression ranging up to approximately 200 kg/cm^2 and in a magnetic field ranging up to about 50 oe.

PRM is defined as the remanent magnetization acquired through the application and release of a uniaxial compression (P) in the presence of a magnetic field (H). $J_r(H+P+P_0H_0)$, by which this is denoted, exhibits an unusually noticeable increase with P in the natural basaltic rock. The ratio of $J_r(H+P+P_0H_0)/J_r(H_0O)H_0$ for some basalts amounts to 1.7 for $P = 100 \text{ kg/cm}^2$ and 3.0 for $P = 200 \text{ kg/cm}^2$, while the rate of increase of the ratio with P is larger than 15% / 100 kg/cm^2 for other basalts.

Similarly, the remanent magnetization acquired through the application and release of a magnetic field (H) in the presence of a uniaxial compression (P) is denoted by $J_r(P+H+H_0P_0)$ and may be termed the pressure reduction of IRM. Results of this examination show, in general, a decrease with an increase of P . For some basalts, the ratio $J_r(P+H+H_0P_0)/J_r(OH_0H_0)$ amounts to 0.7 for $P = 100 \text{ kg/cm}^2$ and 0.5 for $P = 200 \text{ kg/cm}^2$.

Those basaltic rocks for which $J_r(H_0O)H_0$ tends to be large exhibit a smaller rate of increase of PRM with P and a larger rate of pressure reduction. In the opposite sense, those for which $J_r(H_0O)H_0$ tends to be small exhibit a larger rate of increase of PRM with P and a smaller rate of pressure reduction.

Also, the rate of increase of the ratio $J_r(H+P+P_0H_0)/J_r(H_0O)H_0$ with P decreases as H is increased.

These significant characteristics of the piezo-remanent magnetization in basaltic rocks may be explained, at least qualitatively, as being those of an irreversible magnetization of an assemblage of uniaxial anisotropy grains. The microscopic coercive force (h_c) of these grains has a particular form of distribution as, for example, a high distribution density either in the small values of h_c or in the larger values.

122 溶岩の磁化の圧力依存性

大中康譽、木下 肇、永田 武
東京大学 理学部

岩石の自然残留磁化(所謂NRM)の強さ及び方向の圧力依存性を定量しておくことは、古地磁気学の分野及び地震予知の手がかりの一つ(地球電磁気的方法)の基礎として重要なことと思われる。

この報告では、数種の代表的な自然産の岩について、残留磁化の圧力効果を実験的に調べた結果について述べる。

Basalt(三島の富士溶岩), Basalt(伊豆大島 三原山), Dacitic Andesite(松代 皆神山), Granite(岩手 岩泉町等)を試料として用いた。

実験方法: 円柱状試料(直径10mm、長さ10mm)にIRMを、強さ及び方向を適当に指定して与え、これが粒度をパラメータとして、単軸圧力によりどのような影響を受けるかを調べた。圧力領域は5 kbまでである。同種の実験をTRMについても行い、NRMそのものの圧力効果も調べた。

その結果、一般的に $|J_0(\partial J/\partial P)| < 0$ であり、さらに最初に与えた残留磁化(IRM)の強さに応じて $|J_0(\partial J/\partial P)|$ の値に系統的な相違が認められる。すなわち、最初に与えた残留磁化の強さ J_0 が大きければ大きいほど、 $|J_0(\partial J/\partial P)|$ が小である。又粒度の影響は明確には認められないようである。なお、用いた試料のNRMは圧力に対して極めて安定である。

発表時には定量的に、より詳しく議論をすゝめる予定。

海山の玄武岩の磁氣的性質について
—熱残留磁氣の反転現象—

小嶋美都子
東大理学部

前回、太平洋海山の玄武岩試料の磁性について報告したが、今回は特に、それらのうちの熱残留磁氣の自己反転現象についてのくわしい実験結果を報告し、それらからわかる自己反転の機構を述べる。

8ヶの、それぞれ異った場所より採集した海底玄武岩試料のうち、3ヶまでが、実験室内の熱実験により、熱残留磁氣の自己反転現象を示した。

以下は、試料WP DR-2についての実験結果である。

試料を空氣中で約300～330°Cで10分間熱し、磁場中冷却すると、室温で、かけた磁場方向とは逆方向の熱残留磁氣が得られる。

この試料を300°C～400°Cで熱して作った熱残留磁氣は、

1. 热処理の温度、時間に非常に敏感である。

2. 热残留磁氣自身、著しい温度変化をする。室温ですでに逆向きのものは低温では更に強く逆向きになり、室温で正方向をもつていても低温では逆向きになつたり強度が減る(逆向きの傾向)。

3. $H_{ex} = 2600 \text{ Oe}$ 中で冷却して作った熱残留磁氣でも逆向きにすることができる。

4. 實際に室温で逆向熱残留磁氣を持つてゐる試料についてJ-H曲線をヒットみると明らかに2つのmagnetic phaseが存在してゐるが、熱処理するまえのoriginal sampleは1つのmagnetic phaseしか含まない。

5. 热磁氣分析によると、original magnetic phase (phase A, $\Theta \approx 250^\circ\text{C}$) が、300～400°Cで加熱されると、徐々に他のmagnetic phase (phase B, $\Theta \approx 300^\circ\text{C}$) に変化していくことがわかった。反転熱残留磁氣(又はその傾向)は、これら2つの相が共存している時にのみ現れる。

6. J_s の温度変化を測定すると、A、A+B、Bのいずれも、単調な温度変化をし、低温(-196°Cまで)でもN-typeまたはP-typeになることはない。しかし、Bの方がAに比べて、 J_s の絶対値が小さく、しかも温度変化がゆるやかである。

以上の実験結果を総合すると、キュリー-点の異なる2つのmagnetic phase間に磁氣的相互作用(magneto-static interaction)ではとうてい説明できない)がある。その結果、反転熱残留磁氣が現れると解釈した。A、Bが実際に何であるか、また、A→B変化がどのような変化なのかについては、顕微鏡による観察を行つてゐるところである。

8ヶ中3ヶが上述のと同様の現象を示したことからみて、このような熱残留磁氣の自己反転現象は、海底玄武岩にごく普通にみられるものと考えられる。

最後に、このような海底玄武岩の性質を用いて、海底磁氣異常構造の説明を試る予定である。

124 静水圧下の磁性

木下肇
東京大学理学部、地球物理学教室

従来、静水圧の作用が、残留磁化(IRM, TRM 等)に、比較的大きな影響を与えるものと言つて來た(小泉・久米 その他)。一方、磁性の理論及び、磁歪の測定データから曰く、静水圧の逆磁歪効果は、軸圧のそれに比して桁違いに小さい七の二^三想される。等者も、多少の実験を通じてこの二^三を信じていた。

しかるに、もし静水圧の作用が、軸圧のそれと同程度であるれば、地殻の深部におけるストレイン推移による、岩石の磁化の変化に対して、今までとは違つた立場に立つてゐる。理論的にも、実験的に二問題の解決がまろくなる。

今回曰く、二の問題に対し、多少系統的に実験を行ひ、多少程度の結果を得た。二点によると、静水圧が磁化に及ぼす作用は、軸圧のそれに対して、やより非常に小さいと考へて差しつかえぬいと思ふ。

なお、実験装置を快くお貸し下さった、東大工学部の今井教授及び武内助教授に対する心から謝意を表する。

125 群馬県本宿層の地質構造と岩石磁気

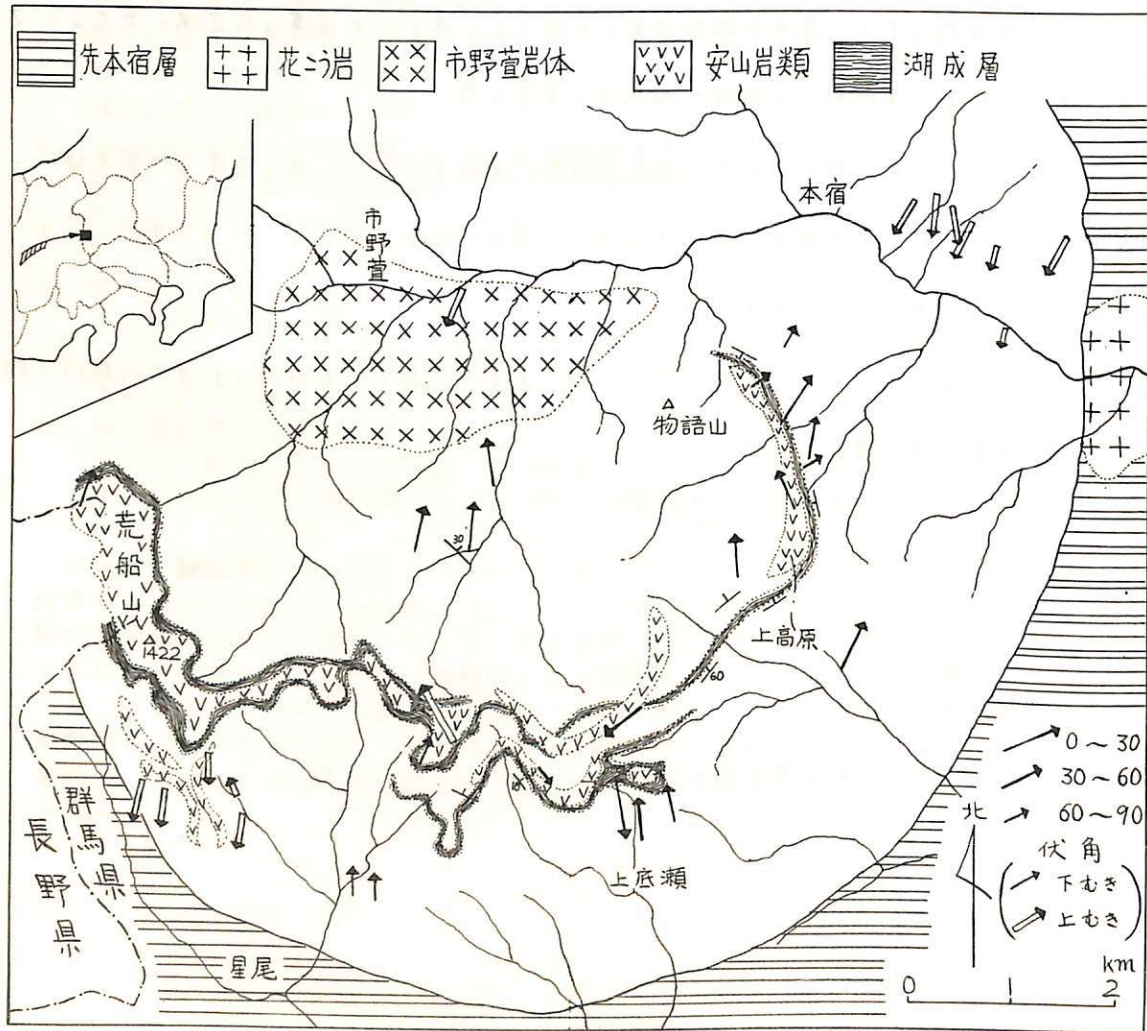
野村哲
群馬大学教養部

群馬県の西部に分布する本宿層は、従来、その生成年代、地質構造とともに、あいまいであったが、今年に入ってから、本宿層研究グループの手によって、はむかに、あかるみに出てきた（本年10月12日、日本地質学会で発表）。

本宿層は、"グリーンタフ"の一員にからえられ、その年代、構造、変質の状態、岩石の磁気を明らかにするることは、意義のあることである。

本層においては、下部湖成堆積層の前後に、逆転磁化玄武岩が発見される。

熱消磁実験の結果は、この地域の火成岩が、磁気的に、あまり安定でない、ことを示していい。このことは、“グリンタフ変質”的問題とからんで、今後の問題点としての見る。



—沼尻硫黄鉱床周辺の変質—

上野宏共 根建心具
東北大学 理学部

鉱床の多くはその母岩が変質作用を受けている。特に日本の主要な鉱床区をなす第三紀生成の鉱床は著しい変質を伴う。鉱床周辺の岩石はもとより変質帶近傍の岩石を実験に用いる際に常に変質作用に疎外されている。

今回は同一溶岩が変質作用を受けた場合を例にとって、造岩鉱物の変質の度合を顕微鏡観察、X線等によって調べ、岩石の磁性との関係を把握することを目的とした。そのために福島県沼尻鉱山をとりあげ、硫黄鉱床生成に伴う複輝石安山岩の変質を対象とした。

本岩中には小範囲に裂隙に沿って変質している個所が多くあるが、そのうち新鮮なものから変質されたものまでの連続的試料採集を3ルートで行った。当地域の結果は経験的に従来から知られている変質による磁化の強さの減少——強磁性鉱物の消失——とは様相を異にする。

その他の実験的データーから逆に変質の過程の相違の追求にも役立て得る。

島田昌彦⁽¹⁾ 久米昭一⁽¹⁾ 小泉光鬼⁽²⁾

(1) 阪大教養 (2) 阪大産研

深成岩あるいは変成岩のもつ残留磁化の特性をしうためには、これらの岩石が生成した時あるいは生成後に作用した圧力の影響を考慮しなければならない。この観点から近年この種の岩石の磁化の圧力依存性に実験的に研究がなされ活発におこなわれようになってきた。ながらも深成岩等に含有されることが多い強磁性鉱物の残留磁化が加圧により変化する過程を追跡した実験がすくはなずおこなわれ、現象に対する説明もある程度定量的なものが得られるようになりつつある。

このようは残留磁化への圧力の影響は、一般的にいって作用する圧力が静水圧かどうかによつて結果に大きな差を生じる。こゝながらでわれわれが注目したのは静水加圧による効果である。すでに知られていくように、はじめ完全に消磁してある強磁性鉱物を強い磁場に入れていればTRMとよえ、これに静水加圧をおこなうと磁化の方向はまづく間に磁化の強さのみが減少する。この減少した磁化は抗磁力の弱い部分であることがわかつて、それで静水加圧は消磁効果をもつといふことができる。したがつてこの性質をうまく利用すれば残留磁化のうち不安定な成分を消し、はじめの安定な成分のみを取り出すことが可能になる。

これを確めるとためわれわれのおこなは、た実験は次のようなものである。まずセキテッ鉱の单結晶を地球磁場内で冷却し、その(0001)面内にTRMを与えろ。しがら後、これと直角に近い角度で、しがも同じ(0001)面内の一つの方向に弱い磁場を作用させ適当な強さの二次磁化を与え、TRMと二次的な磁化との合がはば両者の間にむくようにある。次にこの試料をシリコングリースと充たしたヨウロウ石チューブにひきめたのち、このチューブをさうに通常の合成実験にもつてピストンシリンダー型高圧容器にいれ、1~10Kbの範囲で加圧し、圧力をとり去つたのちに試料をとり出してその残留磁化を測定した。その結果、加圧力の増加とともに残留磁化ははじめの方向から次第にTRMの方向に近づくが、その大きさははじめの磁化ベクトルとTRMのそれを結んだ線上をたどり、ゆくことが判明した(第1回参照)。これは不安定成分が次第に消磁されて、TRMのような安定な成分のみが残ると考えれば矛盾なく説明される。

不安定成分の消磁方法としては、従来交流消磁あるいは低温消磁等が一般におこなわれているが、上述の実験結果から加圧消磁が交流消磁等と同じ目的に使えることを示されたといえる。

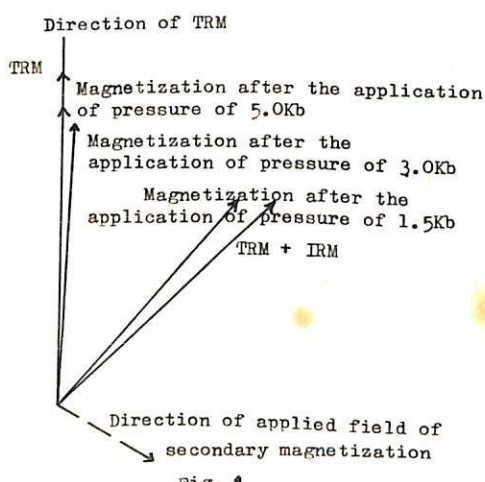


Fig. 1